

CHIMICAL SERIES

1980

ISSN 0132-6077
საქართველოს სსრ მეცნიერებათა აკადემიის მაცნე
ИЗВЕСТИЯ АКАДЕМИИ НАУК ГРУЗИНСКОЙ ССР
PROCEEDINGS OF THE ACADEMY OF SCIENCES
OF THE GEORGIAN SSR

ЭПАППЬ
СЕРИЯ
ХИМИЧЕСКАЯ

1980 N 3

• თბილისი
Tbilisi • 8 том
TOM VOL.

6



საქართველოს მწვევი მეცნიერებათა აკადემიის გაცემი
ИЗВЕСТИЯ АКАДЕМИИ НАУК ГРУЗИНСКОЙ ССР

ქიმიის სერია СЕРИЯ ХИМИЧЕСКАЯ

ტომი 6, № 3
Том 6, № 3

ქურნალი დაარსდა 1975 წელს
Журнал основан в 1975 году

გამაცემობა „მეცნიერება“ თაილისი
ИЗДАТЕЛЬСТВО „МЕЦНИЕРЕБА“ ТБИЛИСИ 1980

© Известия АН ГССР
Серия химическая, 1980

სარმატიკული კოლეგია

რ. აგლაძე, ა. ავალიანი, თ. ანდრონიკაშვილი (რედაქტორის მოადგილი), ქ. არეზეგაძე, ფ. ბროუჩეკი (სწავლული მდივანი), უ. თავაძე, ნ. ლანდია, ლ. მელიკაძე, ნ. ფირცხალავა, ე. ქემერტელიძე, კ. უთათელაძე, გ. ცეციშვილი (რედაქტორი), პ. ცისკარიშვილი, კ. გაფარიძე (რედაქტორის მოადგილი).

პასუხისმგებელი მდივანი ვ. შუბლაძე

РЕДАКЦИОННАЯ КОЛЛЕГИЯ

Р. И. Агладзе, А. Ш. Авалиани, Т. Г. Андроникашвили (зам. редактора), Х. И. Арешидзе, Ф. И. Броучек (ученый секретарь), К. Г. Джапаридзе (зам. редактора), Э. П. Кемертелидзе, К. С. Кутателадзе, Н. А. Ландия, Л. Д. Меликадзе, Н. И. Пирцхалава, Ф. Н. Тавадзе, Г. В. Цицишили (редактор), П. Д. Цискаришвили.

Ответственный секретарь В. В. Шубладзе

EDITORIAL BOARD

R. I. Agladze, A. Sh. Avaliani, T. G. Andronikashvili (Associate Editor), Kh. I. Areshidze, F. I. Brouchek (Scientific Secretary), K. G. Japaridze (Associate Editor), E. P. Kemertelidze, K. S. Kutateladze, N. A. Landia, L. D. Melikadze, N. I. Pirtskhalava, F. N. Tavadze, G. V. Tsitsishvili (Editor), P. D. Tsiskarishvili.

Executive Secretary V. V. Shubladze

ეურნალი გამოდის 3 თვეში ერთხელ
Журнал выходит раз в 3 месяца

არაორიგიული და ანალიზური ქიმიკა

କାର୍ଯ୍ୟକ୍ଷେତ୍ରରେ ଉପରେ ଦେଖିଲୁଗାରେ ଏହାରେ କାମକାରୀ କରିବାରେ ନାହିଁ ।

206

ორგანიზაცია შემთხვევა

ଓଡ଼ିଆ କୋର୍ଟ

ଶ୍ରୀମତୀ ପାତ୍ନୀ

ଓଡ଼ିଆ କୋର୍ପ୍ସ

- ფურცელავან, უშულავი დ. $TaCl_5$ -ის დომეთილამინობენზალანილინგბათნ
კომპლექსური ნეტორბის სინთეზი და შესწავლა
ბასილა ი. გვასაძე ი. ლ., ტაბათავა ი. ლ., ურავე ლ. წყლის ორთქლით
ნიშმიბრასთან დაბალტემპერატურული კონკრესის სპლენდ-ქრომ-ზანგანუმიან
კატალიზტურობის უაღვევის ღისორცია
ჩალოვან, კანტორი ე., კილავ თ., კარახანოვი რ., რახმან კუ-
ლოვი დ. 1,3-დიოქსინბის რეაქცია სპეციფიკურობით
გოგოავე ლ., გოგოავე ბაზი ვიზი ი. ს., შველა-უვი ი. ა. Ni (II) და Co (II)
აცილენის მეტალურგიუმის როთო-, შეტა- და ვარა- ნიტრობენზოილის მონო-
წარმოებულაბთან

ପ୍ରକାଶକ

СОДЕРЖАНИЕ

НЕОРГАНИЧЕСКАЯ И АНАЛИТИЧЕСКАЯ ХИМИЯ

- Джашвили Т. К., Цинцадзе Г. В., Смольников Ю. П., Цивадзе А. Ю., Джапаридзе А. В. Координационные соединения цинка и кадмия с 4,4'-диаминодифенилметаном (ДАДМ) 193

ОРГАНИЧЕСКАЯ ХИМИЯ

- Ногайдели А. И., Дзагнидзе К. Я., Вардосанидзе Ц. Н., Мегрелидзе Н. Д. Реакция тиилирования и силирования 2,4,7,9-тетраметилдекин-5-тетраола-2',4',7',9' 209
- Кацарава Р. Д., Харадзе Д. П., Авалишвили Л. М., Картьвелishвили Т. М., Заалишвили М. М. Синтез полизамидов взаимодействием активированных фениловых эфиров дикарбоновых кислот с диаминами 215
- Лагидзе Д. Р., Талаквадзе Л. Я., Ревазишвили Т. Н., Цулукидзе Л. А., Лагидзе Р. М. Синтез некоторых новых аналогов мелатоинина и β-карболина на основе 4-фенилпентановой кислоты 225
- Беридзе Л. А., Кутателадзе М. К., Папава Г. Ш. Ароматические полиариленсульфоноксиды на основе 3,3', 4,4'-тетрахлоридифенилсульфона 232

ФИЗИЧЕСКАЯ ХИМИЯ

- Омидзе И. С., Надирадзе А. А., Цагарейшвили Д. Ш., Мгабелишвили Н. П. Новая формула для расчета стандартных энтропий двойных оксидов 237
- Адешивили Л. В., Мачарашивили Е. А., Кутателадзе Г. Ш., Лорткипанидзе Л. А., Тодрия Ф. Т. Изучение стабильности хиноида 244
- Болотникова Т. Н., Теплицкая Т. А., Романов А. В., Схиртладзе Н. Н. Тонкоструктурные спектры люминесценции ариладамантанов 250
- Саруханишвили А. В., Чешвили Т. Ш., Коциашвили И. А., Хорошвили Д. В., Кутателадзе М. Б. Некоторые свойства четырехкомпонентных марганцевых стекол 257

ТЕХНОЛОГИЯ

- Агладзе Р. И., Кервалишвили Н. В., Махарадзе К. Г., Люблинский Е. Я., Гиоргадзе Е. Г. Влияние легирующих и модифицирующих элементов на анодное поведение марганцевых сплавов 261
- Дракин Л. А. Определение скорости прогрева угля при смешении с горячим формованным коксом 267

КРАТКИЕ СООБЩЕНИЯ

- Пирцхалава Н. И., Угулава Л. А. Синтез и изучение комплексных соединений $TaCl_5$ с п-диметиламинобензальанилинами 273
- Басилашвили Д. А., Гвасалия Л. И., Тарасов Л. А., Эрадзе Л. Д. Адсорбция кислорода на низкотемпературном окисном меди-хром-марганцевом катализаторе конверсии окиси углерода с водяным паром 276
- Чалова О. Б., Кантор Е. А., Кнладзе Т. К., Карабахов Р. А., Рахманкулов Д. Л. Реакция 1,3-диоксанов с триэтилортогоформиатом 281
- Гоголадзе Л. М., Нагебашвили С. С., Швелашвили А. Е. Ацидокомплексы $Ni(II)$ и $Co(II)$ с орто-, мета-, пара-мононитропроизводными бензоилгидразина 285

ХРОНИКА

CONTENTS

INORGANIC AND ANALYTICAL CHEMISTRY

- Jashashvili T. K., Tsintsadze G. V., Smolnikov Yu. P., Tsvadze A. Yu., Japaridze A. V. Coordination compounds of zinc and cadmium with 4,4'-diaminodiphenylmethane (DADM) 207

ORGANIC CHEMISTRY

- Nogaideli A. I., Dzagnidze K. Ya., Vardosanidze Ts. N., Megrelidze N. D. Reactions of thiilation and silylation of 2,4,7,9-tetramethyldecene-5-tetraol-2',4',7',9' 214
- Katsarava R. D., Kharadze D. P., Avalishvili L. M., Kartvelishvili T. M., Zaalistvili M. M. Synthesis of polyamides by interaction of activated phenyl esters of dicarboxyl acids with diamines 223
- Lagidze D. R., Talakvadze L. Ya., Revazishvili T. N., Tsulukidze L. A., Lagidze R. M. Synthesis of some new analogues of melatonin and β -carbolene on the basis of 4-phenyl-pentanoic acid 231
- Beridze L. A., Kutateladze M. K., Papava G. Sh. Aromatic polyarylsulphonoxides on the basis of 3,3', 4,4'-tetrachlorodiphenylsulphon 236

PHYSICAL CHEMISTRY

- Omiadze I. S., Nadiradze A. A., Tsagareishvili D. Sh., Magaloblishvili N. P. A new formula for calculations of standard entropies of double oxides 243
- Adeishvili L. V., Macharashvili E. A., Kutateladze G. Sh., Lortkipanidze L. A., Todriya F. T. Studies of quinocide stability 249
- Bolotnikova T. N., Teplitskaya T. A., Romanov A. V., Skhirtladze N. N. Fine structure spectra of aryladamantan luminescence 256
- Sarukhanishvili A. V., Cheishvili T. Sh., Kochinashvili I. A., Khuroshvili D. V., Kutateladze M. B. Some properties of four component manganese glasses 260

TECHNOLOGY

- Agladze R. I., Kervalishvili N. V., Makharadze K. G., Lublinskii E. Ya., Giorgadze E. G. Effect of doping and modifying elements on anode behaviour of manganese alloys 266
- Drakin L. A. Determination of the rate of coal heating at mixing with hot formed coke 272

SHORT COMMUNICATIONS

- Pyrtskalava N. I., Ugalava L. A. Synthesis and study of coordination compounds of $TaCl_5$ n-dimethylaminobenzalaniline 275
- Basilaya D. A., Gvasalia L. I., Tarasov L. A., Eradze L. D. Oxygen adsorption on low temperature oxide copper-chromium-manganese catalyst of carbon monoxide conversion in water vapours 279
- Chalova O. B., Kantor E. A., Kiladze T. K., Karakhanov P. A. The reaction of 1,3-dioxanes with triethyl-orthoformate 284
- Gogoladze L. M., Nagebashvili S. S., Shvelashvili D. E. Ni(II) and Co(II) acidocomplexes with ortho-, meta-, para-benzoyl-hydrazin monoderivative 286

CHRONICLE

НЕОРГАНИЧЕСКАЯ И АНАЛИТИЧЕСКАЯ ХИМИЯ

УДК 546.47'48+547.415.1

Т. К. ДЖАШИАШВИЛИ, Г. В. ЦИНЦАДЗЕ, Ю. П. СМОЛЬНИКОВ,
А. Ю. ЦИВАДЗЕ, А. В. ДЖАПАРИДЗЕ

КООРДИНАЦИОННЫЕ СОЕДИНЕНИЯ ЦИНКА И КАДМИЯ С 4,4'-ДИАМИНОДИФЕНИЛМЕТАНОМ (ДАДМ)

Продолжая исследования [1—5] в области изучения координационных соединений металлов с лигандами, широко используемыми в качестве мономеров для синтеза термостойких полимеров, мы попытались получить и изучить координационные соединения цинка и кадмия с ДАДМ.

В настоящей работе изложены результаты синтеза и исследования основных физико-химических свойств координационных соединений

состава $MX_2 \cdot \text{ДАДМ}$, где $M = \text{Zn}, \text{Cd}$; $X = \text{Cl}^-, \text{Br}^-, \text{NO}_4^-, \frac{1}{2}\text{SO}_4^{2-}, \text{NCS}^- (\text{Cd})$.

Координационные соединения получались в результате взаимодействия растворов (этанол, этанол-вода) солей металлов и ДАДМ при молярных соотношениях исходных компонентов MX_2 : ДАДМ = 1:1; 1:2. Синтезы проводились при комнатной температуре.

Таблица I
Результаты элементного анализа комплексных соединений

№	Соединения	Найдено, %				Вычислено, %				Цвет
		М	С	Х	Н	М	С	Н	Н	
1	ZnCl ₂ · ДАДМ	18,75	47,30	4,58	8,02	19,45	46,67	4,22	8,37	белый
2	ZnBr ₂ · ДАДМ	14,99	37,24	3,94	6,82	15,43	36,87	3,33	6,61	желтовато-белый
3	Zn(NO ₃) ₂ · ДАДМ	16,94	40,51	4,12	14,00	16,86	40,28	3,64	14,45	желтый
4	ZnSO ₄ · ДАДМ	18,40	43,84	4,24	7,20	18,17	43,41	3,92	7,79	белый
5	CdCl ₂ · ДАДМ	29,12	40,51	3,02	7,96	29,45	40,92	3,70	7,34	белый
6	CdBr ₂ · ДАДМ	23,98	33,44	2,65	6,38	23,89	33,19	3,00	5,95	белый
7	Cd(NO ₃) ₂ · ДАДМ · C ₂ H ₅ OH	23,57	37,12	3,79	12,15	23,38	37,47	4,19	11,65	белый
8	CdSO ₄ · ДАДМ	27,92	37,60	3,12	7,03	27,64	38,39	3,47	6,89	белый
9	Cd(NCS) ₂ · ДАДМ	25,84	42,77	3,96	12,71	26,37	42,26	3,31	13,14	белый

*Даются средние значения из трех определений

Для синтеза координационных соединений соответствующие соли цинка и кадмия (0,01 моля) растворялись в 50—150 мл этанола и к ним при непрерывном перемешивании прибавлялся раствор 3,96 г



 Таблица 2

 ЗАМЕРЫ

Результаты расшифровки рентгенограмм синтезированных соединений (Со)

ДАДИ		ZnCl ₂ -ДАДИ		ZnBr ₂ -ДАДИ		Zn(NO ₃) ₂ -ДАДИ		ZnSO ₄ -ДАДИ		CdCl ₂ -ДАДИ		CdBr ₂ -ДАДИ		Cd(NO ₃) ₂ -ДАДИ		CdSO ₄ -ДАДИ		CdCl ₂ -DNCI ₂ -ДАДИ	
J	d, Å	J	d, Å	J	d, Å	J	d, Å	J	d, Å	J	d, Å	J	d, Å	J	d, Å	J	d, Å	J	d, Å
8	4,66	6	5,54	5	5,91	7	8,65	5	6,32	8	3,68	9	3,12	8	3,18	8	4,93	6	5,68
3	4,46	7	4,04	6	4,23	5	6,19	8	4,92	7	2,64	10	2,88	3	2,71	7	4,43	9	5,21
5	4,00	10	3,37	10	3,37	8	5,58	6	3,71	3	2,49	8	2,64	6	2,43	3	3,87	10	3,77
8	3,74	9	2,98	8	2,98	3	5,08	7	3,30	6	2,37	2	2,49	3	2,20	6	3,56	6	2,98
5	3,41	5	2,64	7	2,64	6	4,66	7	2,08	2	2,15	6	2,37	3	2,10	10	3,23	6	2,80
10	3,22	2	2,43	3	2,43	7	4,15	10	2,43	10	1,89	8	2,15	10	1,91	4	2,98	6	2,59
2	3,05	5	1,97	4	2,15	7	3,79	2	2,38			8	1,86	1	1,76	6	2,80	2	2,31
6	2,76	6	1,73	3	1,97	10	3,51	1	2,20			3	1,76	1	1,64	1	2,64	2	1,97
3	2,21	1	1,54	5	1,89	7	3,19	3	2,06							6	2,43	4	1,89
3	2,13			6	1,73	3	2,90	2	1,93							1	2,37	1	1,70
5	1,94			2	1,54	9	2,64	3	1,86							5	2,15		
1	1,83			2	1,50	2	2,52	2	1,74							3	2,04		
						3	2,29	4	1,59							5	1,90		
						1	2,20	1	1,45							6	1,82		
						2	2,13	1	1,34							4	1,67		

(0,02 моля) ДАДМ в 70 мл этанола. Сульфаты цинка и кадмия растворялись в 25 мл воды.

Осадки комплексов выпадали сразу же при добавлении расщепляющего лиганды. После двухчасового отстаивания реакционных смесей на воздухе осадки отфильтровывались отсасыванием, промывались 50 мл этанола и ацетона и сушились в вакуум-эксикаторе над CaCl_2 . Выход комплексов составляет 90—95% от теоретического. Высушенные осадки анализировались на металл, углерод, водород и азот. Результаты элементного анализа приведены в таблице 1. Соединения аналогичного состава получаются и при соотношении исходных компонентов 1:1.

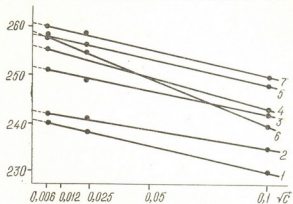


Рис. 1. Зависимость молярной электропроводности координационных соединений μ от \sqrt{c}

1. $\text{ZnCl}_2 \cdot \text{ДАДМ}$;
2. $\text{ZnBr}_2 \cdot \text{ДАДМ}$;
3. $\text{Zn}(\text{NO}_3)_2 \cdot \text{ДАДМ}$;
4. $\text{CdCl}_2 \cdot \text{ДАДМ}$;
5. $\text{CdBr}_2 \cdot \text{ДАДМ}$;
6. $\text{Cd}(\text{NO}_3)_2 \cdot \text{ДАДМ}$;
7. $\text{Cd}(\text{ClO}_4)_2 \cdot \text{ДАДМ}$.

Все синтезированные соединения устойчивы на воздухе, растворяются (за исключением сульфатных комплексов цинка и кадмия) в диметилформамиде (ДМФА) и диметилсульфоксиде (ДМСО), не растворяются в воде, яцетоне, эфире, циклогексаноне.

Индивидуальность синтезированных соединений подтверждалась рентгенографическим методом. Рентгенограммы получались по методике, описанной в [6]. Результаты рентгенографического исследования соединений даются в таблице 2.

Сравнение рентгенограмм ДАДМ и синтезированных комплексов показало, что они отличаются друг от друга и характеризуются основными наборами относительных интенсивностей (J) и межплоскостных расстояний (d , Å). Следует отметить, что галогенидные комплексы цинка дают сходные рентгенограммы. Это обстоятельство указывает на аналогичное строение данных соединений.

Нами было изучено влияние различных факторов на величину молярной электропроводности (μ) растворимых комплексов. Значения μ в ДМФА при $t=25^\circ\text{C}$ приведены в таблице 3.

Рис. 2. Зависимость молярной электропроводности координационных соединений μ от природы центрального атома и ацидолигандов

По графику зависимости μ от \sqrt{c} (рис. 1) методом графической экстраполяции определены величины молярной электропроводности

при бесконечном разбавлении — μ_{∞} . Сравнивая значения μ и коэффициентов электропроводности можно предположить, что исследуемые комплексы в ДМФА ведут себя как трехионные электролиты.

Таблица 3

Молярная электропроводность комплексов (μ , $\text{ом}^{-1} \cdot \text{моль}^{-1} \cdot \text{см}^2$)
в ДМФА при различных разбавлениях (V, л/моль)

Соединения	Значения V, л/моль		
	1000	2000	4000
	значения μ , ($\text{ом}^{-1} \cdot \text{моль}^{-1} \cdot \text{см}^2$)		
Zn Cl ₂ . ДАДМ	230	238	240
Zn Br ₂ . ДАДМ	235	240,5	242
Zn(NO ₃) ₂ . ДАДМ	242	239,5	251
Cd Cl ₂ . ДАДМ	243	253,5	255
Cd Br ₂ . ДАДМ	247,5	256	258
Cd (NCS) ₂ . ДАДМ	250	259	260
Cd (NO ₃) ₂ . ДАДМ · C ₂ H ₅ OH	240	255	258

Рассматривая влияние природы центрального атома ацидологантов на μ , можно отметить (рис. 2), что μ бромокомплексов несколько выше, чем соответствующие значения для хлорокомплексов. Это объясняется большой подвижностью бромгруппы и тем, что апротонные растворители сольватируют ион брома в большей степени, чем ион хлора [7]. Из рис. 2 также видно, что комплексы никна более устойчивы в ДМФА, чем комплексы кадмия, что соответствует данным литературы [8].

Таблица 4
Константы сольватации синтезированных соединений (K)

Соединения	μ_0 ($\text{ом}^{-1} \cdot \text{моль}^{-1} \cdot \text{см}^2$)	μ_{∞} ($\text{ом}^{-1} \cdot \text{моль}^{-1} \cdot \text{см}^2$)	K, мин ⁻¹
ZnCl ₂ . ДАДМ	230	241,5	$4,73 \cdot 10^{-3}$
ZnBr ₂ . ДАДМ —	235	242,95	$6,05 \cdot 10^{-3}$
Zn(NO ₃) ₂ . ДАДМ	242	251,8	$2,4 \cdot 10^{-3}$
CdCl ₂ . ДАДМ	243	256	$2,48 \cdot 10^{-3}$
CdBr ₂ . ДАДМ	247,5	259,2	$1,33 \cdot 10^{-3}$
Cd(NCS) ₂ . ДАДМ	256	261	$1,6 \cdot 10^{-3}$
Cd(NO ₃) ₂ . ДАДМ · C ₂ H ₅ OH	246	259,6	$1,9 \cdot 10^{-3}$

На основании данных о зависимости μ комплексов от времени по методике, описанной в [9], были рассчитаны константы сольватации комплексных соединений в ДМФА (табл. 4).

Очевидно, сольватационное равновесие обусловлено заменой координационных групп молекулами ДМФА, что и приводит к появлению в растворе следов этих «внешних» из комплексов групп. Явление нарастания значений во времени, которое мы наблюдаем на опыте, подтверждает тот факт, что процесс сольватации идет ступенчато.

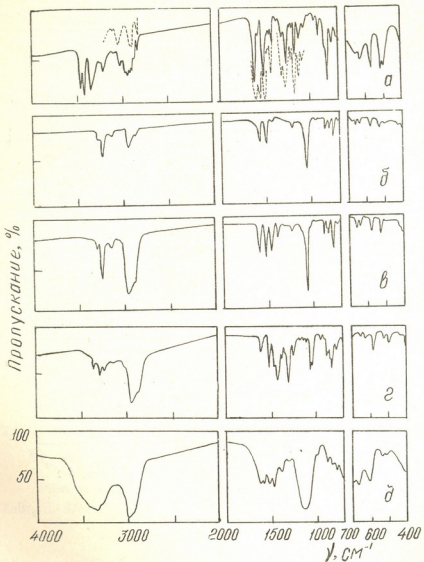


Рис. 3. ИК-спектры поглощения координационных соединений цинка
а — ДАДМ; б — $ZnCl_2 \cdot$ ДАДМ; в — $ZnBr_2 \cdot$ ДАДМ;
г — $Zn(NO_3)_2 \cdot$ ДАДМ; д — $ZnSO_4 \cdot$ ДАДМ

С целью установления строения синтезированных соединений были сняты их ИК-спектры поглощения (400 — 4000 cm^{-1}). Спектры записывались на спектрофотометре UR-20 с использованием обычной ме-

тодики растирания поликристаллических образцов в вазелиновом масле и гексахлорбутадиене. Полученные спектры представлены на рис. 3

зарегистрировано

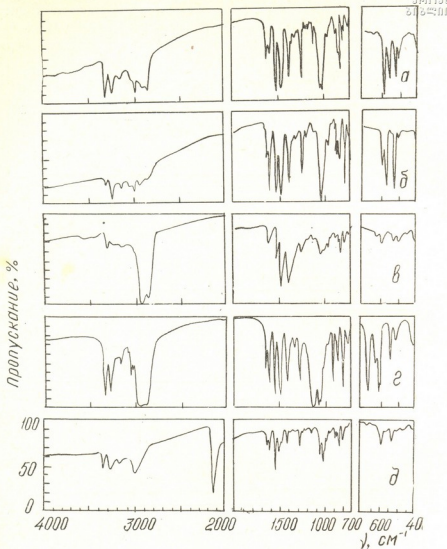


Рис. 4. ИК-спектры поглощения координационных соединений кадмия.

а — $\text{CdCl}_2\cdot\text{ДАДМ}$; б — $\text{CdBr}_2\cdot\text{ДАДМ}$;

в — $\text{Cd}(\text{NO}_3)_2\cdot\text{ДАДМ}\cdot\text{C}_2\text{H}_5\text{OH}$; г —

$\text{CdSO}_4\cdot\text{ДАДМ}$; д — $\text{Cd}(\text{NCS})_2\cdot\text{ДАДМ}$

и 4, а волновые числа максимумов полос поглощения даются ниже (cm^{-1} ; п—перегиб; наиболее интенсивные полосы подчеркнуты).

ДАДМ: 435, 505, 517, 575, 635, 720(п), 774, 790(п), 820,
918, 960, 1020, 1090, 1136, 1185, 1212, 1292, 1320,
1340(п), 1380, 1430, 1468, 1520, 1582, 1630, 2832,
2870(п), 2893, 2910, 2930(п), 3010, 3030(п), 3042
3100, 3130, 3218, 3255 (?), 3342, 3420, 3450.

CdCl ₂ ·ДАДМ:	425, 507, 522, 560, 588, 647, 718, 732, 776, 790, 822, 835, 858, 868, 900, 920, 900, 960, 986(п), 1022, 1044, 1100, 1112, 1165, 1180(?), 1198, 1227, 1252, 1287, 1330, 1390, 1470(?), 1480, 1530, 1593, 1610, 2852, 2900, 2995, 3040, 3162, 3258, 3325.
CdBr ₂ ·ДАДМ:	510, 525, 545(п), 575, 590, 720, 730(п), 778, 820, 838, 850, 862, 900(?), 945, 1030, 1110, 1122, 1160, 1178, 1190, 1205, 1340(п), 1382, 1470, 1590, 1610, 1630(п), 1680, 2850—9990, 3035(п), 3040, 3155, 3220(?), 3262, 3225.
CdSO ₄ ·ДАДМ:	498, 516, 530, 585, 590, 618, 655, 718, 728, 780, 925, 948, 988, 1026, 1038, 1100, 1195(?), 1220(п), 1240, 1306, 1330(п), 1380, 1415(?), 1466, 1515, 2870, 2930, 3018, 3140, 3176, 3195, 3265, 3330.
Cd(NO ₃) ₂ ·ДАДМ·C ₂ H ₅ OH	445(?), 507, 528, 585, 620, 650, 730, 780, 820, 840, 868, 930(?), 950, 990, 1030, 1110, 1175, 1242, 1280(?), 1320, 1340, 1380, 1465, 1600, 1618, 2870, 2940, 2960, 3145, 3220, 3320, 3465, 3575.
Cd(NCS) ₂ ·ДАДМ:	430, 450, 465, 490, 520, 528, 545, 580, 650, 718, 735, 778, 820, 840, 862, 905, 920, 925, 990, 1030, 1110, 1130, 1190, 1220, 1240, 1290, 1325, 1350, 1390, 1460(?), 1482, 1520, 1608, 2130, 2870(?), 2990, 3160, 3235.
Zn(NO ₃) ₂ ·ДАДМ:	425, 448(?), 496, 520, 582, 644, 650, 710, 770, 780, 830, 840(п), 870, 885, 920(п), 950, 980, 1040, 1058, 1105, 1155, 1180, 1200(?), 1210(п), 1250, 1308, 1360(п), 1380, 1430, 1460, 1518, 1610, 1885, 2970, 3060(?), 3170, 3200, 3270, 3318, 3380.
ZnCl ₂ ·ДАДМ:	410, 430, 498, 530, 578, 610(?), 643, 660, 680, 720, 780, 820, 840, 870, 950, 1028, 1090, 1188, 1200, 1220, 1270, 1305, 1460, 1520, 1592, 2880, 2965, 3010, 3040, 3060, 3145, 3240(п), 3255, 3280, 3300.
ZnBr ₂ ·ДАДМ:	423, 496, 510(?), 530, 576, 596(?), 615, 642, 667, 700(?), 720, 778, 820, 840, 850, 870, 948, 970, 1030, 1078, 1130, 1160, 1190, 1200, 1230, 1270, 1300, 1380, 1470, 1518, 1588, 2970, 3015, 3040, 3060, 3150, 3245, 3300.
ZnSO ₄ ·ДАДМ:	405, 510, 535, 600, 615(п), 665, 695, 720(п), 780, 840, 885, 998, 1120, 1160, 1230(п), 1160, 1230, 1300(ш), 1380, 1470, 1585, 1620, 2840(?), 2980, 3050(п), 3280(п), 3335.

В ИК-спектрах поглощения всех исследуемых комплексов $\nu(\text{NH})$ молекул ДАДМ лежат в пределах 380—3145 см^{-1} и понижены по срав-



нению с $\nu(\text{NH})$ некоординированного ДАДМ: $\nu(\text{NH})$ проявляются около 3450—3218 cm^{-1} . Это обстоятельство указывает на координирование молекул ДАДМ с металлами через атомы азота NH_2 -групп. Следовательно эти молекулы в комплексах играют роль бидентатных (мостиковых) лигандов [10]. Высокочастотные компоненты для нитратного комплекса кадмия около 3465 и 3575 cm^{-1} , вероятно, относятся к $\nu(\text{OH})$ некоординированных молекул этанола [10].

Сравнивая спектры галогенидных и сульфатных комплексов цинка и кадмия, можно заметить, что в области 1100 cm^{-1} , где обычно лежат полосы поглощения $\nu_3(\text{SO}_4^{2-})$, в спектре сульфатного комплекса цинка проявляется интенсивная полоса поглощения, незначительно расщепленная. Незначительное расщепление наблюдается и для полосы $\nu_4(\text{SO}_4^{2-})$. Если бы SO_4^{2-} -группа находилась во внутренней сфере комплекса, то полосы ν_3 и ν_4 были бы существенно расщеплены [10—14], как это наблюдается для комплекса кадмия. Таким образом, можно заключить, что в комплексе цинка SO_4^{2-} -группы находятся во внешней сфере комплекса, а в комплексе кадмия являются внутрисферными.

В нитратных комплексах также присутствуют внешнесферные NO_3^- -группы. В спектрах этих соединений обнаружены частоты только нитрат-иона [$\nu_2(\text{A}^{\prime\prime})$ — 820—840, $\nu_3(\text{E}')$ — 1380 и ν_4 — 710—730 cm^{-1}] и не обнаружены полосы поглощения, относящиеся к колебаниям координированных нитратогрупп [10, 14—16].

В спектре тиоцианатного комплекса кадмия полоса $\nu(\text{CN})$ тиоцианатной группы проявляется около 2130 cm^{-1} , что указывает на мостиковый характер этого лиганда [16—18].

Институт неорганической химии и
электрохимии АН ГССР

Поступило 28.III 1979

Л. ЗАХАРОВИЧО, В. ОБЕЗЬЯНОВА, О. БЕЛЯЕВА, А. ОВЛАДОВА, А. ЗАХАРОВИЧ

Институт неорганической химии и
электрохимии АН ГССР

Л. З. О. В. З.

Синтезированные тиоцианатные комплексы кадмия и цинка с 4,4'-диаминодифенилбензойной кислотой: CdM_2 (Л. З.), ZnM_2 ($\text{Cd}=\text{Zn}$, $\text{M}=\text{Zn}, \text{Cd}; \text{X}=\text{Cl}^-, \text{Br}^-, \text{NO}_3^-$, SO_4^{2-} , $\text{NCS}^-(\text{Cd})$). Кристаллографический, спектральный и структурный анализ

М. А. БЕЛЯЕВА, В. В. ОВЛАДОВА, А. А. ОВЛАДОВА, А. А. ЗАХАРОВИЧ
Институт неорганической химии и электрохимии АН ГССР

Г. А. БЕЛЯЕВА, В. В. ОВЛАДОВА, А. А. ОВЛАДОВА, А. А. ЗАХАРОВИЧ
Институт неорганической химии и электрохимии АН ГССР

С. А. БЕЛЯЕВА, В. В. ОВЛАДОВА, А. А. ОВЛАДОВА, А. А. ЗАХАРОВИЧ
Институт неорганической химии и электрохимии АН ГССР

COORDINATION COMPOUNDS OF ZINC AND CADMIUM WITH 4,4'-DIAMINODIPHENYLMETHANE (DADM)

Summary

Halogenide and pseudohalogenide complexes of zinc and cadmium with 4,4'-diaminodiphenylmethane: XM_2 , (DADM), where $M = \text{Zn}, \text{Cd}$; $X = \text{Cl}^-$, Br^- , NO_3^- , $\frac{1}{2}\text{SO}_4^{2-}$, NCS^- (Cd), were synthesized.

Halogenide, nitrate and rhodanide complexes were obtained in the ethanol medium, while sulphate complexes in the water-ethanol system.

The obtained coordination compounds dissolve only in dimethylformamide and dimethylsulphoxide, while sulphate complexes are practically insoluble in usual organic solvents.

The molar electric conductivity of the complexes obtained in dimethylformamide was determined and it was established that they were three ion electrolytes.

IR-spectra of absorption of the obtained complexes (400—4000 cm^{-1}) were studied and X-ray investigations were carried out. The structure of the above-mentioned complexes was determined on the basis of the obtained data.

ЛІТЕРАТУРА — REFERENCES

- Джапаридзе А. В., Смольников Ю. П., Джашвили Т. К. Тезисы докл. респ. конф. молод. химиков ГССР, изд. «Мецниереба», Тбилиси, 70, 1975.
- Смольников Ю. П., Джашвили Т. К. Тезисы докл. респ. конф. молод. химиков ГССР, изд. «Мецниереба», Тбилиси, 161, 1975.
- Джапаридзе А. В., Джашвили Т. К., Смольников Ю. П. Изв. АН ГССР, серия химическая, 3, 4, 380 (1977).
- Джашвили Т. К., Смольников Ю. П., Цинцадзе Г. В., Абашидзе Е. И. Изв. АН ГССР, серия химическая, 4, 1, 89 (1978).
- Джашвили Т. К., Смольников Ю. П. Тезисы докл. респ. науч.-техн. конф. профессорско-препод. состава ГПИ им. Ленина и работников производства, изд. ГПИ им. Ленина, Тбилиси, III, 88 (1978).
- Бокий Г. Б., Порай-Кошиц М. А. Рентгеноструктурный анализ, изд. МГУ, М., 1964.
- Parker A. I. Quart. Rev., London, 16, 163 (1962).
- Hedström E. Arkiv Kemi, 5, 457 (1953).
- Желиговская Н. Н., Черняев И. И. Химия комплексных соединений, изд. «Высшая школа», М., 280, 1966.
- Накамото К. Инфракрасные спектры неорганических и координационных соединений, изд. «Мир», М., 1966.



11. Харитонов Ю. Я., Дейчман Э. И. ЖНХ, 10, 853 (1963).
12. Nakamoto K., Fajita I., Tanaka S., Kobosiki M. J. Am. Chem. Soc. 79, 4104 (1957).
13. Catheronse B. M., Livingstone S. C., Nyholm R. S. L. Chem. Soc. 422 (1957).
14. Харитонов Ю. Я., Юрнов Л. Н., Плющев В. Е., Первых В. Г. ЖНХ, 10, 711 (1965).
15. Харитонов Ю. Я., Батневская И. З. Докл. АН СССР, 1968, 615 (1966).
16. Порай-Кошиц М. А., Цинцадзе Г. В. Кристаллохимия роданидных и селеноцианатных соединений. Итоги науки. Кристаллохимия, изд. ВИНИТИ, 1967.
17. Харитонов Ю. Я. Сб. Применение спектроскопии в неорганической химии, изд. «Наука», М., 1970.
18. Цинцадзе Г. В. Смешанные псевдогалоидо-аминные соединения некоторых металлов, изд. «Мецниереба», Тбилиси, 1974.
-



УДК 547

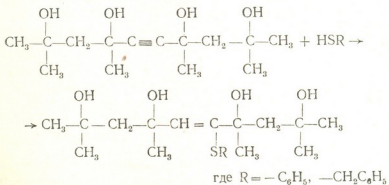
ОРГАНИЧЕСКАЯ ХИМИЯ

А. И. НОГАИДЕЛИ, К. Я. ДЗАГНИДЗЕ, Ц. Н. ВАРДОСАНИДЗЕ,
Н. Д. МЕГРЕЛИДЗЕ

**РЕАКЦИЯ ТИИЛИРОВАНИЯ И СИЛИЛИРОВАНИЯ
2,4,7,9-ТЕТРАМЕТИЛ-ДЕЦИН-5-ТЕТРАОЛА-2',4',7',9'**

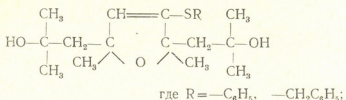
Реакция тиилирования стереоизомерных ацетиленовых эритритов 2,4,7,9-тетраметил-декин-5-тетраола-2',4',7',9' нами проводилась тиофенолом и бензилмеркаптаном в токе азота в присутствии каталитического количества порошкообразного KOH. В зависимости от агрегатного состояния стереоизомеров эритрита [1] тиилирование протекало как в растворителе, так и без растворителя.

Были получены соответствующие этиленовые тетраоксиарилсульфиды по схеме:



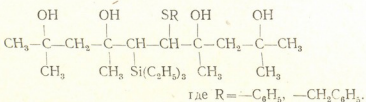
Тиилированием изомерных эритритов тиофенолом получаются жидкие тиоэритриты (табл. 1), только вещество 3 в табл. 1 после отгонки при стоянии кристаллизуется. Полученные нами продукты характеризуются специфическим запахом и оказывают сильно раздражающее действие на кожу. Количественный элементный анализ и определение гидроксильных групп указывает на содержание одного атома серы в этих соединениях. Это подтверждается также данными ИК-спектрального анализа. В спектре наблюдаются широкие полосы поглощения в области 3300—3500 cm^{-1} , соответствующие валентным колебаниям OH-групп. Интенсивные полосы поглощения в области 1590 и 750 cm^{-1} характерны для фенильных радикалов. Наличие интенсивной полосы в области 620 cm^{-1} указывает на присутствие C—S связи. Существование двойной связи в полученных соединениях подтверждается полосами поглощения в области 1620 cm^{-1} .

Исследование реакции дегидратации этиленовых тетраоксиарилсульфидов в присутствии прокаленного бисульфата калия показало, что для этого гидратация указанных соединений протекает аналогично этиленовым диоксиарилсульфидам [2] и сопровождается замыканием цикла с образованием диоксиарилтиодигидрофурановых соединений:



Данные молекулярной рефракции, элементного анализа и определения молекулярной массы подтверждают образование указанных соединений. В ИК-спектре имеются полосы поглощения в области 1170 см^{-1} , характерные для связи $\text{C}-\text{O}$ фуранового кольца, сильное поглощение в области $3250-3600 \text{ см}^{-1}$ указывает на наличие OH -групп, а интенсивные полосы поглощения в области 620 см^{-1} соответствуют $\text{C}-\text{S}$ связи.

Гидросилилирование этиленовых тетраоксиарилсульфидов проводилось с триэтилгидридосиленом при температуре 100° в присутствии платинохлористоводородной кислоты. В результате были получены соединения:



В ИК-спектрах указанных соединений обнаружены полосы поглощения в области $3300-3600 \text{ см}^{-1}$, соответствующие OH -группам. Обнаруживаются также полосы поглощения в области 1240 см^{-1} , характерные для связи $\text{Si}-\text{C}$, и полосы поглощения в области 623 см^{-1} , указывающие на наличие $\text{C}-\text{S}$ связи.

Рассмотрение ЯМР-спектров данных соединений указывает на то, что они являются β -силилпроизводными по отношению к сульфидной сере (дублет $\delta=2,43$ м. д., $F=6,7$ Гц, КССВ=6,7 Гц).

1) **Взаимодействие 2,4,7,9-тетраметил-декин-5-тетраола-2',4',7',9' с тиофенолом и бензилмеркаптаном.** К смеси 0,25 моля 2,4,7,9-тетраметил-декин-5-тетраола-2',4',7',9' и 0,5 вес.% массы порошкообразного КОН, при непрерывном перемешивании в атмосфере азота по каплям добавляли 0,5 моля тиоспирта при комнатной температуре. Реакционную смесь нагревали при 160° в течение 5 часов. После окончания реакции смесь растворяли в эфире, эфирный слой несколько раз промывали дистиллированной водой и сушили над Na_2SO_4 . Выход по-

16.535.



Характеристика полученных соединений

	Вещество				T, кип. T, град.	n ²⁰	d ¹⁵ ₄	MR _{сврт.}	MR _{нагр.}	M _{сврт.}	M _{нагр.}	OH _{сврт.}	OH _{нагр.}
1	CH ₃	OH	OH	CH ₃	102–104 (1 мм)	1,532	1,075	105,6	104,798	308	356	17,8	18,6 18,28
	HO—C—CH ₃ —C—CH= C—C—CH ₃ —C—OH												
	CH ₃	CH ₃	SC ₆ H ₅	CH ₃	CH ₃								
2	CH ₃	OH	OH	CH ₃	128–130° (3 мм)	1,532	1,075	109,09	109,44	382	376	16,9	17,6 17,4
	HO—C—CH ₃ —C—CH= C—C—CH ₃ —C—OH												
	CH ₃	CH ₃	SCH ₂ C ₆ H ₅	CH ₃	CH ₃								
3	CH ₃	OH	OH	CH ₃	170°(3мм) 37°т.пл.	1,503	1,070	105,6	105,08	308	372	17,6	17,8 17,8
	HO—C—CH ₃ —C—CH= C—C—CH ₃ —C—OH												
	CH ₃	CH ₃	SC ₆ H ₅	CH ₃	CH ₃								
4	CH ₃	OH	OH	CH ₃	170°(2мм) 53°т.пл.	—	—	—	—	308	380	17,6	16,8 17,2
	HO—C—CH ₃ —C—CH= C—C—CH ₃ —C—OH												
	CH ₃	CH ₃	SCH ₂ C ₆ H ₅	CH ₃	CH ₃								



	Вещество			T, кин. T, м.	n ²⁰	d ¹⁰ ₄	MR _{вып.}	MR _{макс.}	M _{вып.}	M _{макс.}	DF ₁₀₅ OH CDB— OH CDB—
				(1 mm)							
5	$\begin{array}{ccccc} \text{CH}_3 & \text{CH}=\text{CSC}_6\text{H}_5 & \text{CH}_3 \\ & & \\ \text{HO}-\text{C}-\text{CH}_2-\text{C} & \text{C}-\text{CH}_2-\text{C}-\text{OH} \\ & & \\ \text{CH}_3 & \text{CH}_3 & \text{CH}_3 \end{array}$	$\begin{array}{c} \text{O} \\ \diagdown \quad \diagup \\ \text{CH}_3 \quad \text{CH}_3 \end{array}$	115—117° (1 mm)	1.555	1.064	111.0	111.478	350	362	8.0	9.6 9.9
6	$\begin{array}{ccccc} \text{CH}_3 & \text{CH}=\text{CSC}_6\text{H}_5 & \text{CH}_3 \\ & & \\ \text{HO}-\text{C}-\text{CH}_2-\text{C} & \text{C}-\text{CH}_2-\text{C}-\text{OH} \\ & & \\ \text{CH}_3 & \text{CH}_3 & \text{CH}_3 \end{array}$	$\begin{array}{c} \text{O} \\ \diagdown \quad \diagup \\ \text{CH}_3 \quad \text{CH}_3 \end{array}$	119° (2 mm)	1.557	1.070	117.08	118.7	364	370	8.7	3.0 8.36
7	$\begin{array}{ccccc} \text{CH}_3 & \text{OH} & \text{Si}(\text{C}_2\text{H}_5)_3 & \text{OH} & \text{CH}_3 \\ & & & & \\ \text{HO}-\text{C}-\text{CH}_2-\text{C} & -\text{CH}-\text{CH}-\text{C}-\text{CH}_2-\text{C}-\text{OH} \\ & & & & \\ \text{CH}_3 & \text{CH}_3 & \text{SC}_6\text{H}_5 & \text{CH}_3 & \text{CH}_3 \end{array}$	$\begin{array}{c} \text{O} \\ \diagdown \quad \diagup \\ \text{CH}_3 \quad \text{CH}_3 \end{array}$	120—121° (1 mm)	1.499	0.9170	150.302	150.32	474	470	14.3	14.9 15.10
8	$\begin{array}{ccccc} \text{CH}_3 & \text{OH} & \text{Si}(\text{C}_2\text{H}_5)_3 & \text{OH} & \text{CH}_3 \\ & & & & \\ \text{HO}-\text{C}-\text{CH}_2-\text{C} & -\text{CH}-\text{CH}-\text{C}-\text{CH}-\text{C}-\text{OH} \\ & & & & \\ \text{CH}_3 & \text{CH}_3 & \text{SCH}_2\text{C}_6\text{H}_5 & \text{CH}_3 & \text{CH}_3 \end{array}$	$\begin{array}{c} \text{O} \\ \diagdown \quad \diagup \\ \text{CH}_3 \quad \text{CH}_3 \end{array}$	125—137 (1 mm)	1.495	0.9212	153.350	154.06	488	494	13.9	13.21 13.53

сле фракционирования основного продукта 35—40% (таблицы 1, 2 ве-
щество 1, 2).

Реакция тиилирования кристаллического стереоизомера [1] с т. пл. 129° проводилась для тех же количеств исходных компонентов в среде сухого диоксана при температуре 100°. Константы полученных веществ 3, 4 приведены в таблицах 1, 2.

Таблица 2

Элементный анализ полученных веществ

Вещество	Вычислено, %				Найдено, %			
	C	H	S	Si	C	H	S	Si
1	65,2	9,6	9,69		66,6	8,8	9,21	
2	65,9	8,9	8,3		66,6	8,02	9,00	
3	65,2	9,6	9,69		66,4	8,22	9,1	
4	65,9	8,9	8,3		66,24	8,28	8,99	
5	68,8	8,8	9,01		65,92	9,92	10,41	
6	69,2	8,7	8,7		65,34	9,88	10,64	
7	65,82	10,12	6,7	5,9	65,12	9,29	9,11	
8	66,89	10,24	6,55	5,78	65,68	9,47	9,26	
					69,6	7,9	9,81	
					65,81	8,11	9,37	
					68,32	8,42	8,01	
					68,72	8,74	8,34	
					65,00	10,9	5,29	7,62
					65,12	10,87	5,57	7,59
					66,70	11,70	7,28	5,09
					67,24	11,16	7,31	5,12

2) Дегидратация этиленовых тетраоксиарилсульфидов. Смесь 0,15 моля тетраоксиарилсульфида [1, 2], 0,15 г дитизона и 2 г KHSO₄ нагревали на кипящей водяной бане 2 часа. После перегонки получили соответствующие диоксиарилтиодигидрофураны с выходом 15% (таблица 1, 2; вещества 5, 6).

3) Гидросилилирование этиленовых тетраоксиарилсульфидов. Смесь 0,1 моля тетраоксиарилсульфида, 0,2 вес.% катализатора и 0,15 моля триэтилгидридисилана нагревали при 90° в течение 8 часов. Смесь перегоняли в вакууме. Анализ полученных веществ приведен в таблицах 1 и 2 (вещества 7, 8).

Тбилисский государственный университет

Поступило 10.VI.1977

З. ГОДАНОДЗЕ, З. ҚАЗБЕКОВА, З. ვარეოსტავიძე, გ. გოგიაშვილი

2, 4, 7, 9-ტეტრამეთილდიფინ-5-ტეტრაოლ-2', 4', 7', 9'-ის თიოლინიანა და
სილილირების რეაქციები თიოფენოლთან და ბენზილმერკაპტანთან ფენიერი კა-

რეზოუნდ

ჩატარებულია 2, 4, 7, 9-ტეტრამეთილდიფინ-5-ტეტრაოლ-2', 4', 7', 9'-ის
თიოლირების რეაქციები თიოფენოლთან და ბენზილმერკაპტანთან ფენიერი კა-

ლიუმის ტუტის თანაობისას 170° ტემპერატურაზე აზოტის არეში. შესწავლა
ლია მიღებული დამახასიათებელი სუნის მქონე ეთილენური რიგის ტეტრაოქსი-
სიარილთიოსულფიდები, რომლებიც მოქმედებენ კანზე. სპექტრული შესწავლა
ლიზის მონაცემები, ელემენტური ანალიზის შედეგები და პიდროქსილის ჯგუ-
ფის რაოდენობა აღსტურებს მიღებული ნივთიერებების აგებულებას.

ეთილენური რიგის ტეტრაოქსიარილსულფიდების დეპიდრატაციით უწყლო
კალიუმის ბისულფატის თანაობისას გამოყოფილია დიოქსიარილთიოლიდრო-
ფურანები, რომლის შედეგნილობა დადასტურებულია კალევის ფიზიკურ-ქი-
მიური მეთოდებით.

შესწავლილია ტეტრაოქსიარილთიოსულფიდების ურთიერთქმედების რე-
აქციები ტრიეთილპიდრილსილანთან კატალიზატორის პლატინაქლორიფალბა-
დის თანაობისას. რეაქციის შედეგად გამოყოფილია სილიციუმის შემცველი
ჰარაფინული რიგის ტეტრაოქსიარილთიოსულფიდები.

A. I. NOGAIDELI, K. YA. DZAGNIDZE, TS. N. VARDOSANIDZE.
N. D. MEGRELIDZE

REACTIONS OF THIILATION AND SILYLATION OF 2,4,7,9- TETRAMETHYLDECENE-5-TETRAOL-2',4',7',9'

Summary

The reactions of thiilation of 2,4,7,9-tetramethyldecene-5-tetraol-2',4',7',9', with thiophenol and benzyl mercaptan in the presence of potassium hydrate were occurring at temperature 170° in nitrogen flow.

The corresponding tetraoxiarylsulphides were isolated and studied. They have a specific smell and cause strong irritation of skin.

Data of spectral analysis, element analysis and the number of hydroxyl groups correspond to tetraoxiarylsulphides of ethylene series.

Dehydration was used to isolate dioxiaryldihydrofurans from tetraoxiarylsulphides in the presence of anhydrous KHSO_4 . Their composition was confirmed by physico-chemical methods of the analysis.

Interaction between tetraoxiarylsulphides and triethyl hydride silan in the presence of platinic hydrochloric acid was studied. Silicon containing tetraoxiarylthiosulphates of the paraffin series were isolated.

ლიტერატურა — ЛИТЕРАТУРА — REFERENCES

1. Ногайдели А. И., Дзагнидзе К. Я. ЖХХ, XXI, 304 (1955).
2. Ногайдели А. И., Ткешелашвили Р. Ш., Махарашвили Н. П. ЖХХ, IX, 2481 (1973).

УДК 678.02:66.095.3

Р. Д. КАЦЛАВА, Д. П. ХАРАДЗЕ, Л. М. АВАЛИШВИЛИ,
Т. М. КАРТВЕЛИШВИЛИ, М. М. ЗААЛИШВИЛИ

СИНТЕЗ ПОЛИАМИДОВ ВЗАИМОДЕЙСТВИЕМ АКТИВИРОВАННЫХ ФЕНИЛОВЫХ ЭФИРОВ ДИКАРБОНОВЫХ КИСЛОТ С ДИАМИНАМИ

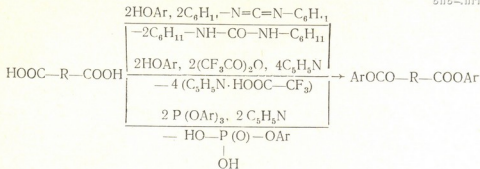
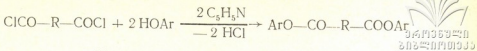
В химии высокомолекулярных соединений одним из наиболее распространенных методов синтеза полiamидов является взаимодействие диаминов с дихлорангидридами дикарбоновых кислот [1, 2]. В разное время были предприняты попытки использовать для синтеза полимеров указанного класса другие, «неклассические» функциональные группы [3—7]. Однако в большинстве случаев были получены лишь низкомолекулярные продукты.

В то же время, дальнейшие поиски с целью замены хлорангидридной функциональной группы при синтезе полiamидов представляются перспективными в силу ряда соображений. Многие дихлорангидриды труднодоступны, гидролитически неустойчивы, энергично реагируют со многими известными органическими растворителями. Кроме того, алифатические дихлорангидриды взаимодействуют с аминами с образованием дикетена [8], что приводит не только к гибели функциональных групп, но и к разнозвездному разветвленному строению полимерных цепей, в результате образования β -кетоамидных группировок.

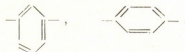
В последние годы значительное внимание исследователей для синтеза полiamидов привлекает т. н. метод «активированного эфира», нашедший широкое применение в пептидной химии [9, 10]. С этой целью были использованы различные активированные диэфиры дикарбоновых кислот [11—13], однако практически невыясненным остался вопрос, каким активирующими группам следует отдавать предпочтение при использовании диаминов и дикарбоновых кислот различной природы. Кроме того, в большинстве случаев активированные диэфиры были получены с применением соответствующих дихлорангидридов. Лишь в [11] был осуществлен синтез активированных диэфиров непосредственно из алифатической дикарбоновой кислоты путем ее конденсации с фенолами в присутствии дициклогексилкарбодимида.

В настоящем сообщении нами изучена возможность синтеза полiamидов методом низкотемпературной поликонденсации в растворе с использованием активированных фениловых эфиров дикарбоновых кислот, а также разработаны способы их синтеза непосредственно из свободных кислот (как алифатических, так и ароматических), не прибегая к использованию дихлорангидридов.

Активированные диэфиры синтезировали четырьмя различными методами: хлорангидридным (ХА) (для сравнительного изучения и идентификации мономеров), дициклогексилкарбодимидным (ДЦК), фосфитным и трифторацетатным (ТФА):



где: R = —(CH₂)₄—,



Ar =

Предпочтение, разумеется, следует отдать трем последним методам, с помощью которых активированные диэфиры получаются непосредственно из дикарбоновых кислот. Результаты экспериментов, приведенные в таблице 1, показывают, что наилучшим является трифторацетатный метод, позволяющий получать указанные эфиры с высокими выходами на основе как алифатических, так и ароматических дикарбоновых кислот.

В качестве диаминной компоненты в реакции поликонденсации были выбраны ароматический 4,4'-диаминодифенилметан (ДАДМ) и алифатический гексаметилендиамин (ГМДА). Реакцию проводили в амидных растворителях. Условия реакций и полученные результаты приведены в таблице 2. Как видно из данных таблицы, на основе ароматического ДАДМ наиболее высокомолекулярные полиамиды получаются при его взаимодействии с бис-2,4-динитрофениловыми эфирами дикарбоновых кислот (как ароматических, так и алифатических), что легко объясняется более высокой активирующей способностью 2,4-динитрофениловой группировки. В отличие от ароматического диамина более основной алифатический ГМДА высокомолекулярные полимеры образует при взаимодействии с бис-п-нитрофениловым эфиром изофталевой кислоты — ПНФИ (в случае производных адипиновой кислоты рост молекулярного веса ограничен выпадением полимера из раствора). Следует отметить, что в случае ароматической дикарбоновой кислоты для получения высокомолекулярного полиамида требуется более энергичная активирующая группа. Так, например, ДАДМ при взаимодействии с ПНФИ дает лишь низкомолекулярный продукт, в то время как с ПНФА образуется полимер с η пр. 0,23 дл/г. Указанный факт легко объясняется более высокой реакционной способностью производных алифатических карбоновых кислот по сравнению с производными ароматических карбоновых кислот.

Свойства некоторых бис-фениловых эфиров

Бис-фениловый эфир общей формулы $R-O-CO-R'-CO-O-R$	Аббревиатура	Тпл. °C (лит. т. п.l.)	Метод очистки	ВОЛНОДЛИННЫЕ				
				ХА метод	ДШК метод	Фосфит. метод	ТФЛ метод	
$R = -(CH_2)_4-$		ОНФЛ	92—94	перекристаллизация из бензола	83,5	—	—	86,0
$-(CH_2)_4-$		ПНФЛ	120—120,5	перекристаллизация из этилacetат+гексан	80,5	60,3	86,5	95,4
$-(CH_2)_4-$		ДНФЛ	116—118	перекристаллизация из бензола	82,1	25,0	—	85,0
$-(CH_2)_4-$		ПХФЛ	190—191 (190/14/)	перекристаллизация из Cl-бензол+гексан	87,3	62,0	—	90,1
	ОНФИ	166—168	перекристаллизация из дioxана+ц/гексан	73,3	—	—	—	
	ПНФИ	247—249	перекристаллизация из дioxана	80,5	—	79,1	92,2	
	ДНФИ	203—204	перекристаллизация из Cl-бензола	75,9	—	—	85,9	
	ПХФИ	313—314	перекристаллизация из дioxана	81,4	20,0	—	98,4	
	ДНФТ	206—208 (208—210/13/)	перекристаллизация из дioxана+ц/гексан	79,7	—	—	85,6	

Условия поликонденсации и свойства полинимидов, полученных взаимодействием бисфениловых эфиров с дибутилфталоимидом

№№	Исходный эфир	Двамин	C, моль/л	t, °C	Время, час	Растворитель	η_{sp} , дл/г	Примечания
1а	ОНФА	ГМДА	0,6	30	10	ДМАА+3% LiCl	0,12 ^a	а) Полимер выпадает при реакции
2а	ПНФА	ГМДА	0,3	30	10	ДМАА+3% LiCl	0,24 ^b	
3а	ДНФА	ГМДА	0,3	30	10	ГМФА	0,24 ^b	б) Вязкость определена в смеси тетрахлорэтана с фенолом /3:1/C=0,5 г/дл.
4	ОНФА	ДАДМ	0,6	30	20	ДМАА+3% LiCl	0,22 ^b	
5	ПНФА	ДАДМ	0,3	30	20	ДМАА+3% LiCl	0,23 ^b	
6	ДНФА	ДАДМ	0,6	30	20	ГМФА	1,4 ^c	в) Вязкость определена в ГМФА
7	ПХФА	ДАДМ	0,6	60	8	ГМФА	0,32 ^c	
8	ПНФИ	ГМДА	0,3	30	10	ГМФА	0,68 ^d	С=0,5 г/дл.
9	ДНФИ	ГМДА	0,3	30	10	Н-МП+3% LiCl	0,40 ^d	ГМФА—гексаметафофорти- мид
10	ПХФИ	ГМДА	0,6	90	8	ГМФА	0,31 ^d	ДМАА—N,N—диметиланите- мид
11	ПНФИ	ДАДМ	0,3	30	20	ГМФА	—	
12	ДНФИ	ДАДМ	0,6	30	20	ГМФА	0,55 ^d	
13	ПХФИ	ДАДМ	0,6	90	8	ГМФА	0,54 ^d	N—МП—N—метилнорролидон.
14	ДНФТ	ГМДА	0,3	30	10	Н-МП+3% LiCl	0,22 ^d	г) Вязкость определена в H_2SO_4 С=0,5 г/дл.
15	ДНФТ	ДАДМ	0,3	30	20	ГМФА+3% LiCl	0,50 ^d	



УДК 539.2'43
З.Ю. СПИРИНОВА

Условия синтеза и свойства полиамидов на основе актиенионных полизифиров

Полизифир	Условия синтеза полизифира ($T=35^\circ\text{C}$)				η_{25° пр полизифи- ра η_1 , д.л./г	Диамин	Условия синтеза по- лиамида ($T=30^\circ\text{C}$)				
	Растворитель η_1	Вре- мя, час	$C,$ моль л	ДАДМ			Раствори- тель	Вре- мя, час	$C,$ моль л		
							ГМФА	ГМФА			
	бензальниитрил	5	0,4	0,09 ^{a)}	ДАДМ	ГМФА	10	0,4	0,84		
	сульфолан	5	0,4	0,48			10	0,4	0,48		
	сульфолан	5	0,4	0,18	ДАДМ	ГМФА	10	0,4	0,38		
					ГИДА	ГМФА	10	0,4	0,35		

а) Вязкость определена в N -метилпирролидоне сразу после растворения, $C=0,5$ г/дл.

б) Вязкость определена в ГМФА, $C=0,5$ г/дл.

в) В качестве акцептора HCl использован перидин.

г) Полизифир получен при избытке бисфенола (5 мол. %).

Для синтеза полиамидов в качестве исходных соединений были использованы также полимерные активированные эфиры на основе 3,3'-динитро-4,4'-диоксидифенилсульфона (ДДДС). Наличие в бисфенольном остатке полиэфира сильной электронно-акцепторной $-SO_2-$ группы наряду с двумя NO_2 -группами приводит к дополнительной активации эфирной связи. При взаимодействии указанных полиэфиров с дикарбоновыми кислотами в условиях низкотемпературной поликонденсации происходит полный аминолиз сложноэфирных группировок с образованием высокомолекулярных полиамидов, что было доказано с помощью ИК-спектрального анализа (рис. 1).

Свойства полученных полиамидов приведены в таблице 3. Как следует из данных таблицы, вязкостные характеристики полиамидов мало зависят от вязкостных характеристик исходных полиэфиров, если концевыми группами последних являются нитрофенольные остатки. В этом случае исходный полиэфир является «живым» и способен к дальнейшему росту цепи.

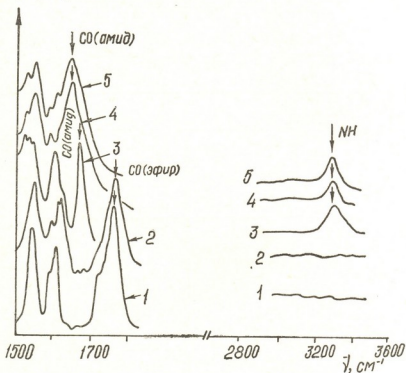


Рис. 1. ИК-спектры активированных полиэфиров и полиамидов, полученных на их основе

Таким образом, полученные данные позволяют сделать вывод, что активированные фениловые эфиры дикарбоновых кислот являются высокореакционноспособными соединениями и могут быть использованы в качестве исходных мономеров для синтеза высокомолекулярных полиамидов в условиях низкотемпературной поликонденсации. Возможность синтеза указанных диэфиров непосредственно из свободных кислот открывает интересные синтетические возможности для получения полиамидов на основе тех дикарбоновых кислот, дихлорангидриды которых труднодоступны или не получаются вообще.

Все использованные растворители и пиридин сушили и очищали по стандартным методикам.



УДК 547.553.5

ГМДА и дициклогексилкарбодиимид (ДЦК) очищали перегонкой в вакууме, в токе аргона.

ДАДМ перекристаллизовывали из воды в присутствии небольшого количества Na_2SO_3 ; т. пл. 93—94°C, лит. т. пл. 93°C.

Дихлорангидрид адипиновой кислоты получали при взаимодействии кислоты с PCl_3 и перегоняли в вакууме.

ДДС очищали перекристаллизацией из смеси ацетона с бензолов; т. пл. 238—239°C, лит. т. пл. 238,5 — 240°C [15].

Трифтормуссный ангидрид получали смешением 100 г трифтормуссной кислоты с 100 г P_2O_5 и последующей трехкратной перегонкой над свежими порциями P_2O_5 . Т. кип. 39°C [16].

Трис(п-нитрофенил)fosфит синтезировали по методике, предложенной в [17]. 41,7 г (0,3 моля) п-нитрофенола растворяли в 125 мл 1,2-дихлорэтана при нагревании до 50°C, затем медленно добавляли 8,6 мл (0,1 моля) PCl_3 . Раствор кипятили осторожно в течение 20 часов, затем охлаждали до комнатной температуры. Выпавшие кристаллы растворяли в минимальном количестве кипящего толуола, отфильтровывали и продукт осаждали эфиrom. Т. пл. 168—170°C; выход 68% (лит. т. пл. 166—170°C, выход 35% [17]).

СИНТЕЗ АКТИВИРОВАННЫХ ДИЭФИРОВ

Хлорангидридный метод (общая методика)

В двухгорную колбу, снабженную мешалкой, помещали 0,2 моля фенола, добавляли 400 мл сухого бензола и 0,22 моля пиридина. К образующемуся раствору при постоянном перемешивании медленно добавляли 0,1 моля дихлорангидрида дикарбоновой кислоты. Перемешивание продолжали при комнатной температуре в течение 2 часов. Реакционную смесь выпаривали досуха, тщательно промывали ледяной водой до отрицательной реакции на Cl -ионы и сушили. Полученный белый порошок перекристаллизовывали два раза из соответствующего растворителя. Выход и т. пл. приведены в таблице 1. Аналогичным образом указанные соединения можно получить в среде ацетона или тетрагидрофурана. В этом случае реакционную смесь вместо упаривания выливали в холодную воду, выпавший осадок отфильтровывали, тщательно промывали водой и сушили. Дальнейшая обработка аналогична вышеизложенной.

Дициклогексилкарбодиимидный метод (общая методика)

К раствору 0,1 моля дикарбоновой кислоты и 0,24 моля соответствующего замещенного фенола (20% избыток) в 100 мл ДМФА при непрерывном перемешивании добавляли при 0°C 0,2 моля ДЦК. Через 30 мин температуру реакционной смеси повышали до комнатной и выдерживали при этой температуре в течение 3 часов. К концу реакции к смеси добавляли несколько капель уксусной кислоты для удаления непрореагировавшего ДЦК. Реакционную смесь отфильтровывали и осадок несколько раз промывали небольшими порциями ДМФА. Объединенный фильтрат упаривали досуха. Полученный осадок очищали перекристаллизацией из подходящего растворителя (табл. 1). Выпавшие кристаллы отфильтровывали и сушили в вакууме. Выходы диэфиров даны в таблице 1.

Фосфитный метод (общая методика).

К раствору 0,1 моля дикарбоновой кислоты в 100 мл пиридина при непрерывном перемешивании добавляли 0,13 моля трис-(п-нитрофенил)-фосфита. Реакцию продолжали при комнатной температуре в течение 3 часов. Реакционную смесь переносили в ледяную воду, вы-

павший осадок быстро отфильтровывали, сушили в вакууме и перекристаллизовывали. Выходы диэфиров приведены в таблице 14.

Трифторацетатный метод (общая методика).

К раствору 0,2 моля замещенного фенола добавляли 0,2 моля сухого пиридина и 0,2 моля трифторуксусного ангидрида. Реакционную смесь перемешивали 30 минут, а затем добавляли еще 0,2 моля пиридина и 0,1 моля дикарбоновой кислоты и перемешивание продолжали в течение 2—3 часов при температуре 25—120°C в зависимости от структуры дикарбоновой кислоты и фенола. Реакционный раствор отфильтровывали, фильтрат упаривали досуха на роторном испарителе. Объединенный твердый продукт реакции помещали на стеклянный фильтр и промывали ледяной водой (или этиловым спиртом), сушили в вакууме и перекристаллизовывали. Выходы диэфиров приведены в таблице I.

Синтез полиэфиров на основе ДДДС (общая методика)

0,002 моля ДДС растворяли в 5 мл растворителя и добавляли 0,35 мл (0,0043 моля) пиридина и 0,002 моля соответствующего дихлорангидрида. Реакционную смесь перемешивали в течение 5 часов при комнатной температуре. Полимер осаждали в этиловый спирт, выпавший осадок отфильтровывали и промывали свежими порциями этанола и сушили.

Синтез полиамидов (общая методика).

0,002 моля диамина растворяли в токе аргона в соответствующем количестве растворителя (таблица 2) и при постоянном перемешивании добавляли 0,002 моля активированного диэфира в твердом виде. Температура и продолжительность реакции приведены в таблице 2. Полученный полимер осаждали в воду, выпавший осадок отфильтровывали, тщательно промывали водой и экстрагировали ацетоном в аппарате Сокслета до исчезновения желтой окраски. Выход 95—99%.

Аналогично получали полиамиды на основе активированных полизифиров. Условия синтеза и полученные результаты приведены в таблице 3.

Институт физиологии им. И. С. Беритшвили

Поступило 14.II.1979

ନ. କୁତୋରାବୀ, ଇ. କୁରାବୀ, ଔ. କୁରାବୀ, ଗ. କୁରାବୀ, ଘ. କୁରାବୀ

698056

ადიპინის, იზოფტალისა და ტერეფტალის მეაცების ქეტივირებული დიეთერების ურთიერთქმედებით ჰექსამეთონდიამინსა და 3, 3'-დამინოდიფენილმეთანთან დაბალტემპერატურული პოლიკონდენსაციის პირობებში ამილური გამსხველების არეში მიღებულია მაღალმოლეულური პოლიამიდები. გააქტივირებულ ჯგუფებად გამოყენებულია ორთო-ნიტრო, პარა-ნიტრო-, 2,4-დი-ნიტრო- და პენტა-ქლორონაფთინის გამოყები.

დამუშავებულია აქტივიზებული დიკენების მიღების სამი ახალი ხერხი უშუალოდ თავისუფალი დიკაბონმეცავებიდან დიკილონჰექსილოპილი-ლური, ტრიარილფოსფიტური და ტრიფტორაცეტატური მეთოდების გამოყენებით.



ნაჩვენებია, რომ არომატული დიამინის შემთხვევაში მაღალმოლექულური პოლიამიდები მიღება მათი ურთიერთქმედებით დიკარბონის მეავების ბის-2,4-ფურანი-დინიტროფენილის ეთერებთან. ალიფატურ დიამინთან უკეთეს შედეგს იძლევა პარა-ნიტროფენილის მაჟრიცებული ჭვეფი.

გამოსავალ ნივთიერებებიად პოლიამიდების მიღებისათვის გამოყენებულია აგრეთვე აქტივირებული პოლიეთერები 3,3'-დინიტრო-4,4'-დიოქსიდიფენილ-სულფონისა და დიკარბონის მეავების საფუძველზე. ნაჩვენებია, რომ მიღებული პოლიამიდების სიბლანტის მახასიათებელი პრაქტიკულად დამკაიდებულია არ არის საწყისი პოლიმერების სიბლანტის მახასიათებელზე, თუ კი ამ უკანასკნელთა განაპირობების აღებული ბისუენოლის ნაშები წარმოადგენს.

R. D. KATSARAVA, D. P. KHARADZE, L. M. AVALISHVILI,
T. M. KARTVELISHVILI, M. M. ZAALISHVILI

SYNTHESIS OF POLYAMIDES BY INTERACTION OF ACTIVATED PHENYL ESTERS OF DICARBOXYL ACIDS WITH DIAMINES

Summary

High molecular polyamides have been obtained by interaction of activated diesters of adipinic, isophthalic and terephthalic acids with hexam ethylenediamine and 4,4'-diaminodiphenylmethane under the conditions of low temperature condensation in the medium of amide solvents. o-nitro, p-nitro, 2,4-dinitro -and pentachlorophenyl groups were used as activating groups.

Three new ways of the synthesis of activated diesters being developed directly from free dicarboxyl acids with the use of dicyclohexylcarbodiimide, triaryl phosphite and trifluoroacetate methods.

It is shown that in the case of an aromatic diamine high molecular polyamides are obtained at their interaction with bis-2, 4-dinitrophenyl esters of dicarboxyl acids; with aliphatic diamine it is the p-nitrophenyl activating group, that gives the best results.

Activated polyesters on the basis of 3,3'-dinitro-4,4'-dioxidiphenylsulphon and dicarboxyl acids were also used as the original compounds for the synthesis of polyamides. It is shown that viscosity characteristics of polyamides practically do not depend on viscosity characteristics of the original polyesters if the latter end groups are bisphenol residues.

ლიტერატურა — ЛИТЕРАТУРА — REFERENCES

1. Коршак В. В., Виноградова С. В. Неравновесная поликонденсация, изд. «Наука», М., 1974.
2. Моргани П. У. Поликонденсационные процессы синтеза полимеров, изд. «Химия», Л., 1970.
3. Пат. США, № 2625536 (1953).
4. Пат. США, № 30821191 (1963).
5. Пат. ФРГ, № 802847 (1951).

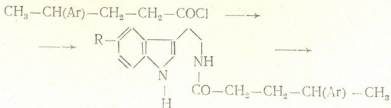
6. Staab H. A. Ber., 90, 1326 (1957).
7. Sanui K., Kashimoto J., Ogata N. Polymer J., 2(3), 422, (1971).
8. Sonntag N. O. Chem. Rev., 52, 237 (1953).
9. Гринштейн Дж., Виниц М. Химия аминокислот и пептидов, изд-во Мир, 1955.
10. Боданский М., Клаузнер Я. С. В кн. «Химия полипептидов» под. ред. П. Катсояниса, «Мир», 1977.
11. Overberger C. G., Sebenda J. J. Polymer. Sci., A-1, 2875 (1969).
12. Ogata N., Sanui K., Iijima K. J. Polymer Sci., Polym. Chem. ed., 11, 1095 (1973).
13. Ueda M., Okada K., Imai J. J. Polymer Sci., Polym. Chem. ed., 14, 2665 (1976).
14. Ismail R. M. J. Prakt. Chemie, 312, 389 (1970).
15. Пат. США, № 3306876 (1967).
16. Bourne E. J., Stacey M., Tatlow J. C., Tedder J. M. J. Chem. Soc. 2976 (1949).
17. Goodman M., Langsam M. Biopolymers, 4 (3), 275 (1966).
-

УДК 547.759

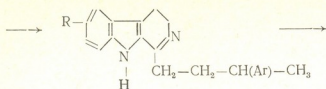
Д. Р. ЛАГИДЗЕ, Л. Я. ТАЛАКВАДЗЕ, Т. Н. РЕВАЗИШВИЛИ, Л. А. ЦУЛУКИДЗЕ,
Р. М. ЛАГИДЗЕСИНТЕЗ НЕКОТОРЫХ НОВЫХ АНАЛОГОВ МЕЛАТОНИНА И
β-КАРБОЛИНА НА ОСНОВЕ 4-ФЕНИЛПЕНТАНОВОЙ КИСЛОТЫ

В работах [1—3] нами был описан синтез ряда новых аралькильных аналогов мелатонина и продуктов их циклизации по реакции Бишлера-Напиральского — соответствующих аралькильных производных β-карболина, в том числе с сульфонамидными группами в ароматическом ядре аралькильного фрагмента. На основании предварительных биологических испытаний было показано, что 2-(5-метоксииодил-3-этиламид 4-фенил-, 4-п-толил- и 4-(N,N-диэтилсульфонамидо-п-кенил)- пентановых кислот проявляют антибластоматическую активность.

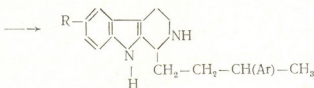
В целях изучения влияния различных функциональных групп на физиологическую активность, представлялось интересным осуществление синтеза новых нитро-, амино- и дезметоксианалогов вышеуказанных соединений. Взаимодействием ранее описанного хлорангидрида 4-фенилпентановой кислоты [4], и впервые полученного нами хлорангидрида (I) 4-(п-нитрофенил)-пентановой кислоты [5] с 5-метокситриптамином и триптамином были получены и охарактеризованы 2'-(5-метоксииодил-3)-этиламид 4'-(п-нитрофенил)-пентановой кислоты (II) и 2'-(индолил-3)-этиламид 4'-фенилпентановой кислоты (III), соответственно. Циклизацией указанных амидов в условиях реакции Бишлера-Напиральского получены и охарактеризованы 6-метокси-1-/2'-(п-нитрофенил)бутил/-3,4, дигидро-β-карболин (IV) и 1-(2'-фенилбутил)-3,4-дигидро-β-карболин (VI). Восстановлением последних металлическим натрием в абсолютном этаноле выделены и охарактеризованы 6-метокси-1-(2'-п-нитрофенилбутил)-1,2,3,4-тетрагидро-β-карболин (VII) и 1-(2'-фенилбутил)-1,2,3,4-тетрагидро-β-карболин (VIII). Показано, что при этом нитро-группа в исходном соединении не затрачивается. В отличие от рассмотренного случая, при гидрировании соединения (IV) гидразин-гидратом в присутствии Ni-Ренея восстанавливается только нитро-группа и образуется 6-метокси-1-/2'-(аминофенил)бутил/-3,4-дигидро-β-карболин (V). Восстановление (V) металлическим натрием в абсолютном этаноле протекает гладко и приводит к образованию 6-метокси-1-/2'-(аминофенил)бутил/-1,2,3,4-тетрагидро-β-карболина (IX).



II, III



IV—VI



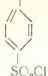
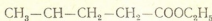
VII—IX

- II. R=OCH₃; Ar=п-NO₂·C₆H₄; III. R=H; Ar=C₆H₅;
 IV. R=OCH₃, Ar=п-HO₂·C₆H₄; V. R=OCH₃; Ar=п-NH₂·C₆H₄;
 VI. R=H, Ar=C₆H₅; VII. R=OCH₃, Ar=п-NO₂·C₆H₄;
 VIII. R=H, Ar=C₆H₅; IX. R=OCH₃, Ar=п-NH₂·C₆H₄

В ИК-спектрах соединений (II) и (III) наблюдается характеристическая полоса поглощения NH индольного кольца в области 3380 см⁻¹. Полосы поглощения в области 1650—1660 и 1530—1560 см⁻¹ характерны для амидной группы C=O (амид I и амид II, соответственно). Полоса поглощения при 3259 см⁻¹ указывает на присутствие NH амидной группы. В соединении (II) уширенная полоса поглощения в области 1650 см⁻¹ обусловлена перекрыванием полос поглощения нитро- и CO-амидной групп.

В ИК-спектрах β-карболинов (IV—VI) наблюдаются характеристические полосы поглощения C=N связи при 1640 и NH индольного кольца при 3370 см⁻¹. В спектре соединения (IV) наблюдаются также полосы поглощения в области 1590 и 1350 см⁻¹ (асимметричное и симметричное валентные колебания NO₂ группы). В соединении (V) полосы поглощения в области 3470 и 3410 см⁻¹ относятся к асимметричным и симметричным валентным колебаниям NH₂-группы. Как и следовало ожидать, в ИК-спектре тетрагидро-β-карболинов (VII—IX) отсутствует полоса поглощения C=N группы в области 1640 см⁻¹.

В данной работе впервые были получены также сульфонамидные производные 5-метокситриптамина и триптамина непосредственно их взаимодействием при комнатной температуре с этиловым эфиром 4-(п-сульфохлоридофенил)-пентановой кислоты [6]: этиловый эфир 4'-/п-2'-(5-метоксииндолил-3)-этилсульфонамидофенил/-пентановой кислоты (X) и этиловый эфир 4'/п-2'-(индолил-3)-этилсульфонамидофенил/-пентановой кислоты (XI). Омылением указанных эфиров (X) и (XI) концентрированной соляной кислотой при нагревании были выделены и охарактеризованы соответствующие кислоты (XII) и (XIII).



X. R=OCH₃, x=C₂H₅; XI. R=H, x=C₂H₅;

XII. R=OCH₃, x=H; XIII. R=H, x=H.

Строение соединений (X) и (XI) подтверждено данными элементного анализа ИК- и масс-спектрометрии. В ИК-спектрах (X) и (XI) наблюдаются полосы поглощения NH индольного кольца в области 3400 см⁻¹ и C=O сложноэфирной группы при 1725 см⁻¹. Полосы поглощения в области 1335 и 1165 см⁻¹ могут быть отнесены к асимметричным и симметричным валентным колебаниям C=O связи в сульфонамидной группировке. В ИК-спектрах соответствующих кислот (XII) и (XIII) появляется характеристическая уширененная полоса поглощения OH карбоксильной группы в области 3400—3500 см⁻¹.

ИК-спектры полученных соединений сняты на приборе «DS-301» в таблетках KBr. УФ-спектр — на приборе «Specord UV-ViS» в спирте. Спектры ПМР получены на спектрометре «Varian HA-100» с рабочей частотой 100 МГц, в растворе CDCl₃. Внутренним стандартом служил ГМДС (гексаметилдисилоксан). Масс-спектры — на приборе «МХ-1303». Частоту синтезированных соединений и ход реакций контролировали методом тонкослойной хроматографии на окиси алюминия в незакрепленном слое (II степени активности по Брокманну).

При кипячении 4-(п-нитрофенил)-пентановой кислоты [5] с хлористым тионилом (молярное соотношение 1:1,5) в сухом бензоле в течение 4—5 ч получен соответствующий хлорангидрид (I) с т. пл. 119—120°.

2'-(5-метоксииндолил-3)-этиламид 4'-(п-нитрофенил)-пентановой кислоты (II). К смеси 1 г 5-метокситриптамина в 20 мл бензола и 10 мл 0,5 N NaOH при комнатной температуре и перемешивании прибавляют 1,8 г 4-(п-нитрофенил)-пентановой кислоты (I) в 20 мл бензола. Затем смесь кипятят в течение 1 ч, охлаждают, подкисляют разбавленной соляной кислотой, экстрагируют хлороформом, промывают водой и сушат над Na₂SO₄. Растворитель упаривают, остаток растворяют в бензоле и наносят на колонку с окисью алюминия, последнюю элюируют бензолом. Бензол упаривают и получают 2 г (82%) соединения (II), т. пл. 38—41°; ИК-спектр (см⁻¹): 3420 (NH индольного кольца), 1650 (C=O, амид I), 1530 (C=O, амид II), 3320 (NH амиди.), 1350, 1680 (NO₂), 860 (CN в ArNO₂), 1220 (Ar—O—CH₃). Найдено, %: C 66.71; H 6.38; N 10.45; C₂₂H₂₅N₃O₄. Вычислено, %: C 66.83; H 6.32; N 10.63.

2'-(индолил-3)-этиламид 4-фенилпентановой кислоты (III). Получают из 3 г триптамина и 3,7 г хлорангидрида 4-фенилпентановой кис-

лоты [4] по аналогии с синтезом соединения (II). Выход 4.5 г (75%), т. пл. 85–86°. ИК-спектр (cm^{-1}): 3400 (NH индольного кольца), 1160 (C—O, амид I), 1560 (C—O, амид II). Найдено, %: C 78.71; H 7.55; N 8.60. $\text{C}_{21}\text{H}_{24}\text{N}_2$. Вычислено %: C 78.70; H 7.55; N 8.70.

6-метокси-1-(2'-п-нитрофенилбутил)-3,4-дигидро- β -карболин (IV). К раствору 1 г амида (II) в 50 мл сухого бензола прибавляют 2.25 мл POCl_3 и реакционную массу кипятят в течение 1 ч. Растворитель упаривают, сухой остаток растворяют в небольшом количестве ледяной уксусной кислоты и кипятят на водяной бане в течение 30 мин. Затем горячий раствор фильтруют, при охлаждении добавляют 25%-ный водный раствор аммиака и образовавшуюся суспензию экстрагируют хлороформом, экстракт промывают водой и сушат над Na_2SO_4 . Растворитель упаривают и получают 0.85 г (90%) соединения (IV), т. пл. 107–110° (бензол — петролейный эфир). ИК-спектр (cm^{-1}): 3410 (NH индольного кольца), 1590, 1390 (NO_2), 1640 (C=N), 860 (C—N в Ar— NO_2), 1220 (Ar—O—CH₃). УФ-спектр λ_{max} , нм (lg ϵ): 276 (3.96). Спектр ПМР (в CDCl_3 , δ, м. д.): 7.94 (d, протоны у Ar— NO_2 , 2H), 7.4–6.6 (m, аромат. протоны, 2H), 3.84 (c, CH_3O —Ar, 3H), 2.7 (m, CH_3 —CH и CH_2 —C=N, 3H), 1.9 (m, CH_2 группа в шестичленном цикле и CH_2 —CH₂—CH, 6H), 1.2 (d, CH_3 —CH, 3H). Найдено, %: C 69.92; H 6.21; N 10.95. $\text{C}_{22}\text{H}_{23}\text{N}_3\text{O}_3$. Вычислено, %: C 70.02; H 6.10; N 11.14.

1-(2'-фенилбутил)-3,4-дигидро- β -карболин (VI).

Получают из 1 г амида (III) по аналогии с синтезом соединения (IV). Выход 0.75 г (80%), т. пл. 110–112°. ИК-спектр (cm^{-1}): 3400 (NH индольного кольца), 1640 (C=N).

Найдено, %: C 83.11; H 7.55; N 8.84. $\text{C}_{12}\text{H}_{22}\text{N}_2$. Вычислено, %: C 83.40; H 7.33; N 9.20.

6-метокси-1-(2-(п-аминофенил)-бутил)-3,4-дигидро- β -карболин (V). К раствору 1 г соединения (IV) в 30 мл абсолютного спирта при перемешивании прибавляют гидразин-гидрат, так чтобы температура не превышала 30°. Затем перемешивание прекращают и прибавляют 2 г Ni-Ренея. Реакционную массу нагревают при 70–80° в течение 1 ч. Горячий раствор декантируют, обрабатывают активированным углем, фильтруют и растворитель упаривают. Получают 0.55 г (60%) соединения (V), т. пл. 115–119°. ИК-спектр (cm^{-1}): 3470, 3410 (NH₂), (C=N), 1175 (C—N, Ar—NH₂), 1220 (Ar—O—CH₃). УФ-спектр λ_{max} , нм (lg ϵ): 300 (3.89). Спектр ПМР (в CDCl_3 , δ, м. д.): 7.1–6.4 (m, ароматические протоны, 4H), 3.86 (c, CH_3O —Ar, 3H), 2.9–3.3 (c, Ar—NH₂, 2H), 2.5–2.9 (m, CH_3 —CH и CH_2 —C=N, 3H), 1.9 (m, CH_2 —CH₂—CH и CH_2 в шестичленном кольце, 6H), 1.2 (d, CH_3 —CH, 3H). Найдено, %: C 73.31; H 7.41; N 12.13. $\text{C}_{22}\text{H}_{25}\text{N}_3\text{O}$. Вычислено, %: C 73.19; H 7.20; N 12.09.

6-метокси-1-(2-п-нитрофенилбутил)-1,2,3,4-тетрагидро- β -карболин (VII). К раствору 0.5 г соединения (IV) в 30 мл абсолютного этанола прибавляют 0.8 г металлического натрия и кипятят в течение 30 мин. Затем раствор охлаждают, прибавляют 30 мл дистиллированной воды и концентрируют в вакууме водоструйного насоса. Продукт экстрагируют эфиром, промывают водой и сушат над прокаленным поташом. Получают 0.25 г (45%) соединения (VII), т. пл. 119–122° (этил-ацетат). ИК-спектр (cm^{-1}): 3400 (NH индольного кольца), 1620, 1343 (SO_2), 1220 (Ar—O—CH₃). УФ-спектры λ_{max} , нм (lg ϵ): 280 (3.96). Найдено, %: C 69.72; H 6.41; N 10.92. $\text{C}_{22}\text{H}_{25}\text{N}_3\text{O}_5$. Вычислено, %: C 69.65; H 6.59; N 11.07.

1-(2'-фенилбутил)-1,2,3,4-тетрагидро- β -карболин (VIII).

Получают из 0.5 г соединения (VI) по аналогии с синтезом соединения (VII).

Выход 0.28 г (56%), т. пл. 56—58°. ИК-спектр (см^{-1}): 3400 (NH индольного кольца).

Найдено, %: C 82.87; H 7.35; N 8.77. $\text{C}_{21}\text{H}_{23}\text{N}_2$. Вычислено, %: C 69.65; H 7.64; N 9.20.

6-метокси-1-/2-(п-аминофенил)-бутил/-1,2,3,4-тетрагидро- β -карболин (IX).

Получают из 0.3 г соединения (V) по аналогии с синтезом соединения (VII).

Выход 0.2 г (66%), т. пл. 125—126° (этилацетат). ИК-спектр (см^{-1}): 3400 (NH индольного кольца), 3480, 3420 (NH₂), 1220 (Ar—O—CH₃).

Найдено, %: C 75.15; H 7.58; N 11.95. $\text{C}_{22}\text{H}_{27}\text{N}_3\text{O}$. Вычислено, %: C 75.35; H 7.76; N 12.03.

Этиловый эфир 4'-/п-2'-(5-метоксииндолил-3)-этилсульфонамидофенил/-пентановой кислоты (X).

К раствору 2 г 5-метокситриптамина в 25 мл сухого ацетона и 1 г триэтиламина при комнатной температуре и перемешивании добавляют 3 г этилового эфира 4-(п-сульфохлоридофенил)-пентановой кислоты [6]. Реакционную массу перемешивают в течение 4 ч, фильтруют, растворитель упаривают, остаток растворяют в хлорформе, промывают водой и сушат над Na_2SO_4 . Затем растворитель упаривают, полученное маслообразное вещество растворяют в бензole и наносят на колонку с окисью алюминия, последнюю элюируют бензолом. Бензол упаривают и получают 3 г (70%) соединения (X), т. пл. 48—50°. ИК-спектр (см^{-1}): 3400 (NH индольного кольца), 1725 (C=O сложноЭфири.), 1335, 1165 (S=O), 3325 (NH амидн.), 1100 (C—O—C), 1220 (Ar—O—CH₃).

Найдено, %: C 62.38; H 6.45; N 6.03; S 6.78; M 458 (масс-спектрометрически). $\text{C}_{24}\text{H}_{30}\text{N}_2\text{O}_5\text{S}$. Вычислено, %: C 62.44; H 6.34; N 6.12; S 6.98.

Этиловый эфир 4'/п-2'-(индолил-3)-этилсульфонамидофенил/-пентановой кислоты (XI).

Получают из 1.8 г триптамина и 3.5 г этилового эфира 4-(п-сульфохлоридофенил)-пентановой кислоты [6] по аналогии с синтезом соединения (X). Выход 2.5 г (61%), т. пл. 91—92° (спирт). ИК-спектр (см^{-1}): 3380 (NH индольного кольца), 1730 (C=O сложноЭфири.), 1320, 1161 (S=O), 3300 (NH амидн.), 1185 (C—O—C).

Найдено, %: C 64.54; H 6.51; N 6.3; M 428 (масс-спектрометрически). $\text{C}_{23}\text{H}_{28}\text{N}_2\text{O}_4\text{S}$. Вычислено, %: C 64.45; H 6.58; N 6.53.

4-/п-2-(5-метоксииндолил-3)-этилсульфонамидофенил/-пентановая кислота (XII).

Смесь 2 г эфира (X) и 30 мл концентрированной соляной кислоты нагревают в течение 8 ч до 80°. Получают 1.4 г (78%) соединения (XII), т. пл. 150—152° (ацетон-вода). ИК-спектр (см^{-1}): 3380 (NH индольного кольца), 1605 (C—O, амид I), 1500 (C—O, амид II), 1325, 1160 (S=O), 1712, 1725 (C=O карбоксильн.), 3500 (O—H), 3350 (NH амидн.).

Найдено, %: C 61.47; H 6.20; N 6.41; S 7.51. $\text{C}_{22}\text{H}_{26}\text{N}_2\text{O}_5\text{S}$.

Вычислено, %: C 61.39; H 6.04; N 6.50; S 7.44.

4'-/п-2'-(индолил-3)-этилсульфонамидофенил/-пентановая кислота (XIII).

Получают из 1.4 г эфира (XI) по аналогии с синтезом соединения (XII).

Выход 0.75 г (58 %), т. пл. 170—172°. ИК-спектр (см^{-1}): 3380 (NH ин-

дольного кольца, 3320 (NH амиди.), (OH), 1325, 1160 (S=O)
1715 (C=O карбоксильн.).
Найдено, %: C 62.89; H 6.45; N 7.22. C₂₁H₂₄N₂O₄S. Вычислено
C 62.97; H 6.05; N 6.99.

Институт экспериментальной и клинической хирургии

им. К. Д. Эристави МЗ ГССР

Грузинский политехнический институт

им. В. И. Ленина

Поступило 14.III.1979

Х. Аладидзе, Л. Талашвили, Г. Абазиашвили, Л. Чубинидзе, Н. Аладидзе

Изучение физико-химических свойств и биологическая активность
4-фенил-2-метил-5-оксопент-2-ена

Р е ш е н и е

Найдено, что 4-фенил-2-метил-5-оксопент-2-ен обладает выраженной антиоксидантной активностью. Структурные формулы соединений, изученных в настоящей работе, приведены на рисунке 1.

На рисунке 1 изображены структурные формулы 4-фенил-2-метил-5-оксопент-2-ена (1), 4-(3-фенил-2-метил-5-оксопент-2-ена) (2), 4-(3-фенил-2-метил-5-оксопент-2-ена)-2-метилпропионата (3), 4-(3-фенил-2-метил-5-оксопент-2-ена)-2-метилбутаноата (4), 4-(3-фенил-2-метил-5-оксопент-2-ена)-2-метилбутирата (5), 4-(3-фенил-2-метил-5-оксопент-2-ена)-2-метиласпартата (6), 4-(3-фенил-2-метил-5-оксопент-2-ена)-2-метиласпартат-2-иминогидрат (7), 4-(3-фенил-2-метил-5-оксопент-2-ена)-2-метиласпартат-2-иминогидрат-2-натрия (8), 4-(3-фенил-2-метил-5-оксопент-2-ена)-2-метиласпартат-2-иминогидрат-2-натрия-2-кальция (9), 4-(3-фенил-2-метил-5-оксопент-2-ена)-2-метиласпартат-2-иминогидрат-2-натрия-2-кальция-2-аммония (10), 4-(3-фенил-2-метил-5-оксопент-2-ена)-2-метиласпартат-2-иминогидрат-2-натрия-2-кальция-2-аммония-2-магния (11), 4-(3-фенил-2-метил-5-оксопент-2-ена)-2-метиласпартат-2-иминогидрат-2-натрия-2-кальция-2-магния-2-аммония (12).

Соединение 1 обладает выраженной антиоксидантной активностью, что подтверждается результатами изучения его физико-химических свойств и биологической активности.



SYNTHESIS OF SOME NEW ANALOGUES OF MELATONIN AND
 β -CARBOLENE ON THE BASIS OF 4-PHENYL-PENTANOIC
ACID

Summary

Previously we described the synthesis of a number of new fatty aromatic derivatives and β -carbolene involving those with sulphonamide groups in the aromatic nucleus of aralkyl fragment. It was shown that some of them have antiblastomastic activity.

To study the influence of different functional groups on the physiological activity the synthesis of new nitro-, amino-, and desmethoxy analogues of the above-mentioned compounds was of interest. 2'-(5-methoxyindolyl-3)-ethylamide 4'-(p-nitrophenyl)-pentanoic acid and 2'-(indolyl-3)-ethylamide 4-phenyl-pentanoic acid were obtained and characterized in the reaction of interaction of chloroanhydrides 4(p-nitrophenyl)-pentanoic and 4-phenyl pentanoic acids with 5-methoxytriptamine and triptamine. 6-methoxy-1/2'-(n-nitrophenyl)-butyl/-3,4-dihydro- β -carboline and 1/2 phenyl butyl/-3,4-dihydro- β -carboline were obtained and characterized by cyclization of the above-mentioned amides under the conditions of Bishler-Napiralski reaction. At their reduction 6-methoxy-1/2'-(p-aminophenyl) butyl/-3,4-dihydro- β -carboline and 6-methoxy-1/2'-(p-aminophenyl) butyl/-1,2,3,4-tetrahydro- β -carboline were isolated.

In this work sulphonamide derivatives of 5-methoxytriptamin and triptamin were synthesized for the first time by the interaction of the latter with ethyl ester 4-(p-sulphochloridophenyl)-pentanoic acid at room temperature. Saponification of the latter by concentrated hydrochloric acid at heating the 4'/-p-2'-(methoxyindolyl-3)-ethylsulphonamido-phenyl/-pentanoic acid and 4-/p-2'-(indolyl-3)-ethyl-sulphonaminophenyl/-pentanoic acid were isolated and characterized.

The structure of all synthesized compounds was established on the basis of data of element analysis and spectroscopic studies.

СОДЕРЖАНИЕ — ЛИТЕРАТУРА — REFERENCES

1. Лагидзе Д. Р., Талаквадзе Л. Я., Цулукидзе Л. А., Лагидзе Р. М. Известия АН ГССР, сер. хим. I, 2, 157 (1975).
2. Лагидзе Д. Р., Талаквадзе Л. Я., Лагидзе Р. М. Сообщения АН ГССР, 80, (1975).
3. Лагидзе Д. Р., Талаквадзе Л. Я., Лагидзе Р. М. Химия гетероциклических соединений, 12, 1648 (1977).
4. Лагидзе Д. Р., Санкидзе Н. С., Малацидзе Ю. Л. Сообщения АН ГССР, 57, 2 (1970).
5. Colonge J., Fichet E. Bull. soc. chem. France. 414 (1955).
6. Лагидзе Д. Р., Талаквадзе Л. Я. Сообщения АН ГССР. 72, 1 (1973).

УДК 678.684

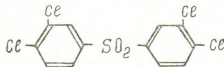
Л. А. БЕРИДЗЕ, М. К. КУТАТЕЛАДЗЕ, Г. Ш. ПАПАВА

АРОМАТИЧЕСКИЕ ПОЛИАРИЛЕНСУЛЬФОНОКСИДЫ НА ОСНОВЕ 3,3¹, 4,4¹-ТЕТРАХЛОРДИФЕНИЛСУЛЬФОНА

Ароматические полиариленсульфоноксиды—сравнительно новый, но перспективный класс поликонденсационных полимеров, благодаря комплексу ценных свойств находящий применение в качестве конструкционных и пленочных материалов в электротехнике, электронике, авиационной и автомобильной промышленности.

Известны [1—3] ароматические полиариленсульфоноксиды, содержащие карбовые заместители норборнанового типа и дифенилсульфоновые группировки, характеризующиеся высокой термо- и хемостойкостью, растворимостью в органических растворителях.

С целью повышения огнестойкости ароматических полиариленсульфоноксидов синтезированы полимеры на основе бисфенолов с карбовыми группировками норборнана и 3,3¹, 4,4¹-тетрахлордифенилсульфона.



Для синтеза использованы бисфенолы: 4,4¹-(2-норборнилиден)-дифенол, 4,4¹-(гексагидро-4,7-метилениндан-5-илиден)дифенол, 4,4¹-(декагидро-1,4-экзо-5,8-эндо, диметиленнафт-2-илиден)дифенол, 4,4¹-(2-норборнилиден)ди-о-крезол, 4,4¹-(гексагидро-, 4,7-метилениндан-5-илиден)ди-о-крезол, 4,4¹-(декагидро-, 1,4-экзо-5,8-эндо, диметиленнафт-2-илиден)ди-о-крезол.

Полимеры имеют общую формулу:

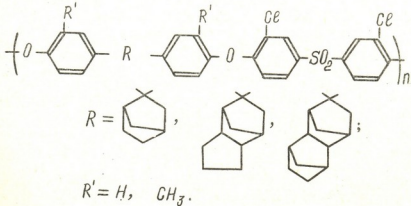


Таблица 1

Свойства ароматических полизиремексульфоноксидов на основе 3,3',4,4'-тетраклор-
дифенилсульфона и бисфенолов с карбоновыми группировками типа порборнина

R	R'	Бисфенол	Весовая доля полимера, %	Элементный состав, %						Молекуляр- ная масса (определена методом секторас- семии)	пр. 0,5% раствора полимера в тетра- хлорете- не, дг/г	Температура размягчения, °С по тер- момехани- ческой кривой*	Температура 10 %-го увеличе- ния, °С	Температура разложе- ния, °С					
				Вычислено			Найдено												
				C	H	S+Cl	C	H	S+Cl										
	H	92	66,07	4,26	18,30	55,85	4,41	17,11	—	0,53	180—290	235	430	450—560					
	H	95	67,66	4,64	17,08	57,35	4,42	16,42	85000	0,86	295—320	240	430	400—600					
	H	95	68,68	4,77	16,53	58,29	4,16	15,32	—	0,68	300—320	245	—	—					
	CH ₃	91	67,00	4,74	17,43	56,78	4,79	17,12	41600	0,62	270—280	215	—	—					
	CH ₃	95	68,46	5,07	16,32	67,85	5,29	15,81	—	0,90	285—290	220	420	440—600					
	CH ₃	95	69,40	5,17	15,68	69,80	5,32	14,76	—	0,68	280—290	230	—	—					

* За температуру размягчения по термомеханической кривой прината температура, соответствующая 1/4 час прессования косательных к изломам кривой в области, где полимер выходит из текучее. Термомеханическая кривая снята при нагрузке на образец 0,8 кг/см² и скорости подъема температуры 3°/мин.

** Термогравиметрический анализ проводили на дериватографе системы Ф. Паулиса, И. Паулиса, Л. Эрдай на воздухе, скорость повышения температуры 4,5°/мин.

Полученные ароматические полиариленсульфоноксиды — белые порошкообразные вещества, по данным рентгенофазового анализа, обладают аморфной структурой.

Полиариленсульфоноксиды характеризуются высокой термостойкостью (табл. 1). 10%-ная потеря массы происходит при 420—430°C, интенсивное разложение начинается выше 450°C. При 560—600°C они полностью разрушаются без образования коксового остатка.

Полученные полиариленсульфоноксиды имеют более высокие температуры размягчения (220—245°C) по сравнению с полиариленсульфоноксидом на основе диана (температура размягчения 185°C [4]), теплостойкость повышается на 35—60°C, однако по сравнению с полиариленсульфоноксидами аналогичного строения, не содержащими в фениленовых ядрах в основной цепи макромолекулы атомы хлора, теплостойкость снижается на 20—25°C.

Синтезированные полимеры растворяются во многих органических растворителях: в хлороформе, дихлорэтане, метиленхлориде, тетрахлорэтане, трикрезоле, образуя из них прозрачные, прочные пленки. Однако по сравнению с полимерами на основе тех же бисфенолов и 4,4¹-дифторбензофенона, растворимость несколько ухудшается.

Огнестойкость полиариленсульфоноксидов

Таблица 2

Полиариленсульфоноксид на основе 4,4 ¹ -(гексагидро-4,7-метилендиндан-5-илиден) дифенола	Продолжительность самостоятельного горения, сек	Продолжительность тления, сек	Потеря массы, %
4,4 ¹ -дифтордифенилсульфона	8,8	нет	8,3
3,3 ¹ ,4,4 ¹ -тетрахлордифенилсульфона	1,2	нет	3,5

Полиариленсульфоноксиды на основе карбовых бисфенолов и 3,3¹, 4,4¹-тетрахлордифенилсульфона обладают повышенной огнестойкостью. Проведены сравнительные испытания огнестойкости последних и полиариленсульфоноксидов аналогичного строения, не содержащих в основной цепи макромолекулы атомы хлора (синтезированные нами ранее [2]). Испытания проводились на брусках (25×10×2 мм), отпрессованных при комнатной температуре и давлении 60—70 кг/см². Положение образца при испытании — вертикальное, газ — бытовой, высота пламени горелки — 35 мм. Образец погружен в пламя горелки на 10 мм. Температура пламени 800°, продолжительность действия — 12 сек. Данные испытаний приведены в табл. 2.

Полиариленсульфоноксид на основе 4,4¹-(гексагидро-4,7-метилендинан-5-илиден) дифенола и 4,4¹-дифтордифенилсульфона в пламени горит интенсивным коптящим пламенем; после удаления пламени продолжается самостоятельное горение с образованием дыма и копоти. Полисульфон на основе того же бисфенола и 3,3¹, 4,4¹-тетрахлордифенилсульфона горит коптящим пламенем. После удаления пламени затухает с небольшим дымовыделением.

Бисфенолы, используемые для получения полиариленсульфоноксидов, синтезированы по известной методике [5, 6].

В четырехгорную колбу, снаженную мешалкой с гидрозатвором, трубкой для ввода инертного газа, насадкой Вюрца с алонжем (с хлоркальциевой трубкой) и приемником, загружали 0,005 моля одно-

го из вышенназванных бисфеинолов или бис-*o*-крезолов, 3 мл диметилсульфоксида и 2,5 мл хлорбензола. Смесь нагревали до 90° и при 90° при стоянном барботировании аргона добавляли 0,80 г 50% раствора NaOH . Температуру реакционной смеси повышали до 150°, отгоняли азеотропную смесь воды и хлорбензола. При отгонке воды реакционная смесь приобретает вид суспензии. Добавляли 1,78 г (0,005 моль) 3,3¹, 4,4¹-тетрахлоридифенилсульфона. Температура поликонденсации — 180—185°C, продолжительность — 8 часов. По окончании процесса реакционную смесь разбавляли 40 мл хлороформа, полимер осаждали приливанием раствора в пятикратное количество серного эфира, отфильтровывали, промывали спиртом, водой, серным эфиром, сушили в вакуумном шкафу при температуре 100° в течение 8 часов. Выход полимера — 95% от теоретического.

Институт физической и органической химии
им. Г. Г. Меликишвили АН ГССР

Поступило 14.IX.1978

ଶ୍ରୀ ପାତ୍ରମାନ, ଶ୍ରୀ କର୍ମଚାରୀ ଏବଂ ଶ୍ରୀ ପାତ୍ରମାନ

არომატული კოლიანილესცელულობრივის 3, 3', 4, 4'-ტიტრაციული დანართის განხილვა

698030

მიღებულია არომატული პოლიარილენსულფონოქსიდები 3,3',4,4'-ტეტ-რაქლორდიფენილსულფონისა და ნორბორნანის ტიპის კარდული ჰგვფების შემცველი ბისფენოლების 4,4'-(2-ნორბორნილიდენ)-დიფენოლის, 4,4'-(ჰექსა-ჰიდრო, 4,7-მეთილენინდან-5-ილიდენ)დიფენოლის, 4,4'-(დეკაზიდრო, 1,4-ექ-ზო, 5,8-ენდო, დიმეთილენნაფტ-2-ილიდენ)დიფენოლის, 4,4'-(2-ნორბორნილი-დენ)დი-ო-კრეზოლის, 4,4'-(ჰექსაჰიდრო, 4,7-მეთილენინდან-5-ილიდენ)დი-ო-კრეზოლის, 4,4'-(დეკაზიდრო, 1,4-ექ-ზო, 5,8-ენდო, ლიმეთილენნაფტ-2-ილი-დენ)დი-ო-კრეზოლის საფუძველზე.

შესწავლილია სინთეზირებული არომატული პლლიარილებსულფონქსი-დების ფიზიკური სტრუქტურა, თბო- და თერმომდგრადობა, ხსნადობა ორგანულ გამხსნელებში, ცაცხლმდგრადობა.

სინოეზირებული პოლიმერები წარმოადგენენ ამორფულ ფხვნილებს, ადგილად იხსნებიან ხელმისაწვდომ ორგანულ გამხსნელებში, რის შედეგადაც იძლევიან გამჭვირვალე, მტკიცე აპკებს.

სინეზიურებული პოლიმერების გარშილების ტემპერატურა $\sim 35\text{--}60^\circ\text{C}$ -ით
მაღალია დიანის ბაზაზე მიღებულ პოლიმერთან შედარებით, მაგრამ $20\text{--}25^\circ\text{C}$ -
ით დაბალია, კიდრე ანალიგიური პოლიმერებისა, რომლებიც ძირითად ჯაჭვში
არ შეიცვალენ ქლორის ატომებს.

სინთეზირებული პოლიარილენსულფოქსიდები ხასიათდება მაღალი თერმომედცვით. წონაში კლებას პოლიმერი იწყებს $400-420^{\circ}\text{C}$ -ზე, ხოლო $560-600^{\circ}\text{C}$ მთლიანად იშლება კოქსის წარმოქმნის გარეშე.

პოლიმერები ხასიათდება მცლალი ფეცხლმდგრადობით.

AROMATIC POLYARYLENSULPHONOXIDES ON THE BASIS OF 3,3',4,4'-TETRACHLORDIPHENYLSULPHON

Summary

Aromatic polysulphons on the basis of 3,3',4,4'-tetrachlordinphenylsulphon and bisphenols with card groups of the norboran type: 4,4'-(2-norborniliden) diphenol, 4,4'-(hexahydro, -4,7-methylenindan-5-iliden) diphenol, 4,4'-(decahydro-1,4-exo, 5,8-endo, dimethylennaphth-2-iliden) diphenol, 4,4'-(2-norborniliden)-di-o-cresol, 4,4'-(hexahydro, 4,7-methylenindan-5-iliden) di-o-cresol, 4,4'-(decahydro, 1,4-exo, 5,8-endo, dimethylennaphth-2-iliden)-di-o-cresol, were synthesized.

The physical structure, heat- and thermoresistance, solubility in organic solvents, refractoriness of synthesized aromatic polyarylene sulphonoxides were studied.

Synthesized polymers are amorphous powders, readily dissolved in available organic solvents (in chloroform, dichlorethane, tetrachlorethane, cresols etc.), used to make transparent strong films.

Temperatures of softening are for synthesized polymers by 35—60°C higher than of those on the basis of dian, however, they are by 20—25°C lower than for the corresponding polymers not containing chlorine in their backbones.

Synthesized polyarylene sulphonoxides are characterized by high thermal stability. Polymer decrease in weight starts at 400—420°C and at 560—600°C it is completely destroyed without formation of coke residue.

Polymers have high refractoriness.

ЛІТЕРАТУРА — REFERENCES

1. Беридзе Л. А., Коршак В. В., Виноградов С. В., Кутателадзе М. К., Папава Г. Ш., Цискаришвили П. Д. Авт. свид. СССР. 503859, 1974; Бюлл. изобр. № 7, 1976.
2. Беридзе Л. А., Папава Г. Ш., Кутателадзе М. К., Цискаришвили П. Д. Известия АН ГССР, сер. хим., 2, 3, 227 (1976).
3. Папава Г. Ш., Беридзе Л. А., Кутателадзе М. К. Тезисы Международного симпозиума по макромолекулярной химии, Ташкент, 3, 53, 1978.
4. Аскадский А. А., Кочергин Ю. С., Рейтбурд Л. И., Салазкин С. Н., Семенкова А. Э., Бычко К. А. Пластические массы, 7, 50 (1976).
5. Jackson W., Caldwell I. R. Ind. Eng. Chem. Prod. Res. Devel., 2, 246 (1963).
6. Папава Г. Ш. Докторская диссертация, Тбилиси, 1975.



ФИЗИЧЕСКАЯ ХИМИЯ

УДК 536.7:536.75

И. С. ОМИАДЗЕ, А. А. НАДИРАДЗЕ, Д. Ш. ЦАГАРЕШВИЛИ,
Н. П. МГАЛОБЛИШВИЛИНОВАЯ ФОРМУЛА ДЛЯ РАСЧЕТА СТАНДАРТНЫХ ЭНТРОПИИ
ДВОЙНЫХ ОКСИДОВ

Двойные оксиды являются основой производства ряда важнейших материалов для радиоэлектроники, металлургии, атомной энергетики и других отраслей современной техники; при этом возможности их использования непрерывно расширяются. Данное обстоятельство обуславливает возросший интерес к исследованию термодинамических свойств, в частности, стандартной энтропии S_{298} называемых веществ. Однако экспериментальное определение этой термодинамической константы является операцией сложной и трудоемкой, вследствие чего накопленный к настоящему времени опытный материал по S_{298} двойных оксидов не удовлетворяет потребностей науки и техники. Поэтому важное значение приобретает разработка методов приближенной оценки с достаточной для практических целей точностью стандартных энтропий двойных оксидов.

Ранее [1] одним из авторов выведена формула для оценки с точностью $\pm 1-2$ кал/град.моль S_{298} двойных оксидов по их температурам плавления (T_m) и значениям S_{298} и T_m твердых оксидов-компонентов. В данной работе выводится аналогичная формула, позволяющая рассчитать (с точностью $\pm 1-2$ кал/град.моль) стандартную энтропию двойных оксидов, используя их плотности (ρ) и величины S_{298} и ρ оксидов-компонентов.

Двойные оксиды можно представить общей формулой $n_1A \cdot n_2B$, где под А и В подразумеваются твердые оксиды-компоненты, а n_1 и n_2 — стехиометрические коэффициенты.

Воспользуемся введенным ранее [1] понятием «парциальной» стандартной энтропии (S^n_{298}) оксида в соединении; оно позволяет выразить молярную энтропию (S_{298}) двойного оксида как сумму «парциальных» энтропий $S^n_{298}(A)$ и $S^n_{298}(B)$ оксидов-компонентов

$$S_{298} = n_1 S^n_{298}(A) + n_2 S^n_{298}(B). \quad (1)$$

На основании уравнения Н. А. Ландия [2] $S(\Theta/T) = 8,5$ (T — температура К, S -энтропия при T , Θ — дебаевская характеристическая температура) в [1] получено соотношение

$$S^n_{298} = S^c_{298} \frac{\Theta_c}{\Theta_n}, \quad (2)$$

где S_{298}^n и Θ_n — соответственно «парциальная» стандартная энтропия и «парциальная» дебаевская характеристическая температура оксида-компоненты в двойном оксиде, а S_{298}^e и Θ_e — стандартная энтропия дебаевская характеристическая температура оксида-компонента в свободном состоянии.

Ранее [1] для оценки отношения (Θ_e/Θ_n) использовалось приближение Керефа [3] $(\Theta_e/\Theta_n) = (T_m^e/T_m)^{1/2}$, где T_m^e — температура плавления оксида-компонента в свободном состоянии, а T_m — температура плавления двойного оксида. В данной работе сделана попытка отнести отношение (Θ_e/Θ_n) связать с (ρ_e/ρ) , где ρ_e — плотность оксида-компонента в свободном состоянии, а ρ — плотность двойного оксида. Воспользуемся известной формулой Эйнштейна [4], выражающей связь между частотой колебаний атомов (характерной для каждого твердого вещества) ν_s и изотермической сжимаемостью (β_s)

$$\nu_s = \frac{C V^{1/6}}{M^{1/2} \cdot \beta_s^{1/2}}, \quad (3)$$

где M — г-атомная масса, V — г-атомный объем твердого вещества, C — постоянная.

В [1] на основании модифицированного потенциала Борна-Майера и классической теории твердого тела выведено соотношение для расчета адабатической сжимаемости (β_s) ионных кристаллов при 298 К

$$\beta_s = \frac{3V}{\gamma^2 E}, \quad (4)$$

где γ — безразмерный параметр Грюнайзена [5], значение которого для различных ионных кристаллов (галогениды, оксиды) колеблется в пределах 1,0—2,0 [1]; E — г-атомная энергия сцепления ионных неорганических соединений.

При 298 К можно допустить, что $\beta_s = \beta_r$; тогда, комбинируя уравнения (3) и (4), получаем

$$\nu_s = C \frac{\gamma}{V^{1/3}} \left(\frac{E}{3M} \right)^{1/2}. \quad (5)$$

Взаимосвязь между эйнштейновской средней частотой ν_s и дебаевской максимальной частотой ν_m выражается соотношением [6]

$$\nu_s = \frac{3}{4} \nu_m. \quad (6)$$

Следовательно, подставляя (6) в (5) будем иметь

$$\nu_m = C \frac{4}{3} \frac{\gamma}{V^{1/3}} \left(\frac{E}{3M} \right)^{1/2}. \quad (7)$$

Дебаевская характеристическая температура Θ определяется соотношением [6]

$$\Theta = h \nu_m / k, \quad (8)$$

где h и k — соответственно постоянные Планка и Больцмана.

Учитывая (8), уравнению (7) можно придать вид

$$\Theta = \eta \frac{E^{1/2}}{M^{1/2} \cdot V^{1/3}},$$



где коэффициент $\eta = (16/27)^{1/2}(\hbar/k)C\gamma$ приблизительно постоянная величина для данного класса ионных неорганических соединений, так как значения γ для подобных веществ обычно колеблется в узких пределах ($\pm 15-20\%$) [1]. Следовательно, по известным Θ можно определить среднее значение η для различных классов ионных неорганических веществ и оценить по уравнению (9) неизвестные Θ по величинам E , M и V . Однако уравнение (9) вызывает интерес также и с другой точки зрения, в частности, тем, что оно позволяет решить поставленную выше задачу — найти взаимосвязь между отношениями (Θ_c/Θ_n) и (ρ_c/ρ) , используя при этом метод, описанный в [4]. С этой целью напишем уравнение (9) для оксидов А и В в свободном состоянии

$$\Theta_c = \eta \frac{E_c^{1/2}}{M_c^{1/2} \cdot V_c^{1/3}}, \quad (10)$$

где M_c , E_c и V_c — соответственно г-атомные значения массы, энергии сцепления и объема оксидов А и В в свободном состоянии.

Аналогично, для оксидов А и В в соединении $n_1A \cdot n_2B$ уравнение (9) будет иметь вид

$$\Theta_n = \eta \frac{E_n^{1/2}}{M_n^{1/2} \cdot V_n^{1/3}}, \quad (11)$$

где M_n , E_n и V_n — соответственно «парциальные» г-атомные значения массы, энергии сцепления и объема оксидов А и В в соединении $n_1A \cdot n_2B$.

Комбинируя уравнения (10) и (11), а также учитывая, что $M_c = M_n$, находим искомое выражение

$$\frac{\Theta_c}{\Theta_n} = \left(\frac{E_c}{E_n} \right)^{1/2} \left(\frac{V_n}{V_c} \right)^{1/3}. \quad (12)$$

Уравнение (12) легко упростить, если учесть, что плотность не является аддитивной величиной; поэтому можно написать, что $V_n = M_n/\rho$ и $V_c = M_c/\rho_c$; следовательно, так как $M_n = M_c$, получаем

$$\frac{V_n}{V_c} = \frac{\rho_c}{\rho}. \quad (13)$$

Молярная величина энергии сцепления E двойного оксида $n_1A \cdot n_2B$ может быть вычислена из следующего термохимического уравнения

$$E = n_1 E_c^A + n_2 E_c^B - \Delta H_{298}, \quad (14)$$

где E_c^A и E_c^B — соответственно молярная энергия сцепления оксидов А и В в свободном состоянии, а ΔH_{298} — молярная стандартная энталпия образования соединения $n_1A \cdot n_2B$ из оксидов А и В. Так как обычно $\Delta H_{298} \ll n_1 E_c^A + n_2 E_c^B$ (например, для $MgO \cdot Al_2O_3$ сумма $n_1 E_c^A + n_2 E_c^B = E_c(MgO) +$

Сопоставление вычисленных по уравнению (18) и экспериментальных значений стандартных энтропий для некоторых двойных оксидов

Двойные оксиды	S_{298}^A	S_{298}^B	ρ_A	ρ_B	ρ	S_{298} рас.	S_{298} экс.	Δ
				$\text{г}/\text{см}^3$				
	кал/град. моль	кал/град. моль	кал/град. моль	9				
1	2	3	4	5	6	7	8	9
CaO·MoO ₃	9,5	18,58	3,35	4,71	4,26	28,0	29,3	-1,3
BaO·MoO ₃	16,8	18,58	5,72	4,71	4,65	36,6	35,6	+1,0
PbO·MoO ₃	15,9	18,58	9,33	4,71	6,03	35,7	38,5	-2,8
Mg ₂ O·MoO ₃	6,45	18,58	3,58	4,71	2,21	31,5	28,4	+3,1
Na ₂ O·MoO ₃	17,94	18,58	2,27	4,71	3,28	36,8	38,1	-1,3
BeO·Al ₂ O ₃	3,37	12,17	3,01	3,99	3,70	15,6	15,8	-0,2
FeO·Al ₂ O ₃	14,05	12,17	5,7	3,99	4,26	27,4	25,4	+2,0
Mg ₂ O·Al ₂ O ₃	6,45	12,17	3,58	3,99	3,58	19,1	19,3	-0,2
Li ₂ O·Al ₂ O ₃	9,06	12,17	2,01	3,99	3,38	20,5	25,5	-5,0
3CaO·Al ₂ O ₃	9,5	12,17	3,35	3,59	3,00	43,0	49,1	-6,1
CaO·2Al ₂ O ₃	9,5	12,17	3,35	3,99	2,90	37,0	42,5	-5,5
CaO·Al ₂ O ₃	9,5	12,17	3,35	3,99	2,98	23,3	27,3	-4,0
CaO·TiO ₂	9,5	12,04	3,35	4,25	4,04	21,2	22,4	-1,2
FeO·TiO ₂	14,05	12,04	5,7	4,25	4,79	26,5	25,3	+1,2
MgO·TiO ₂	6,45	12,04	3,58	4,25	3,90	18,7	17,8	+0,9
BaO·TiO ₂	16,8	12,04	5,72	4,25	5,72	27,7	25,8	+1,9
2BaO·TiO ₂	16,8	12,04	5,72	4,25	5,19	46,0	47,0	-1,0
2ZnO·TiO ₂	10,43	12,04	5,68	4,25	5,12	32,9	34,2	-1,3
Al ₂ O ₃ ·TiO ₂	12,17	12,04	3,99	4,25	3,68	25,1	26,2	-1,1
Na ₂ O·3TiO ₂	17,94	12,04	2,27	4,25	3,43	54,4	55,9	-1,5
CaO·ZrO ₂	9,5	12,12	3,35	5,83	4,66	21,6	23,9	-2,3
BaO·ZrO ₂	16,8	12,12	5,72	5,83	6,33	28,0	29,8	-1,8
CaO·WO ₃	9,5	18,15	3,35	7,16	6,12	26,9	30,2	-3,3
SrO·WO ₃	13,0	18,15	4,7	7,16	6,19	30,9	28,3	+2,6
CoO·WO ₃	12,66	18,15	6,44	7,16	6,19	30,6	28,0	+2,6
FeO·WO ₃	14,05	18,15	5,70	7,16	7,52	30,7	31,5	-0,8
PbO·WO ₃	15,9	18,15	9,33	7,16	8,23	33,9	40,2	-6,3
Na ₂ O·WO ₃	17,94	18,15	2,27	7,16	4,18	36,4	38,5	-2,1
Mg ₂ O·WO ₃	6,45	18,15	3,58	7,16	5,66	25,2	24,2	+1,0
Mi ₂ O·WO ₃	14,27	18,15	5,37	7,16	7,23	31,0	32,3	-1,3
2Na ₂ O·SiO ₂	17,94	9,88	2,27	2,65	2,50	44,8	46,8	-2,0
Na ₂ O·SiO ₂	17,94	9,88	2,27	2,65	2,40	27,8	27,2	+0,6
2BeO·SiO ₂	3,37	9,88	3,01	2,65	2,96	16,3	15,4	+0,9
2MgO·SiO ₂	6,45	9,88	3,58	2,65	3,22	22,6	22,7	-0,1
2CaO·SiO ₂ (3)	9,5	9,88	3,35	2,65	3,34	28,2	30,5	-2,3
2CaO·SiO ₂ (a)	9,5	9,88	3,35	2,65	2,94	29,4	28,8	+0,6
CaO·SiO ₂ (γ)	9,5	9,88	3,35	2,65	2,90	19,6	20,9	-1,3
CaO·SiO ₂ (β)	9,5	9,88	3,35	2,65	2,91	19,5	19,6	-0,1
2BaO·SiO ₂	16,8	9,88	5,72	2,65	5,21	42,6	42,1	+0,5
2BaO·3SiO ₂	16,8	9,88	5,72	2,65	3,93	64,1	61,7	+2,4
BaO·SiO ₂	16,8	9,88	5,72	2,65	4,40	26,7	26,2	+0,5
BaO·2SiO ₂	16,8	9,88	5,72	2,65	3,73	37,0	35,6	+0,4
CdO·SiO ₂	13,1	9,88	8,15	2,65	4,93	23,5	23,3	+0,2
2CeO·SiO ₂	12,66	9,88	6,45	2,65	4,63	35,5	37,9	-1,4
2FeO·SiO ₂	14,05	9,88	5,70	2,65	4,34	39,2	34,7	+4,5
PbO·SiO ₂	15,9	9,88	9,33	2,65	6,49	25,3	26,2	-0,9
2ZnO·SiO ₂	10,43	9,88	5,68	2,65	4,25	31,4	31,4	0
Al ₂ O ₃ ·SiO ₂ (I)	12,17	9,88	3,99	2,65	3,14	22,5	22,3	+0,2
Al ₂ O ₃ ·SiO ₂ (II)	12,17	9,88	3,99	2,65	3,67	21,4	22,0	-0,6
Al ₂ O ₃ ·SiO ₂ (III)	12,17	9,88	3,99	2,65	3,25	22,3	23,0	-0,7
3Al ₂ O ₃ ·2SiO ₂	12,17	9,88	3,99	2,65	3,17	58,0	60,8	-2,8
ZrO ₂ ·SiO ₂	12,12	9,88	5,83	2,65	4,56	21,4	20,2	-1,2
2MnO·SiO ₂	14,27	9,88	5,37	2,65	4,15	39,6	39,0	+0,6
MnO·SiO ₂	14,27	9,88	5,37	2,65	3,71	25,0	21,3	+3,7
SrO·SiO ₂	13,0	9,88	4,7	2,65	3,65	23,0	23,1	-0,1
FeO·Fe ₂ O ₃	14,05	20,89	5,70	5,27	5,21	35,5	35,0	+0,5

1	2	3	4	5	6	7	8	9
$\text{NiO} \cdot \text{Fe}_2\text{O}_3$	9,08	20,89	6,67	5,27	5,17	30,9	31,5	-0,6
$\text{Na}_2\text{O} \cdot \text{Fe}_2\text{O}_3$	17,94	20,89	2,27	5,27	3,36	40,0	42,2	-2,2
$\text{CuO} \cdot \text{Fe}_2\text{O}_3$	10,19	20,83	6,51	5,27	5,28	31,8	33,7	-1,9
$\text{MgO} \cdot \text{Fe}_2\text{O}_3$	6,45	20,89	3,58	5,27	4,50	28,0	29,6	-1,6
$\text{ZnO} \cdot \text{Fe}_2\text{O}_3$	10,43	20,89	5,68	5,27	5,33	31,5	32,2	-0,7
$2\text{CaO} \cdot \text{Fe}_2\text{O}_3$	9,5	20,89	3,35	5,27	4,53	39,2	45,1	-5,9
$\text{CaO} \cdot \text{Fe}_2\text{O}_3$	9,5	20,89	3,35	5,27	5,08	29,4	34,7	-5,3
$\text{CoO} \cdot \text{Fe}_2\text{O}_3$	12,66	20,89	6,44	5,27	5,50	33,9	32,2	+1,7
$\text{FeO} \cdot \text{Cr}_2\text{O}_3$	14,05	19,40	5,7	5,25	4,97	34,5	34,9	-0,4
$\text{MgO} \cdot \text{Cr}_2\text{O}_3$	6,45	19,40	3,58	5,25	4,60	26,2	25,3	+0,9
$\text{BaO} \cdot \text{SeO}_3$	16,8	17,3	5,72	3,6	4,75	33,6	31,8	+1,8
$\text{PbO} \cdot \text{SeO}_3$	15,9	17,3	9,3	3,6	6,37	32,4	34,0	-1,6
$\text{Na}_2\text{O} \cdot \text{B}_2\text{O}_3$	17,91	12,91	2,27	2,46	1,81	33,6	35,1	-1,5
$\text{Na}_2\text{O} \cdot 2\text{B}_2\text{O}_3$	17,94	12,91	2,27	2,46	2,37	43,8	45,3	-1,5

$+ E_c(\text{Al}_2\text{O}_3) = 944$ [1] + 3707 [1] = 4651 ккал/моль, тогда как ΔH_{298} образования $\text{MgO} \cdot \text{Al}_2\text{O}_3$ из MgO и Al_2O_3 равна всего лишь -6,0 ккал/моль [7], оправдано допущение, что энергия сцепления двойного оксида является аддитивной величиной, т. е. ее значение можно вычислить суммированием энергий сцепления оксидов А и В. Следовательно, вполне реальной является аппроксимация

$$E_c \cong E_a. \quad (15)$$

Учитывая (13) и (15), уравнению (12) окончательно можно придать следующий вид

$$\frac{\Theta_c}{\Theta_a} = \left(\frac{\rho_c}{\rho} \right)^{1/3}. \quad (16)$$

Подставляя (16) в (2) находим

$$S_{298}^u = S_{298}^c \left(\frac{\rho_c}{\rho} \right)^{1/3}. \quad (17)$$

На основании соотношений (1) и (17) для оценки стандартной энтропии (S_{298}) двойных оксидов типа $n_1\text{A} \cdot n_2\text{B}$ получаем формулу

$$S_{298} = n_1 S_{298}^A \left(\frac{\rho_A}{\rho} \right)^{1/3} + n_2 S_{298}^B \left(\frac{\rho_B}{\rho} \right)^{1/3}, \quad (18)$$

где S_{298}^A и S_{298}^B — молярные значения стандартной энтропии оксидов А и В, а ρ_A и ρ_B — их плотности при 298 К; ρ — плотность двойного оксида при 298 К.

В таблице 1 сопоставлены вычисленные по формуле (18) и экспериментальные значения стандартной энтропии некоторых двойных оксидов-мolibдатов, алюминатов, титанатов, цирконатов, вольфраматов, силикатов, ферритов, хроматов, селенатов и боратов. Под Δ обозначена разность $\Delta = S_{298}^{\text{расч.}} - S_{298}^{\text{эксп.}}$, а под I, II, III — различные формы $\text{Al}_2\text{O}_3 \cdot \text{SiO}_2$ (соответственно андалузит, кианит и силиманит). Стандартные энтропии S_{298}^{A} , S_{298}^{B} и S_{298}^{C} (эксп.) брались из справочников [8—10], а плотности ρ_A , ρ_B и ρ_C — из [8, 11—13].

Как видно из табл. I, для большинства рассмотренных оксидов погрешность расчета их стандартных энтропий по уравнению (18) составляет $\pm 1-2$ кал/град. моль, и лишь для нескольких соединений она превышает ± 3 кал/град. моль. Следовательно, по формуле (18) получаются вполне удовлетворительные значения стандартных энтропий двойных оксидов.

Институт металловедения им. 50-летия СССР АН ГССР

Поступало 3 VIII 1978

0. *manuscript*, 1. *epigraphy*, 2. *archaeology*, 3. *ethnography*, 4. *linguistics*, 5. *anthropology*

ასალი უორენია მრავალი კაციდაგის სტაციარტული
ეპილოგიზე გააჩვენებისას

Digitized by srujanika@gmail.com

ორმაგ ოქსიდალი „პარცუალური“ სტანდარტული ენტროპიის ცნების, პარმონიულ ჩხევათა სიხშირის ეინშტეინის განტოლებისა და მყარი სხეულის კლასიკური თეორიის შედეგების გამოყენებით მიღებულია ახალი ფორმულა $n_1 A \cdot n_2 B$ ტიპის ორმაგი ოქსიდაბის (A და B — მყარი იონებიდან-კომპლექსია, ხოლო n_1 და n_2 — სტექიომეტრიული კოეფიციენტები) სტანდარტული ენტროპიების (S_{std}) განვარიშებისათვის

$$S_{298} = n_1 S_{298}^A \left(\frac{\rho_A}{\rho} \right)^{1/3} + n_2 S_{298} \left(\frac{\rho}{\rho_A} \right)^{1/3},$$

სხვადასხვა ორმაგი ოქსიდების სტანდარტული ენტროპიების გაანგარიშებული და ექსპერიმენტული (თანამად თანმედროვე ცნობარების მონაცემებისა) სიღირეების ერთმანეთთან შედარებით ნაჩვენებია, რომ მიღებული ფორმულა საშუალებას გვაძლევს შევაფასოთ ორმაგი ოქსიდების S₂₉₈-ის უცნობ მნიშვნელობები $\pm 1-2$ კალ/გრად. მოლი ცდომილებით, რაც საესებით მისალებია ქიმიური რეაქციების ორმოდინამიკური პარამეტრების დამაკაყოფილებელი სიზუსტით გაანგარიშებისათვის.

A NEW FORMULA FOR CALCULATIONS OF STANDARD ENTROPIES OF DOUBLE OXIDES

Summary

Using the idea on «partial» standard entropy of oxide in double oxide, Einstein's equation for the frequency of harmonic oscillations and results of the classical theory of solids, a new formula has been obtained for calculations of the standard entropy (S_{298}) of double oxides of the type $n_1A \cdot n_2B$ (A and B are solid oxides—components and n_1 and n_2 are stoichiometric coefficients)

$$S_{298} = n_1 S_{298}^A \left(\frac{\rho_A}{\rho} \right)^{1/3} + n_2 S_{298}^B \left(\frac{\rho_B}{\rho} \right)^{1/3}$$

where S_{298}^A , S_{298}^B , ρ_A and ρ_B are standard entropies and densities of the oxides A and B, respectively, and ρ is the density of double oxide.

It is shown by means of comparison of calculated and experimental (according to data of the current reference books) values of the standard entropies of double oxides that the proposed formula permits to estimate unknown values of S_{298} for double oxides with the error of $\pm 1-2$ cal/degree mole, the latter being quite acceptable for the calculation of thermodynamical parameters of chemical reactions with a sufficient accuracy.

ლიტერატურა — REFERENCES

- Цагарейшвили Д. Ш. Методы расчета термических и упругих свойств кристаллических неорганических веществ. «Мецнериба», Тбилиси, 1977.
- Ландия Н. А. Расчет высокотемпературных темплоемкостей твердых неорганических веществ по стандартной энтропии, АН ГССР, Тбилиси, 1962.
- Einstein A. Ann. Phys., 34, 170 (1911); 35, 679 (1911).
- Kögel F. Phys. Zeitschr., 13, 183 (1912).
- Grüneisen E. Hand. d. Phys., 10, 1, (1926).
- Мельвин-Хьюз Э. А. Физическая химия, книга I, ИЛ, М., 1962.
- Kubaschewski O., Evans E. L., Alcock C. B. Metallurgical Thermochemistry, London, 1967.
- Наумов Г. В., Рыженко Б. Н., Ходаковский И. Л. Справочник термодинамических величин, Атомиздат, М., 1971.
- Kubaschewski O. High Temp.—High Pressures, 4, 1, (1972).
- Киреев В. А. Методы практических расчетов в термодинамике химических реакций, «Химия», М., 1975.
- Справочник химика, том 2, «Химия», Л.-М., 1964.
- Handbook of Chemistry and Physics, 48th ed., Ed. R. C. Weast, CRC, Cleveland, Ohio, 1967—1968.
- Торопов Н. А., Барзаковский В. П., Лапин В. В., Куриева Н. Н. Диаграммы состояния силикатных систем. Справочник, выпуск I, «Наука», Л., 1969.



УДК 541.127

Л. Б. АДЕИШВИЛИ, Е. А. МАЧАРАШВИЛИ, Г. Ш. КУТАТЕЛАДЗЕ,
Л. А. ЛОРТКИПАНИДЗЕ, Ф. Т. ТОДРИЯ

ИЗУЧЕНИЕ СТАБИЛЬНОСТИ ХИНОЦИДА

Стабильность лекарственного соединения можно определить как его способность в течение определенного периода времени (срок годности) отвечать качественным и количественным требованиям, предъявляемым технической документацией или фармакопеей.

Проблема стабильности лекарственных средств не нова, однако до последнего времени ее изучение ограничивалось констатацией определенных качественных изменений препаратов (появление окраски раствора, выпадение осадка и т. д.).

Решение проблемы стабильности, по нашему мнению, может быть ускорено за счет применения современных физико-химических методов (спектроскопия, хроматография, полярография и т. д.) для оценки качества лекарственных веществ, а также путем использования принципов кинетики в изучении стабильности препаратов.

В доступной нам литературе, а также в современных фармакопеях, мы не нашли методов контроля чистоты хиноцида, нет объективных методов его количественного определения, отсутствуют и систематические исследования в области изучения процесса его разложения. Поэтому мы поставили задачу изучить современными физико-химическими методами стабильность хиноцида.

С этой целью нами ранее были изучены УФ- и ИК-спектры хиноцида, разработаны методики его количественного определения спектрофотометрическим методом и исследована возможность применения УФ- и ИК-спектроскопии в сочетании с тонкослойной хроматографией (ТСХ) для оценки качества хиноцида [1, 2].

Стабильность хиноцида была проверена нами методом «ускоренного старения» в соответствии с ОСТ 42-2-72 [3, 4].

В качестве терmostатирующего устройства использовали «Аппарат для свертывания крови» — АСИС, позволяющий автоматически поддерживать заданную температуру экспериментального хранения в течение всего опыта с точностью $\pm 1^\circ$.

Для исследования был взят хиноцид серии 201175 и 100276. Образцы хранились в банках из оранжевого стекла по МРТУ 42 № 5031-63 с пластмассовой крышкой по МРТУ № 5032-63.

Температурами экспериментального хранения (t_s) мы избрали $t_{s(1)} = 60^\circ\text{C}$ и $t_{s(2)} = 80^\circ\text{C}$ в соответствии с «Условиями проведения работ по методу «ускоренного старения»» [3].

Показатели качества хиноцида в процессе «ускоренного старения» определяли через 11 суток (при 60°C) и через 69 часов (при 80°C), которые эквивалентны шести месяцам хранения при обычных для хиноцида условиях [3].

Наблюдения за качеством изучаемых образцов хиноцида проводили по показателям, предусмотренным Государственной фармако-

Результаты последовательности стабильности химикала по Государственной фармакопее X издания



пей X издания (ГФ-Х) и по разработанным нами методам УФ- и ИК-спектроскопии, а также тонкослойной хроматографии [1, 2, 3].

Результаты исследования стабильности хиноцида по Государственной фармакопее X издания приведены в таблице 1.

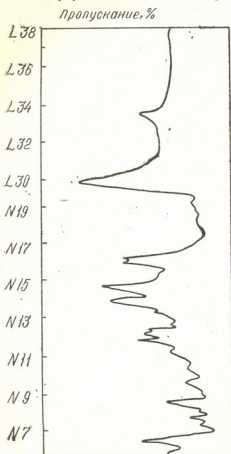


Рис. 1. ИК-спектр неразложенного хиноцида

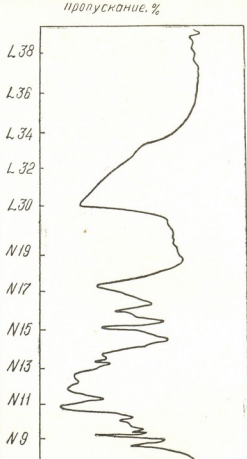


Рис. 2. ИК-спектр разложенного хиноцида

Методом ГФ-Х [5] нам не удалось установить факт разложения препарата. Однако дополнительные методы (УФ- и ИК-спектроскопия в сочетании с ТСХ) позволили обнаружить частичное разложение препарата. Установлено, что в процессе хранения при повышенной температуре произошли изменения в УФ- и ИК-спектрах хиноцида, что указывает на частичное разложение препарата. УФ- и ИК-спектры приведены на рис. 1—3.

Разложение препарата подтверждается и тонкослойной хроматографией. Хроматографирование хиноцида проводили по разработанной нами методике: на пластинки «Silufol» (9x15) наносили 30 мкг хиноцида. В качестве системы растворителей употребляли н-бутанол-муравьиная кислота-вода (23:12:15). Способ разделения: хроматография восходящая, одномерная, камера насыщенная. Обнаружение: раствором бихромата калия. Хроматограммы неразложенного и разложенного хиноцида приведены на рис. 4. Как видно из рисунка, при хроматографировании неразложенного хиноцида обнаруживаются два

пятна; основное пятно с $R_f=0,27$ и дополнительное пятно примеси с $R_f=0,36$. На хроматограмме разложенного хиноцида наблюдается появление новых пятен с $R_f=0$ и $R_f=0,14$. Кроме того, наблюдается уменьшение основного пятна. Судя по характеру окрашивания (ко-

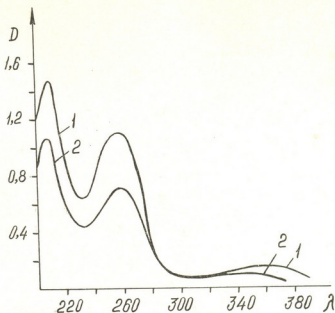


Рис. 3. УФ-спектр хиноцида: I. неразложенного, II. разложенного

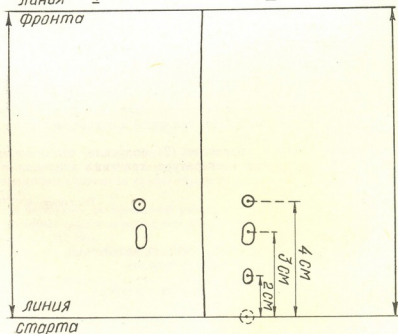


Рис. 4. Хроматограмма хиноцида: I. неразложенного, II. разложенного

ричневое пятно), примеси с $R_f = 0,14$ и $R_f = 0,36$, можно отнести к яро-
изводным хинолина. Чувствительность определения хиноцида при
проявлении бихроматом калия — 2 мкг.

По положению пятен на хроматограмме можно предположить,
что разрушение препарата идет по тому же типу реакции, что и при
естественном хранении, и природа примесей аналогична (близка) в
обоих случаях. Это может лишний раз подтвердить справедливость
выбора метода «ускоренного старения».

На основании полученных результатов мы установили, что экспе-
риментальный срок годности (C_9) хиноцида при 60°C равен 136
суткам, а при 80°C — 35 суткам.

Расчет срока годности при 20°C (C_{20}°) производился по уравнению:

$$C_{20}^\circ = K \cdot C_9 + C_0, \quad (1) \quad [3]$$

где C_9 — экспериментальный срок годности при повышенной тем-
пературе t_9 , выраженный в сутках (или в часах);

K — коэффициент соответствия, который при $t_{(1)} = 60^\circ\text{C}$ ра-
вен 16, а при $t_{(2)} = 80^\circ\text{C}$ равен 64;

C_0 — промежуток времени между датой изготовления лекарствен-
ного средства и началом экспериментального хранения. В
данном случае $C_0 = 730$ суткам.

Подставляя цифровые значения в уравнение (1) при 60°C и 80°C ,
а потом находя среднее значение срока годности (C_{20}°), мы вычислили
срок годности хиноцида при 20°C .

$$C_1 = (136 \cdot 16) + 730 = 2906 \text{ сут. } (K = 16) \text{ при } 60^\circ\text{C}$$

$$C_2 = (35 \cdot 64) + 730 = 2970 \text{ сут. } (K = 64) \text{ при } 80^\circ\text{C}$$

$$C_{20}^\circ = (2906 + 2970)/2 = 2938 \text{ сут.} = 8 \text{ лет } 18 \text{ сут.}$$

Максимальную теоретически допустимую температуру хранения
($t_{\max, \text{ доп.}}$), т. е. температуру, при которой срок годности лекарствен-
ного средства равен трем годам, мы вычислили по уравнению:

$$t_{\max, \text{ доп.}} = 20^\circ + \frac{10}{\lg 2} \cdot \lg \frac{C_{20}^\circ}{3 \cdot 365}, \quad (2)$$

где 3.365 — трехгодичный срок годности, выраженный в сутках;

C_{20}° — срок годности при 20° , выраженный в сутках, в данном слу-
чае он равен 2938 сут.

Подставляя значение в уравнение (2) получили, что максималь-
ная теоретически допустимая температура хранения хиноцида равна
 34°C .

Государственный медицинский
институт, г. Тбилиси

Поступило 6.VI.1978

ლ. ადგივაზიძე, ქ. მაკარავაშვილი, თ. ჯუთათოლაძე,
ლ. ლორთქიშვილი, ვ. თოდერია

აინტერნ. სახალ. ურთის ფილატლა

რეზიუმე

შენახვის ექსპერიმენტულ ტემპერატურაზე 60 და 80°C „დაჩქარებული
დაძველების“ მეთოდით შესწავლითა ქიმიციდის სტაბილურობა.



60°C-ზე შენახული ქინოციდის ხარისხზე დაკვირვებას ვაჭარმოებდით ყოველ 11 დღელაშემზღვით, ხოლო 80°C შენახულზე ყველ 69 საათში, X ფარმაციული პერიოდის და ჩვენს მიერ შემუშავებული ულტრაიისფერი და ინფრაწითელი სპექტრომეტრული, აგრეთვე თხელფენოვანი ქრომატოგრაფიული შეთოდებით. დროის ეს პერიოდები შეესაბამება ნორმალურ პირობებში შენახვის 6 თვეს.

შენახვის პროცესში პრეპარატმა განიცადა ცვლილებები, რამაც საშუალება მოვდა გვიფიქრა პრეპარატის ნაწილობრივ დაშლაშე. შრომაში მოცემულია დაშლილი და დაუშლელი ქინოციდის ულტრაიისფერი და ინფრაწითელი სპექტრები. აგრეთვე თხელფენოვანი ქრომატოგრაფია. მიღებული შეჯეგბის საფუძველზე ჩვენ დავადგინეთ, რომ 20°C-ზე ქინოციდი ინახება 8 წელი, მაქსამალური თეორიულად დასაშვები შენახვის ტემპერატურაა 34°C.

L. V. ADEISHVILI, E. A. MACHARASHVILI, G. SH. KUTATELADZE,

L. A. LORTKIPANIDZE, F. T. TODRIYA

STUDIES OF QUINOCIDE STABILITY

Summary

Quinocide stability has been studied using the method of «accelerated ageing» at the temperatures of experimental storage of 60° and 80°C.

Observations of the quality of the studied samples of quinocide were carried out according to the indices of the State pharmacopeia (the Xth edition) and using the developed by us methods of UV-IR-spectroscopy and TSH, in 11 days (at 60°C) and in 69 hours (at 80°C) equivalent to six months of storage under the conditions usual for quinocide.

In the process of storage changes occurred permitting to judge on a partial decomposition of the preparation. IR- and UV-spectra and TLC for indecomposed and decomposed quinocide are given.

It is established on the basis of the obtained results that quinocide is fit for use at 20°C for 8 years.

The maximum theoretically permitted temperature of storage is 34°C.

ЛІТЕРАТУРА — REFERENCES

1. Адешвили Л. В. Автореферат кандидатской диссертации, Тбилиси (1972).
2. Адешвили Л. В., Кутателадзе Г. Ш., Лорткипаниձ լ. Ա. Материалы симпозиума «Хроматографические методы в фармации», Тбилиси, 99, 1977.
3. Временная инструкция по проведению работ с целью определения сроков годности лекарственных средств на основе метода «ускоренного старения» при повышенной температуре, М., 1974.
4. ОСТ 42-2-72. Лекарственные средства. Порядок установления сроков годности, М., (1974).
5. Государственная фармакопея СССР. Издание X., изд. «Медицина», М., 178, 1968.
6. Информационное письмо № 223 март. Отдел информации ГАПУ Минздрава Грузинской ССР, Тбилиси, 86, 1976.

УДК 547.677+543.42

Т. Н. БОЛОТНИКОВА, Т. А. ТЕПЛИЦКАЯ, А. В. РОМАНОВ,
Н. Н. СХИРТЛАДЗЕТОНКОСТРУКТУРНЫЕ СПЕКТРЫ ЛЮМИНЕСЦЕНЦИИ
АРИЛАДАМАНТАНОВ

Впервые полученные в условиях эффекта Шпольского тонкоструктурные спектры люминесценции ариладамантанов продемонстрированы на примере пяти молекул этого класса соединений: 1-нафтил-1-адамантан (I), 7-β-метилнафтил-1-адамантан (II), 1-дифенил-1-адамантан (III), 2-фенантрил-1-адамантан (IV), 2-флуоренил-1-адамантан (V). Спектры этих соединений были рассмотрены авторами в статьях [1, 2]. Необходимость этой работы вызвана некоторыми неточностями, допущенными при напечатании работ [1, 2].

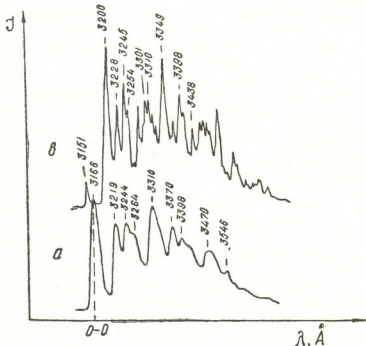


Рис. 1. Микрофотограмма спектров флуоресценции 1-нафтил-1-адамантана (а) и нафтилина (в) в н-пентане, $T=77.3^{\circ}\text{K}$, $C=10^{-4}$ моль/л (ИСП-28, ИФО-451)

Как видно из представленных микрофотограмм (рис. 1—5), спектры ариладамантанов имеют большое сходство со спектрами излучения соответствующих арильных фрагментов. Наиболее развитые про-

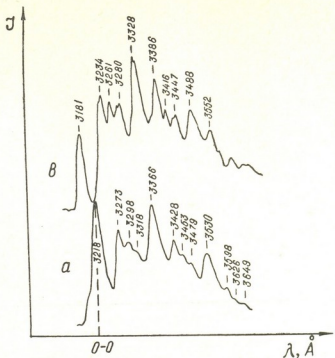
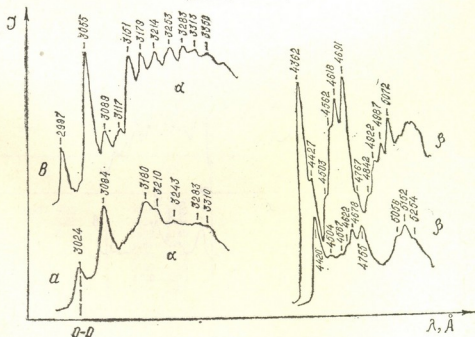


Рис. 2. Микрофотограмма спектров флуоресценции 7- β -метилнафтил-1-адамантана (а) и β -метилнафталина (в) в н-гексане, $T=77,3^{\circ}\text{K}$, $C=10^{-4}$ моль/л (ИСП-28, ИФО-451)



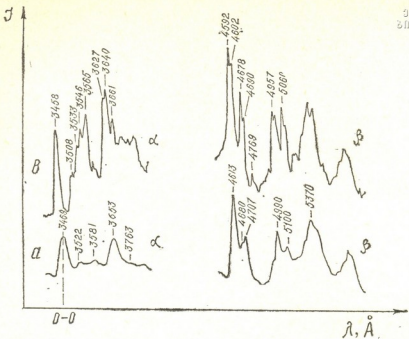


Рис. 4. Микрофотограмма спектров флуоресценции (а) и фосфоресценции (б) 2-фенантрил-1-адамантана (а) и фенантрена (в) в и-гексане, $T=77,3^{\circ}\text{K}$, $C=10^{-4}$ моль/л(ИСП-28, ИФО-451)

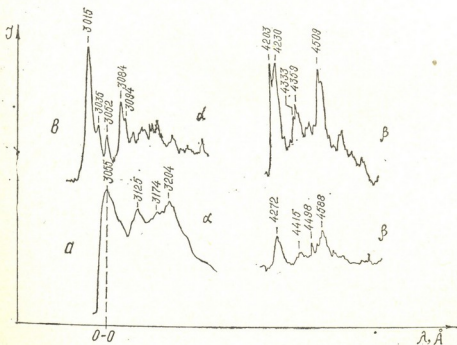


Рис. 5. Микрофотограмма спектров флуоресценции (а) и фосфоресценции (б) 2-флуоренил-1-адамантана (а) и флуорена (в) в и-гептане, $T=77,3^{\circ}\text{K}$, $C=10^{-4}$ моль/л (ИСП-28, ИФО-451)

трессии вибронных полос образованы частотами колебаний, близкими по своим значениям соответствующим частотам аренов (табл. II). Различие пределение интенсивности в спектрах ариладамантанов мало отличается от распределения интенсивности в спектрах соответствующих арильных фрагментов.

Однако присоединение молекулы адамантана к ароматическому ядру не могло не сказаться на спектре вновь полученного соединения. Все спектры люминесценции и фосфоресценции ариладамантанов имеют батохромный сдвиг по сравнению со спектром соответствующих аренов и некоторое перераспределение интенсивностей в линиях-аналогах (рис. 1—5). Последнее связано, вероятно, с изменением симметрии молекулы при присоединении к ней молекулы адамантана. Так, например, у 1-нафтил-1-адамантана $S_1 - S_0$ переход очень интенсивен и сдвиг-

Таблица I

Сравнение некоторых частот нормальных колебаний молекул ариладамантанов и соответствующих аренов

ПЕРЕХОДЫ (Å)		ЧАСТОТЫ (см^{-1})		$\Delta\nu, \text{см}^{-1}$
H	НАд	H	НАд	
3151—3200	3166—3219+	495	519	+24
3151—3228	3166—3244+	757	759	+2
3151—3245	3166—3264+	927	948	+21
3151—3254	3166—3273+	495+517(1012)	1022	+10
3151—3282	3166—3291	495+772(1267)	1199	-68
3151—3310	3166—3320	764 2 (1528)	1464	-64
3151—3321	3166—3328	1625	1537	-88
3151—3329	3166—3339	927+774(1701)	1635	-66
3151—3349	3166—3370+	495+1385(1880)	1911	+31
3151—3398	3166—3418+	927+1386(2313)	2327	+14
$\beta\text{МН}$		$\beta\text{МНАд}$		
3181—3234	3218—3273*	515	522	+7
3181—3261	3218—3298	770	753	-17
3181—3328	3218—3366*	1387	1366	-21
3181—3386	3218—3428*	515+1387(1902)	1903	+1
3181—3416	3218—3453	770+1387(2157)	2114	-43
3181—3488	3218—3530	1387 · 2 (2774)	2745	-29
3181—3552	3218—3598	515+2 · 1387(3289)	3281	-8
Д		ДАд		
2997—3015	3024—3040	195	175	-21
2997—3055	3024—3084	630	643	+13
3055—3151	3084—3180	1000	979	-21
3055—3179	3084—3210	1275	1272	-3
3055—3214	3084—3242	1615	1589	-26
3151—3253	3180—3283	340	986	-14
4362—4427	4420—4504	720	422	+82
4362—4503	4420—4567	1000	828	+108
4362—4562	4420—4622	1000	988	-12
4362—4618	4420—4678	1270	1247	-23
4362—4691	4420—4755	1605	1593	-12
4691—5072	4755—5152	1605	1620	+15

ФЛ	ФЛАд	ФЛ	ФЛАд	ФЛАд
3015—3035	3055—3071	220	171	—49
3015—3052	3055—3093	408	402	—6
3015—3084	3055—3125	740	733	—7
3015—3094	3055—3142	850	906	+56
3015—3156	3055—3204	2,740(1480)	1522	+42
3015—3168,8	3055—3213	1600	1609	+9
ФН	ФНАд	ФН	ФНАд	
3458—3508	3469—3522	312	434	+22
3458—3508	3469—3548	614	642	+28
3458—3546	3469—3561	717	745	+28
3458—3565	3469—3581	868	902	+34
3458—3661	3469—3675	1603	1616	+13

* 2—я последовательность линий в спектре, имеющая некоторое смещение по отношению к первой (не обозначенной звёздочкой).

* линия является аналогом первой компоненты соответствующего дублета в спектре β -метилнафтилина, аналог второй линии в спектре 7- β -метилнафтил-1-адамантана не найден.

Н—нафтилин, ВМН— β -метилнафтилин, Д—дифенил, ФН—фенантрен, ФЛ—флуорен, Ад—адамантан.

иут на 151 см^{-1} в длинноволновую сторону по сравнению с весьма слабым (0—0) переходом спектра люминесценции нафтилина.

Таблица 2
Некоторые аналитические линии спектров возбуждения
флуоресценции ариладамантанов

НАд (Å)	ВМНА (Å)	ДАд (Å)	ФНАд (Å)	ФЛАд (Å)
318	323	260	348	305
304	315		332	289
287	308		300	270
275	296		272	
	285			
	277			

Спектры ариладамантанов более размыты, чем спектры аренов. Причиной этого может быть как однородное, так и неоднородное уширение, так как при присоединении молекулы адамантана к ароматическому ядру вновь полученная молекула имеет, во-первых, гораздо

больший линейный размер, во-вторых, из плоской превращается в объемную. Окончательно вопрос об уширении спектров арилладамантанов пока не ясен.

По предварительным данным интенсивность люминесценции и фосфоресценции ариладамантанов меньше, чем интенсивность люминесценции и фосфоресценции соответствующих аренов. Относительная интенсивность фосфоресценции по сравнению с люминесценцией у соединений III и V меньше, а у соединения IV больше, чем у соответствующего арильного фрагмента.

Приведенные квазилинейчатые спектры, их особенности, характерные аналитические линии спектров люминесценции и фосфоресценции [3] и спектров возбуждения флуоресценции (табл. II) позволяют проводить индивидуальное определение ариладамантанов в случае нахождения последних в нефтях или техногенных смесях.

Московский государственный университет.

Московский государственный педагогический

чнитут им. В. И. Ленина

Поступило 4.XI.1978

ტ. ბოლოთისი, ტ. ტევლიცხაძე, ქ. რომანოვი, გ. სეირტლაპე

არის ადამიანთა ერთობლივი და უფრო უძველესი კულტურული მემკვიდრეობის განვითარების სამსახური

ՀԱՅՈՒԹՅՈՒՆ

პირველად არის შესწავლილი 1-ნაფტილ-1-ადამანტანის, 7-ბ-მეთილ-ნაფტილ-1-ადამანტანის, 1-დიფენილ-1-ადამანტანის, 2-ფენანტრიოლ-1-ადამანტანის და 2-ფლუორენილ-1-ადამანტანის ლუმინესცენციის ქვაზინაზოვანი სპექტრები ნ-პარაონინგბის სსნარებში (77°K).

არილადამანტანების გამოსხივების სპექტრული დიდ მსგავსებას ავლენენ შესაბამის არომატულ ნახშირწყალბათუების სპექტრულზომა.

აღამანტანის მოლექულის მცერთებას არომატული ნახშირწყალბადის ბირთვთან არ შეიძლებოდა გავლენა არ მოეხდინა ახლადმიღებული ნერთის სპექტრზე. არილადამანტანების ლუმინესცენციისა და ფოსფორესცენციის კველა სპექტრს აქვს ბატოქტომული წანაცვლება შესაბამის არომატულ ნახშირწყალბადებთან შედარებით.

არილადამანტანების სპექტრები უფრო დიფუზურია, ვიდრე არომატული ნახშირწყალიანებისა.

არილადამანტანების ლუმინესცენციისა და ფოსფორესცენციის ინტენსივობა ნაკლებია, ვიზუალურა შესაბამისი არომატული ნახშირულყაობათვისა.

თითოეული საკვლევი ნაერთისათვის შეტჩეულია ოპტიმალური გამხსნელი და ჩიტარებულია სპექტრების რხევითი ანალიზი. ღადგენილია, რომ ადამიანის სპექტრებს ძველ ბატონერობული წანაცვლება შესაბამის არომატულ ნახშირწყალბადების სპექტრებთან შედარებით და ხასიათდებიან ფურიო დიფუზური ხაზებით. ამავე დროს შეიმჩნევა ზოგიერთი ინტენსივობების გადანწილება სუფთა ელექტრონულ და რხევით გადასცლებს შორის.

FINE STRUCTURE SPECTRA OF ARYLA DAMANTAN
LUMINESCENCE

S u m m a r y

First were studied under the conditions of the Shpolski effect fine structure spectra of luminescence of the following aryladamantans: 1-naphthyl-1-adamantan, 7- β -methylnaphthyl-1-adamantan, 1-diphenyl-1-adamantan, 2-phenanthril-1-adamantan and 2-fluorhenil-1-adamantan in n-paraffin hydrocarbons at the nitrogen boiling point (77°K).

Spectra of aryladamantans have a great resemblance with those of the corresponding aryl fragments.

However, addition of adamantane molecules to an aromatic nucleus could not influence the spectrum of the again obtained compound. All spectra of luminescence and phosphorescence of aryladamantans have a bathochromic shift in comparison with the spectrum of the corresponding arenes and some redistribution of intensities in the lines—analogue.

Spectra of aryladamantans are more diffuse than those of arenes.

- The intensity of luminescence and phosphorescence of aryladamantans is lower than that of the corresponding arenes.

An optimum solvent has been found for each of the studied compounds and a vibration analysis of spectra has been made. It is established that spectra of aryladamantans have the bathochromic shift in comparison with spectra of the corresponding arenes and their lines are more diffusive. Simultaneously some redistribution of intensities between purely electronical and vibrational transitions is observed.

ԱՌԵՋԱՑՄԱՆ — ԼԻՏԵՐԱՏՈՒՐԱ — REFERENCES

1. Теплицкая Т. А., Романов А. В., Болотникова Т. Н., Схиртладзе Н. Н. Сообщения АН ГССР, 82, 3, 633 (1978).
2. Теплицкая Т. А., Романов А. В., Болотникова Т. Н., Схиртладзе Н. Н. Сообщения АН ГССР, 83, 2, 361 (1979).
3. Теплицкая Т. А., Схиртладзе Н. Н., Романов А. В., Болотникова Т. Н. Сообщения АН ГССР, 93, 3, 717 (1979).

အစ္မအစ္မ ၁၀၆၀၁

1980, T. 6, № 3

СЕРИЯ

四庫全書

УДК 666.112

А. В. САРУХАНИШВИЛИ, Т. Ш. ЧЕЧИШВИЛИ, И. А. КОЧИНАШВИЛИ,
Д. В. ХУРОШВИЛИ, М. Б. КУТАТЕЛАДЗЕ

НЕКОТОРЫЕ СВОЙСТВА ЧЕТЫРЕХКОМПОНЕНТНЫХ МАРГАНЦЕВЫХ СТЕКОЛ

Ранее было показано, что марганецсодержащие стекла обнаруживают склонность образовывать при низкотемпературной обработке ирризирующие пленки на поверхности [1, 2]. Изучение природы этих пленок показало, что состав их может быть представлен как нестехиометрическое соединение типа Mn_5O_8 , придающее поверхностным слоям стекол повышенную проводимость [3].

Наиболее интенсивное образование ирригирующих пленок идет в литиево-марганцевых боратных стеклах, а как следствие этого, именно они обладают наименьшими значениями $\lg \rho_s$ (ρ_s — поверхностное электросопротивление).

Целью настоящей работы являлось изучение изменения ряда физико-химических свойств, и в первую очередь $\lg p_s$, при переходе от боратных стекол к силикатным.

Помимо теоретического интереса (стекла системы $\text{Li}_2\text{O}-\text{MnO}-\text{B}_2\text{O}_3-\text{SiO}_2$ не изучены) преследовалась и важная практическая цель — заменить довольно дефицитный компонент (B_2O_3) на менее дефицитный (SiO_2) при получении поверхности проводящих стекол.

Представляемые в настоящей работе результаты являются частью систематического исследования четырехкомпонентной системы $\text{Li}_2\text{O}-\text{MnO}-\text{B}_2\text{O}_3-\text{SiO}_2$, где функциональная зависимость между четырьмя исходными компонентами (Li_2O , MnO , B_2O_3 и SiO_2) представлена графической моделью трехмерного пространства (рис. 1). В концентрационном тетраэдре проведены две плоскости уровня $\beta=40$ мол.% MnO — плоскость, параллельная плоскости $\text{SiO}_2-\text{B}_2\text{O}_3-\text{Li}_2\text{O}$ и $\Psi=10$ мол.% Li_2O — параллельная плоскости $\text{SiO}_2-\text{MnO}-\text{B}_2\text{O}_3$. Рассматриваемые нами составы стекол располагаются на линии СД пересечения этих плоскостей и могут быть представлены следующей химической формулой $\text{Li}_2\text{O} \cdot 4\text{MnO} \cdot (5-x)\text{B}_2\text{O}_3 \cdot x\text{SiO}_2$.

Нами были изучены поверхностное и объемное электросопротивление, коэффициент термического расширения в различных температурных интервалах, тангенс угла диэлектрических потерь, т. е. пара-

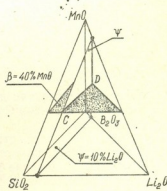


Рис. 1. Графическая модель трехмерного пространства для изображения стекол серии $\text{Li}_2\text{O} \cdot 4 \text{ MnO} \cdot (5-x) \text{ B}_2\text{O}_3 \cdot x \text{ SiO}_4$ (линия СД)

метры, определяющие в основном использование стекол при изготовлении интегральных схем.

Результаты исследований представлены на рис. 2 и 3, где ~~изображены~~ грамме составов по оси у добавлены свойства стекол.

В силу этого, диаграмма состояния сопоставляется четырехмерному пространству. Координатные оси Ox и Oy изображаются в плоской модели совпавшими. Вследствие этого аксонометрическую систему Oztx можно рассмотреть, как две совмещенные трехмерные аксонометрии Oztx и Ozty.

Стекла варились в фарфоровых неглазурованных тиглях при температуре 1200—1300°C в течение 1,5 часа и отжигались при температурах на 50—60°C ниже температуры стеклования. Методы исследования не отличались от таковых, представленных в [2, 4].

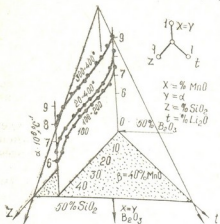


Рис. 2. Зависимость коэффициента теплового расширения стекол серии $\text{Li}_2\text{O} \cdot 4\text{MnO} \cdot (5-x)\text{B}_2\text{O}_3 \cdot x\text{SiO}_2$ от состава и температурного интервала

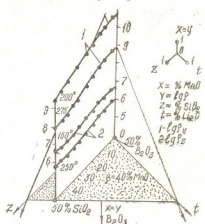


Рис. 3. Объемная и поверхностная прородимость стекол серии $\text{Li}_2\text{O} \cdot 4\text{MnO} \cdot (5-x)\text{B}_2\text{O}_3 \cdot x\text{SiO}_2$

Изучение зависимости удлинения стекол от температуры показало, что для них наблюдаются аномальные изменения, замеченные нами ранее для марганецодержащих боратных стекол [1, 2]. Поэтому на рис. 2 представлены значения коэффициентов теплового расширения (α), рассчитанные как для двух прямолинейных участков в интервале температур 100—200°C и 300—400°C, так и с учетом перегиба в интервале 20—400°C.

Введение в базовое стекло состава $\text{Li}_2\text{O} \cdot 4\text{MnO} \cdot 5\text{B}_2\text{O}_3$ двуокиси кремния взамен B_2O_3 приводит к снижению α , причем наиболее чувствительно влияет введение SiO_2 до 5 мол.%. При содержании SiO_2 от 5 до 40 мол. % значения α мало изменяются и лишь дальнейшее увеличение содержания этого компонента, вплоть до состава $\text{Li}_2\text{O} \cdot 4\text{MnO} \cdot 5\text{SiO}_2$, приводит к снижению значений α .

Наблюдаемые нами закономерности, полученные экспериментальным путем для стекол серии $\text{Li}_2\text{O} \cdot 4\text{MnO} \cdot (5-x)\text{B}_2\text{O}_3 \cdot x\text{SiO}_2$ ($x=0 \div 5$), невозможно объяснить известными данными по влиянию B_2O_3 или SiO_2 на тепловое расширение стекол [5, 6]. По-видимому, аномальные изменения предопределются изменением структуры стекла и вызваны заменой одного стеклообразователя (B_2O_3) другим (SiO_2).

Замена B_2O_3 на SiO_2 вызывает и снижение электросопротивления стекол изученной серии. Изменение значений $\lg p_v$ от состава, которые для температур 200 и 275°C представлены на рис. 3, носит плав-

ный характер, причем стекло с содержанием 50 мол.% B_2O_3 имеет значение сопротивления почти на два порядка выше, чем стекло с 50 мол.% SiO_2 .

При температуре 100°C стекла исследуемой серии имеют высокие значения сопротивления $\lg \rho_v = 11-13$, а значения $\operatorname{tg}\delta = 80-140 \cdot 10^{-4}$.

Изучение поверхностной проводимости стекол проводилось на образцах с ирризирующими пленками, наведенными термообработкой ($t=400^\circ C$, $\tau=5$ час). Тенденция к росту проводимости при замене B_2O_3 на SiO_2 наблюдается и в этом случае (рис. 3). Однако полная замена B_2O_3 на SiO_2 отражается на поверхностной проводимости не столь существенно в сравнении с объемным сопротивлением.

Важной характеристикой, определяющей возможность использования подобных материалов в электронике, является также изменение силы тока (при $U=\text{const}$) со временем. Испытания, проведенные для ряда термообработанных стекол, показывают, что спадение тока со временем на поверхности таких стекол наблюдается лишь в течение первых 1,5—2 час.

Таким образом, изучение стекол серии $Li_2O \cdot MnO \cdot (5-x) B_2O_3 : x SiO_2$ показало, что они обладают способностью образовывать ирризирующие пленки, обладающие низким значением электросопротивления, имеют высокие значения объемного сопротивления, приемлемые значения $\operatorname{tg}\delta$ и химической стойкости (0,4—0,6% потерь в кипящей воде в течение 1 часа), что позволяет рекомендовать их для изготовления резистивных элементов.

Грузинский политехнический институт
им. В. И. Ленина

Поступило 2.IV.1979

ა. სარუბალიშვილი, თ. გიოვანიშვილი, ი. კოჩინავალი
დ. ხუროვალი, გ. ჯათათელაძე

ამნაციის ზომები მოთავარებისათვის მიერა ზოგიერთი თავისება

რეზიუმე

შესწავლითი ბორატული მინიდან სილიკატურ მინაზე გადასცვლის გავლენა მინისა და მისი ზედაპირის ფიზიკურ-ქიმიურ თვისებებზე. გამოკვლეულია $SiO_2 - B_2O_3 - MnO - Li_2O$ სისტემის მინები, რომელთა კომპონენტებს შორის არსებული ფუნქციონალური დამოკიდებულება წარმოდგნილია სამგანზომოლებიანი სიცრტის გრაფიკული მოდელით.

მოყვანილია მოცულობითი და ზედაპირული ელექტროგამტარობის, თბური გაფართოების, დიფუზური დანაკარგების, დენის მუდმივობის, ქიმიური მდგრადობის შესწავლის შედეგები.

დადგნილია, რომ B_2O_3 -ის სრული შენაცვლება SiO_2 -თ იწვევს მოცულობითი ელექტროგამტარობის ზრდას ორი რიგით და თერმული გაფართოების კოეფიციენტის შემცირებას, რაც მიგვითოვებს მინის სტრუქტურის ცვლილებაზე, რომელიც გამოწვეულია ერთი მინისტარმომქმნელი კომპონენტის შეცვლით მეორეთი.

შესწავლის მინებს გააჩნიათ დაბალი ზედაპირული წინაღობა, რაც საშუალებას იძლევა გამოვიყენოთ ისინი რეზისტული ელემენტების დასამზადებლად.



SOME PROPERTIES OF FOUR COMPONENT MANGANESE GLASSES

Summary

Manganese containing glasses of certain composition have the capacity of formation of iridescent films after thermal treatment, causing a change of the properties and structure of the glass surface.

The effect of transition from borate glasses to silicate ones on a number of physico-chemical properties of glass and its surface were studied.

With this purpose glasses of the system $\text{SiO}_2 - \text{B}_2\text{O}_3 - \text{MnO} - \text{Li}_2\text{O}$ were studied, the functional dependence between the components of which is represented by a graphic model of three dimensional space.

Results of studies of volume and surface conductance, thermal expansion, dielectric losses, variation of the current strength with time, chemical stability for a number of glasses of the system are presented.

It is established that a complete replacement of B_2O_3 by SiO_2 causes a decrease of the values of volume electric resistance by two orders and of the thermal expansion coefficient, that indicates a change of the glass structure caused by the replacement of one glass forming agent by the other.

Synthesized glasses have a capacity of formation of iridescent films at thermal treatment, these films have low values of electric resistance and it together with the other properties permits to recommend them for manufacturing of resistive elements.

ЛІТЕРАТУРА — REFERENCES

1. Саруханишвили А. В., Чеишвили Т. Ш. Сообщения АН ГССР, **81**, 3, 629 (1973).
2. Кутателадзе К. С., Саруханишвили А. В., Чеишвили Т. Ш., Милюков Е. М. Изв. АН ГССР, сер. хим., **1**, 3, 253 (1975).
3. Kutateladze K. S., Sarukhanishvili A. V., Gambashidze N. N., Cheishvili T. Sh. XI International congress of glass, Prague, 279 (1977).
4. Кутателадзе К. С., Саруханишвили А. В., Гамбашидзе Н. Н., Чубинидзе С. Д. Физика и химия стекла, **3**, 3, 274 (1977).
5. Аппен А. А. Химия стекла, «Химия», Л., 1974.
6. Мазурин О. В., Тотеш А. С., Стрельцина М. В., Швайковская Т. П. Тепловое расширение стекла, изд. «Наука», М., 1965.



ТЕХНОЛОГИЯ

УДК 669.747:546.711

Р. И. АГЛАДЗЕ, Н. В. КЕРВАЛИШВИЛИ, К. Г. МАХАРАДЗЕ,
Е. Я. ЛЮБЛИНСКИЙ, Е. Г. ГИОРГАДЗЕ

ВЛИЯНИЕ ЛЕГИРУЮЩИХ И МОДИФИЦИРУЮЩИХ ЭЛЕМЕНТОВ НА АНОДНОЕ ПОВЕДЕНИЕ МАРГАНЦЕВЫХ СПЛАВОВ

В последние годы, в связи с расширением областей применения протекторной защиты, ужесточением технических требований к условиям эксплуатации морских судов, значительно возрос интерес к протекторным материалам на основе марганца. Это объясняется тем, что стационарный потенциал марганца на 100—200 мВ отрицательнее, чем у известных алюминиевых и цинковых протекторных сплавов [1, 2]. К тому же, марганец превосходит цинковые сплавы по токоотдаче на 10—20% и сравнительно менее дефицитен. Однако марганец — хрупкий металл и практически не подвергается механической обработке. Поэтому применение марганца в качестве протектора возможно только в виде сплавов, обладающих пластичностью и, следовательно, легко обрабатываемых.

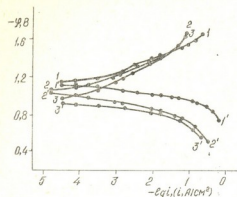
В настоящей статье рассматриваются результаты проведенных исследований о влиянии легирующих элементов — меди, олова и алюминия и модифицирующих добавок тугоплавких металлов — ванадия, ниобия, циркония и молибдена на электрохимические свойства марганца.

С этой целью были изготовлены сплавы на основе марганца систем: Mn—Cu, с содержанием 3—10% Cu; Mn—Cu—Sn, с содержанием 3% Cu и 0,25—2% Sn и Mn—Cu—Al с содержанием 3% Cu и 0,5—9% Al. Содержание примесей в сплавах изменялось (в %): железа от 0,004 до 0,04; кремния от 0,06 до 0,13. Все сплавы обладали достаточной пластичностью.

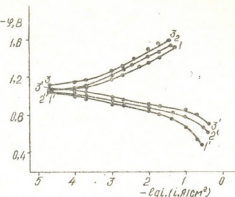
Электрохимические исследования проводились в искусственной морской воде среднего океанского состава с pH 7,8 методами снятия поляризационных кривых: быстрым потенциодинамическим $\Delta V/\tau = 20$ мВ/сек и длительным гальваностатическим ($i = 3A/m^2$, $\tau = 20-30$ суток). Полученные электрохимические характеристики рассматривались в связи с фазовым составом сплавов, для чего были выполнены металлографические исследования.

Поляризационные кривые (рис. 1) по характеру существенно не отличаются друг от друга. Наблюдается лишь смещение кривых в сторону менее или более отрицательных потенциалов в зависимости от содержания легирующего компонента. Так, например, легирование медью и дальнейшее возрастание ее содержания (рис. 1, а), как видно, облегчает катодный и тормозит анодный процессы. С ростом содержания меди ток обмена по водороду повышается от $0,56 \cdot 10^{-8}$ до $84,1 \cdot 10^{-8}$ А/см², а перенапряжение водорода уменьшается от $0,78 \cdot 10^{-3}$ до $0,66 \cdot 10^{-3}$ А/см². Очевидно, что растворение сплавов Mn—Cu с водородной деполяризацией ускоряется.

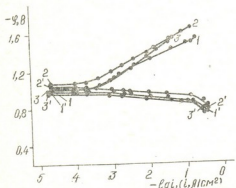
Сплавы Mn—Cu—Sn, по сравнению со сплавом Mn₃Cu, имеют более отрицательные значения потенциалов, монотонно повышающиеся с увеличением содержания олова (рис. 1,б). Добавка олова-элемента с



а



б



в

Рис. 1. Потенциодинамические кривые марганцевых сплавов: а) Mn—Cu, содержащих медь (в%): 0 (1); 3,37(2); 10,3 (3). б) Mn—Cu—Sn, содержащих (в%): 3,37 Cu (1); 2,79 Cu и 0,25 Sn (2); 3,05 Cu и 2,0 Sn (3). в) Mn—Cu—Al, содержащих (в%): 3,05 Cu и 0,97 Al (1); 3,05 Cu и 3,15 Al (2); 2,79 Cu и 8,76 Al (3)

большой, чем у марганца, величиной перенапряжения водорода, при неизменном содержании меди закономерно влечет за собой увеличение перенапряжения водорода примерно на $0,1 \cdot 10^{-8}$ А/см² и уменьшение тока обмена по водороду почти 2 раза. При этом процесс растворения сплавов с водородной деполяризацией несколько замедляется.

Анодные поляризационные кривые сплавов Mn—Cu—Al свинуты в области более отрицательных потенциалов, по сравнению со сплавом Mn₃Cu (рис. 1,а,в). Для них характерно уменьшение наклона тафелевских участков. Естественно, что процесс анодного растворения сплавов облегчен.

Более характерным является поведение сплавов при длительной анодной поляризации (рис. 2). Сплавы Mn—Cu (рис. 2,а) облагораживаются по мере увеличения в них содержания меди: потенциал в конце поляризации меняется от —730 до —610 мВ с ростом содержания меди от 3 до 10%; увеличивается и анодная поляризуемость от 0,3 до 0,7 мВ/сутки. Практически не зависят от содержания меди величины коэффициента полезного использования (к.п.и.) сплавов, которые остаются при всех случаях достаточно высокими — 93—96%.

Введение олова в количестве 1—1,5% заметно активирует сплав Mn₃Cu, увеличивая отрицательные значения потенциалов до —750—760 мВ, и уменьшая анодную поляризуемость (рис. 2,б). Все исследо-

дованные сплавы с оловом имеют высокие значения к.п.и. (92%), несколько уменьшающиеся с ростом содержания олова (до 45% олова).

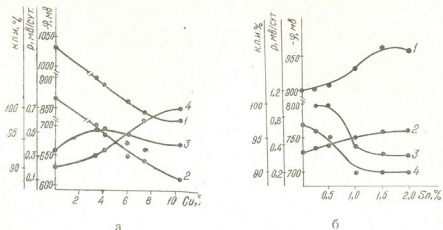
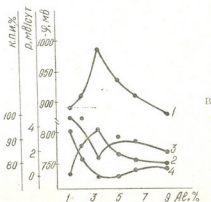


Рис. 2. Влияние содержания легирующих элементов — меди, олова и алюминия на величины стационарного потенциала (1), анодного потенциала (2), к. п. и. (3) и поляризуемости (4) сплавов систем: Mn—Cu (а), Mn3Cu—Sn (б), Mn3Cu—Al (в)



С увеличением содержания алюминия от 1 до 3% потенциал становится более отрицательным и достигает значения -805 мВ, а к.п.и.

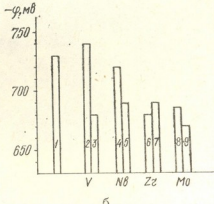
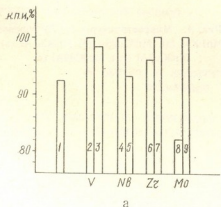
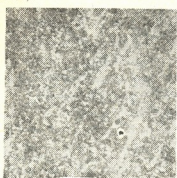


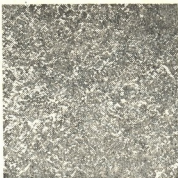
Рис. 3. Влияние модифицирующих добавок ванадия, ниобия, циркония и молибдена на величины к. п. и. (а) и анодного потенциала (б) сплава Mn3Cu в количестве (в %) 0 (1); 0,01 (2, 4, 6, 8) и 0,5 (3, 5, 7, 9)



уменьшается от 99 до 82%. Уменьшается также анодная поляризация сплавов. Дальнейшее повышение содержания алюминия до 7,15% при 9% облагораживает сплав до потенциала -750 мВ; к.п.и. при этом в некоторой степени стабилизируется и становится равным $\sim 90\%$ (рис. 2,в).



а



б



в



г



д

Рис. 4. Микроструктуры (х450) сплавов Mn10Cu (а), Mn3Cu2Sn (б), Mn3Cu1Al (в), Mn3Cu3Al (г) и Mn3Cu9Al (д)

Модифицирование сплава Mn3Cu добавками тугоплавких элементов — ниобия, ванадия, циркония и молибдена в количестве 0,01—0,5% повышает к.п.и. сплавов, однако, при этом имеет место и значительное облагораживание анодного потенциала (рис. 3,а,б). Незначительное

активирование сплава (на 10 мВ) наблюдается при модифицировании ванадием в количестве 0,01% (рис. 3, б. кр. 2).

Полученные данные о влиянии легирующих элементов на электрохимическое поведение марганцевых сплавов могут быть объяснены при рассмотрении диаграмм состояний [3] и микроструктур (рис. 4).

Исследованные сплавы системы Mn—Cu характеризуются двухфазной структурой [α —Mn+ α (γ) тв. раствор] (рис. 4а). Сдвиг анодного потенциала по мере роста содержания меди в сплавах в положительную сторону связан с увеличением содержания меди в α (γ)—твердом растворе и, соответственно, с уменьшением катодного торможения вследствие снижения перенапряжения водорода. Вместе с тем повышение содержания меди в твердом растворе вызывает затруднение анодного растворения, следствием которого является увеличение поляризуемости и к.п.и. сплавов Mn—Cu по сравнению с марганцем.

Металлографические исследования сплавов системы Mn—Cu—Sn показали, что они имеют сложную структуру, представляющую собой смесь двух или более фаз. Сравнительно низкая микротвердость, меняющаяся в пределах 118—192 кг/мм², дает право считать, что чистого α —Mn в структуре очень мало. Фазы характеризуются мелкодисперсностью, что обусловливает высокие значения к. п. и. при анодном растворении.

Сплавы Mn—Cu—Al имеют сложную двухфазную структуру. Зерна твердого раствора окружены сложной структурной составляющей, полученной, видимо, в результате частичного распада α (γ) твердого раствора. Она может быть смесью α - и β —Mn с растворенным в них алюминием (рис. 4, в, г, д). Это подтверждается данными измерения микротвердости. При содержании $\sim 1\%$ Al микротвердость зерна твердого раствора равна 123 кг/мм², а сложной структурной составляющей — 830—880 кг/мм². С увеличением содержания алюминия до $\sim 9\%$ микротвердость структурной составляющей уменьшается до 152 кг/мм². Как видно, в зависимости от содержания алюминия в анодной фазе меняется количество и характер ее распределения, что соответственно вызывает изменение электрохимических свойств сплавов.

Таким образом, из изученных нами сплавов можно выделить, как обладающие лучшими протекторными свойствами, сплавы систем: Mn—Cu с содержанием 3% Cu, Mn—Cu—Sn с содержанием 3% Cu и 1—1,5% Sn, Mn—Cu—Al с содержанием 3% Cu и 3% Al.

Грузинский политехнический институт
им. В. И. Ленина

Поступило 3.XII.1978

6 აგლები, 6 მირვალიშვილი, 6. განარაძე,
0. ლუხულიძე, 0. გორგაძე

გალეგიჩველი და გამოწილილებელი ელექტროდების გავლენა
განვალების ზენაზოვების პოლიტექნიკური უნივერსიტეტი

რეზიუმე

შესწავლითა მაღლევირებელი ელექტროდების — სპილენდის, კალისა და ალუმინის, აგრეთვე მოდიფიცირებების — ვანადიუმის, ნიობიუმის, ცირკონიუმისა და მოლიბდენის დანამატების გავლენა მანგანუმის ელექტროჯიმიურ თვისებებზე ზღვის წყალში.

ნაჩვენებია, რომ სპილენძის შეცვანა 3—10%-ის რაოდენობით წრივები მცველია ანოდური აქტივობის მონოტონურ შემცირებას. კალის ეფენდიატები (1—1,5%) ანოდურად აქტიურებს მანგანუმსპილენძის შენაღნობას ($Mn3Cu$), ხოლო ალუმინის დამატება 3%-ის რაოდენობით ანიჭებს მას საქმაოდ უარყოფით პოტენციალს (-805 მვ) ანოდური პოლარიზაციის დროს.

მანგანუმის ოპტიმალური საპროცესურო შენაღნობა $Mn3Cu$ მოდიფიცირება ზემოაღნიშნული მნელადლობადი ელემენტებით იწვევს შენაღნობა მარგი გამოყენების კოეფიციენტის ზრდას ~ 5 — 7% -ით, მაგრამ ამავე დროს საგრძნობლად აკეთილშობილებს მათ.

$Mn-Cu$, $Mn-Cu-Sn$ და $Mn-Cu-Al$ სისტემათა შესწავლილი შენაღნობების ელექტროქიმიური თვისებები განხილულია მათი მიერთოსტრუქტურული გამოკვლევების შედეგებთან კავშირში.

R. I. AGLADZE, N. V. KERVALISHVILI, K. G. MAKHARADZE,
E. Ya. LUBLINSKIY, E. G. GIORGADZE

EFFECT OF DOPING AND MODIFYING ELEMENTS ON ANODE BEHAVIOUR OF MANGANESE ALLOYS

Summary

Effect of doping elements: copper, tin, aluminium and of modifying additions: vanadium, niobium, zirconium and molybdenum on electrochemical properties of manganese in sea water has been studied with the purpose of obtaining protective alloys on its basis.

It is shown that addition of copper in the amount of 3—10% causes a decrease of the negative potential from -730 to -610 mv. Addition of tin (1—1,5%) increases electrochemical activity of the alloy $Mn3Cu$ by 20—30mv. The greatest effect is obtained at doping with aluminium (3%), the alloy potential remains highly negative, -805 mv, at the end of polarization. At the same time the efficiency is decreased to 82%. Alloys of the system $Mn-Cu$ and $Mn-Cu-Sn$ have rather high efficiency (92—99%).

Modification of the optimum protective alloy $Mn3Cu$ by addition of refractory metals: vanadium, niobium, zirconium and molybdenum in the quantity of 0.01—0.5% increases the efficiency by ~ 5 — 7% and at the same time considerably improves alloys.

Changes of electrochemical properties of manganese at doping is explained by data of microstructure analysis of alloys.

On the grounds of microstructural analysis of alloys the optimum ones were chosen: alloy of manganese with copper (3 weight per cent), alloy on the manganese basis containing 3% of copper and 1—1.5% of tin, alloy on the manganese basis containing 3% of copper and 3% of aluminium. These alloys can be recommended as the possible protective material in the systems of protection from sea corrosion.

ლიტერატურა — ЛИТЕРАТУРА — REFERENCES

1. Агладзе Р. И., Бибиков Н. Н., Люблинский Е. Я., Махарадзе К. Г. Технология судостроения, 8, 123 (1971).
2. Бибиков Н. Н., Люблинский Е. Я., Поварова Л. В. Электрохимическая защита морских судов от коррозии, Л., «Судостроение», 1971.
3. Хансен М., Андерко К. Структуры двойных сплавов, т. I, 2, М., Металлургиздат, 1962.

УДК 662.6:536.241

Л. А. ДРАКИН

ОПРЕДЕЛЕНИЕ СКОРОСТИ ПРОГРЕВА УГЛЯ ПРИ СМЕШЕНИИ С ГОРЯЧИМ ФОРМОВАННЫМ КОКСОМ

Применение формованного кокса в качестве твердого теплоносителя для нагрева угля в первой ступени непрерывного коксования дало весьма положительные результаты. Было установлено, что использование физического тепла формованного кокса позволяет сократить расход тепла на процесс коксования более чем на 30%. При этом одновременно с нагревом угля осуществляется сухое тушение кокса.

В процессе теплового обмена между углем и горячим формованным коксом существенное значение имеет скорость прогрева угля. От скорости прогрева угля зависит продолжительность теплового обмена и производительность аппарата, в котором осуществляется тепловой обмен.

Для определения и расчета скорости прогрева угля при смешении его с горячим формованным коксом, мы воспользовались методом, описанным в [1, 2]. Авторы этих работ предложили рассматривать дисперсную среду, окружающую частицу теплоносителя, как квазинодородную и характеризовать суммарный теплообмен между частицей и этой средой эффективным коэффициентом теплопередачи « $\alpha_{\text{эфф}}$ ». Экспериментальное определение « $\alpha_{\text{эфф}}$ » показало практическую неизменяемость его в процессе теплового обмена.

Расчетная скорость прогрева частицы материала определялась путем решения соответствующей системы дифференциальных уравнений, которая записывалась в следующем виде [2]:

$$\begin{aligned} \frac{dT_1}{dt} &= \frac{\alpha S}{\eta_1 c_1 \rho_1} (T_1 - T_2) \\ \frac{dT_2}{dt} &= \frac{\alpha S}{\eta_2 c_2 \rho_2} (T_1 - T_2), \end{aligned} \quad (1)$$

где T_1 — температура источника тепла, T_2 — температура среды, c_1 — теплоемкость источника, c_2 — теплоемкость среды, ρ_1 — плотность источника, ρ_2 — плотность среды, η_1 — коэффициент заполнения источника, η_2 — коэффициент заполнения среды, α — эффективный коэффициент теплопередачи, S — поверхность раздела источника и среды.

Решение этой системы уравнений для случая равномерного смешения и малого температурного градиента в частицах имеет вид:

$$T_1 = \frac{T_0}{m+1} [e^{-(\varepsilon_1 + \varepsilon_2)} + m]$$

$$T_2 = \frac{T_0 m}{m+1} [1 - e^{-(\varepsilon_1 + \varepsilon_2)t}], \quad (2)$$

где $(\varepsilon_1 + \varepsilon_2)$ — скорость охлаждения или нагрева, T_0 — относительная начальная температура горячего источника или засыпки, t — время. При этом

$$\varepsilon_1 = \frac{\alpha S}{\eta_1 c_1 \rho_1}, \quad \varepsilon_2 = \frac{\alpha S}{\eta_2 c_2 \rho_2} \quad \text{и} \quad m = \frac{\eta_1 c_1 \rho_1}{\eta_2 c_2 \rho_2}.$$

Если допустить, что частицы источника (теплоносителя) имеют форму шара диаметром d , то поверхность единицы объема сферической засыпки будет равна: $S = \frac{6\pi}{d}$, тогда:

$$\varepsilon_1 + \varepsilon_2 = \frac{6\alpha}{c_1 \rho_1 d} (1 + m) = k(1 + m). \quad (3)$$

Следовательно, скорость охлаждения системы источников в сыпучей среде в $(1+m)$ раз больше скорости охлаждения отдельного источника.

Таким образом, уравнения (1)–(3) позволяют рассчитывать время охлаждения системы источников или, что тоже самое, время прогрева холодной засыпки по экспериментальной кривой охлаждения (или нагрева) отдельного источника. Для этого достаточно уменьшить масштаб времени в кривой охлаждения отдельного источника в $(1+m)$ раз. Таким образом, если температура $\frac{T_1}{T_0}$ достигается отдельным источником за время t , то для системы источников эта же температура $\frac{T_1}{T_0}$ будет достигаться за время $\frac{t}{1+m}$. При этом роль начальной температуры T_0 будет играть конечная температура смеси.

Для получения экспериментальной кривой охлаждения формованного кокса в засыпке угля была смонтирована установка, показанная на рис. 1. Перед началом эксперимента термостат 1 засыпался на 1/3 высоты воздушно-сухим ткибульским углем крупностью 0–3 мм. Таким же углем заполнялись и бункеры 2. Уголь в бункерах удерживался заслонками 3. Для замера температуры угля в зоне соприкосновения его с горячим формованным коксом в центре термостата на уровне угольной загрузки помещалась хромель-алюмелевая термопара 7. На спай термопары 7 насаживалась частица ткибульского дюренового угля (диаметром 3 мм и длиной 4–5 мм), в центре которой предварительно просверливалось отверстие диаметром 1,5 мм. Формованный металлургический кокс 5, предварительно нагретый до заданной температуры в отдельной электропечи, быстро помещался в термостат 1 на угольную загрузку и засыпался углем из бункеров 2.

Для замера температуры формованного кокса в центре его помещалась хромель-алюмелевая термопара 6. Изменение температуры формованного кокса и частицы угля, которое фиксировалось термопарами 6 и 7, записывалось на электронном потенциометре ЭПП-09. Наиболее характерные и многократно повторяющиеся результаты экспериментов приведены на рис. 2.

Приимая начальную температуру частицы угля за начало отсчета, а конечную температуру смеси T_k , соответствующую максимальной температуре нагрева частицы угля, за единицу, были рассчитаны относительные температуры этой частицы (табл. 1). За относительную температуру принималось частное от деления температуры холодной частицы угля $T - t_0$ на конечную температуру смеси $T_k - t_0$.

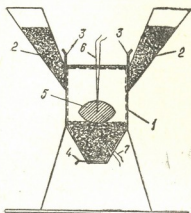


Рис. 1. Схема установки для определения прогрева угля формованным коксом. 1 — термопара; 2 — бункер; 3 — заслонка; 4 — шинбер; 5 — образец формованного кокса; 6 и 7 — термопары

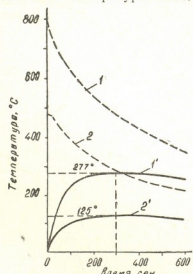


Рис. 2. Изменение температуры образца формованного кокса (ср. диаметр 48 мм) и прилегающей к нему частицы угля (ср. диаметр 3 мм). 1, 2 — изменение температуры образца формованного кокса, имеющего начальную температуру 800 и 480°C соответственно; 1', 2' — изменение температуры частицы угля, имеющей начальную температуру 15 и 10°C соответственно

Как видно из табл. 1, несмотря на различную начальную температуру кокса (800 и 480°C), изменение относительной температуры частицы угля происходит совершенно аналогично (рис. 3).

Таблица 1

Изменение относительной температуры частицы угля, прилегающей к формованному коксу с различной начальной температурой

Время, сек	25	50	75	100	125	150	175	200	225	250	300
Относительная температура частицы угля при начальной температуре кокса 800°C	0,365	0,574	0,725	0,820	0,877	0,915	0,945	0,965	0,980	0,992	1,00
Относительная температура частицы угля при начальной температуре кокса 480°C	0,345	0,565	0,695	0,790	0,865	0,904	0,947	0,965	0,982	0,991	1,00

Для того, чтобы по экспериментальной кривой найти скорость прогрева угольной загрузки и построить расчетную кривую необходимо найти коэффициент m , который для единицы объема выражается отношением:

$$m = \frac{\eta_1 c_1 \rho_1}{\eta_2 c_2 \rho_2}.$$

В соответствии с замкнутым материальным балансом, принятым при получении формованного металлургического кокса с применением для нагрева угля твердого теплоносителя, весовое соотношение между тикибульским углем и формованным коксом должно соответствовать 1,5:1, или применительно к Руставской опытной установке это соотношение соответствует 600 кг/час сухого угля (или 652 кг/час воздушно-сухого с влажностью 8%) и 400 кг/час формованного кокса.

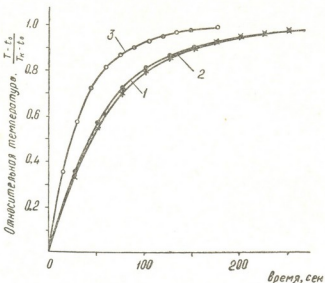


Рис. 3. Прогрев угля формованным коксом.
1, 2 — экспериментальные данные; 3 — расчетная кривая

При плотности формованного кокса 920 кг/м³, и насыпном весе воздушно-сухого угля 700 кг/м³, объем теплообменяющихся материалов V будет составлять:

$$V = \frac{400}{920} + \frac{652}{700} = 0,43 + 0,93 = 1,36 \text{ м}^3/\text{час.}$$

Отсюда коэффициент заполнения для угля и формованного кокса при смешении их по весу в соотношении 1,5:1 будет равен:

$$\eta_1 = \frac{0,43}{1,36} = 0,32 \quad \text{и} \quad \eta_2 = \frac{0,93}{1,36} = 0,68.$$

Принимая теплоемкость кокса $c_1 = 0,3384$ и угля $c_2 = 0,3$ ккал/кг.°С, определим по уравнению (4) коэффициент m :

$$m = \frac{0,32 \times 0,3384 \times 920}{0,68 \times 0,3 \times 700} = 0,7.$$

Тогда в соответствии с уравнением (3), скорость прогрева угольной засыпки будет равна:

$$\varepsilon_1 + \varepsilon_2 = K(1 + m) = 1,7 \text{ К.}$$



Следовательно, скорость прогрева угольной засыпки горячим формованным коксом будет в 1,7 раза больше скорости прогрева отдельной частицы угля. Уменьшив масштаб времени в экспериментальных данных в 1,7 раза (табл. 1), получим скорость прогрева угля горячим формованным коксом (табл. 2). Приведенные в табл. 2 значения относительной температуры холодной засыпки угля представлены на рис. 3 в виде расчетной кривой.

Таблица 2

Изменение относительной температуры загруженного угля при смешении с формованным коксом, имеющим температуру 800°C

Время, сек.	14,7	29,4	44,1	58,8	73,5	88,2	102,9	117,6	132,3	147,0	176,4
Средняя относительная температура загруженного угля	0,365	0,573	0,725	0,820	0,877	0,915	0,945	0,965	0,980	0,992	1,000

Как видно из расчетной и экспериментальных кривых по мере того, как происходит прогрев угля и охлаждение формованного кокса, скорость теплового обмена между ними значительно изменяется. Особенно заметное изменение скорости теплового обмена наступает при достижении уровня относительной температуры прогрева угля, равного 0,9. Исходя из этого, при выборе продолжительности теплового обмена между углем и формованным коксом целесообразно, очевидно, исходить не из полного использования тепла формованного кокса, а из уровня прогрева угля, который для технологических целей может быть выбран в пределах 0,9—0,95 относительной температуры угля. В соответствии с расчетной кривой такому уровню прогрева угля соответствует продолжительность теплового обмена между углем и формованным коксом равная 88—118 секундам или 1,5—2,0 минутам.

Результаты определения скорости прогрева угля и продолжительности теплового обмена между углем и формованным коксом были использованы при проектировании и изготовлении новой конструкции теплообменного аппарата для нагрева угля формованным коксом на опытной установке непрерывного коксования и получили полное подтверждение в процессе экспериментальных исследований.

Институт неорганической химии
и электрохимии АН ГССР

Поступило 30.VI.1978

Л. А. Капитонов

БАШНИНОВЫЙ ЗАВОД № 10 СЕМЯНОВСКОГО РАЙОНА ЧУБАСТАВСКОГО ОКРУГА ЧУБАСТАВСКАЯ ОБЛАСТЬ

60 % 0 2 0

Материалы и оборудование Широкогребное грохотование шнекового типа с автоматическим управлением на основе датчиков давления и концентрации газа в рабочем пространстве. Датчики давления и концентрации газа установлены в рабочем пространстве шнекового грохота.

Настройка материала на широкогребном грохоте осуществляется с помощью датчиков давления и концентрации газа в рабочем пространстве шнекового грохота.

კიდებული თბომიმოცვლის ხანგრძლივობა და თბომცვლელი აპარატის
მაღლობა.

ო. ცუხანოვისა და გ. სალამინდრის მიერ შემოთავაზებული მეთასული განვითარებული მოყენება საშუალებას იძლევა დაყალიბებული კოქსის ფალკეული ნიმუშების გაცვების ექსპერიმენტული მრავდის მიხედვით განვსაზღვროთ ცხელი დაყალიბებული კოქსის ნახშირის განვურების სიჩქარე.

დადგინდა, რომ ნახშირისა და დაყალიბებული კოქსის შერევისას 800°C ტემპერატურაზე წონითი ფარდობითი $1,5:1$, ყალიბიანი კოქსით ნახშირის განვურების დრო არის $1,5—2,0$ წუთი.

ცხელი ყალიბიანი კოქსით ნახშირის განვურების სიჩქარის განსაზღვრის შედეგები გამოყენებული იქნა უწყვეტი კოქსების საცდელ დანადგარზე ახალი კონსტრუქციის თბომიმოცვლის აპარატის დამუშავებისას.

L. A. DRAKIN

DETERMINATION OF THE RATE OF COAL HEATING AT MIXING WITH HOT FORMED COKE

Summary

The use of formed coke as a solid heat carrier for coal heating at the first stage of continuous coking has given very positive results.

In the process of heat exchange between coal and hot formed coke the rate of coal heating is of importance on which the duration of heat exchange and the efficiency of the heat exchanger depend.

A possibility of determination the rate of coal heating by hot formed coke by the experimental curve of cooling of different samples of formed coke is established.

When coal and formed coke are mixed in the ratio $1.5 : 1$ the time of coal heating by formed coke with temperature 800°C is $1.5—2.0$ min.

The results of determination of coal heating by hot formed coke were used at the development of a new construction of a heat exchanger for an experimental installation of continuous coking.

ლიტერატურა — ЛИТЕРАТУРА — REFERENCES

1. Цуханова О. А., Саламандра Г. Д. Изв. АН ССР, ОТН, 8, 977 (1947).
2. Цуханова О. А., Саламандра Г. Д. Изв. АН ССР, ОТН, 9, 1207 (1947).

КРАТКИЕ СООБЩЕНИЯ

УДК 546.675+541.49

Н. И. ПИРЦХАЛАВА, Л. А. УГУЛАВА

СИНТЕЗ И ИЗУЧЕНИЕ КОМПЛЕКСНЫХ СОЕДИНЕНИЙ $TaCl_5$ С п-ДИМЕТИЛАМИНОБЕНЗАЛЬАНИЛИНАМИ

Исследование реакции комплексообразования $TaCl_5$ в неводных средах с азотсодержащими лигандами представляет интерес как с теоретической, так и с практической точек зрения. Реакции галогенидов тантала и ниобия с алифатическими аминами, содержащие sp^3 -гибридизованный атом азота, весьма важны для процессов разделения и очистки металлов. В частности, алифатические амины применяются как экстрагенты для экстракции тантала из кислых растворов при разделении тантала и ниobia [1, 2].

Соединения $TaCl_5$ с некоторыми лигандами, содержащими sp^2 -гибридизованный атом азота, изучены достаточно хорошо [3—5], в то время, как комплексообразование с п-диметиламинобензальанилинами почти не исследовалось.

С этой целью был синтезирован ряд комплексов с п-диметиламинобензальанилинами, содержащими различные заместители общей формулы $TaCl_5 \cdot Lig$.

$Lig = (CH_3)_2 N - C_6H_4CH = N - C_6H_4R$, где $R = H$, $n - CH_3$, $n - CCH_3$, $n - Br$
 $n - NO_2$, $n - Cl$, $o - CH_3$, $m - Br$.

Исходные лиганды получены по методике [6]. Комплексы $TaCl_5$ с п-диметиламинобензальанилинами получены при сливании на холода растворов $TaCl_5$ и лигандов в CCl_4 . Мгновенно выпадающие осадки фильтровали, сушили в вакуум-эксканторе над P_2O_5 и анализировали.

Полученные нами комплексы по данным элементного анализа (табл. 1) имеют состав $TaCl_5 : Lig = 1:2$. Все комплексы представляют собой ярко окрашенные мелкокристаллические вещества, трудно растворимые в большинстве органических растворителей.

Использованные нами лиганды — п-диметиламинобензальанилины, как известно, содержат два потенциально возможных донорных атома азота: различной степени sp^2 -гибридизованный азот азометиновой связи и sp^3 -гибридизованный атом азота диметиламиногруппы.

С целью выяснения особенностей строения полученных нами комплексов были использованы данные сравнительного изучения ИК-спектров этих комплексов и соответствующих им лигандов.

Как видно из таблицы 2, в ИК-спектрах п-диметиламинобензальанилинов валентные колебания $C=N$ — азометиновой группы проявляются при $1608—1625\text{ cm}^{-1}$ и мало зависят от типа заместителей R . При переходе к комплексным соединениям в ИК-спектрах кристалличес-

ских образцов комплексов повышаются частоты валентных колебаний C=N-связи от 1608—1625 см⁻¹ до 1638—1655 см⁻¹, причем возникает полоса азометинового поглощения низкой интенсивности. Появление

Таблица 1

Комплексные соединения TaCl₅ с п-диметиламинонаптанами

Формула комплекса	t пл. С°	Вычислено, %				Найдено, %			
		Ta	C	H	Cl	Ta	C	H	Cl
TaCl ₅ .2n-C ₁₅ H ₁₆ N ₂	220—221	29,42	44,60	3,99	21,99	29,12	44,21	3,27	21,50
TaCl ₅ .2п-C ₁₆ H ₁₈ N ₂	218—219	21,67	45,98	4,34	21,25	21,05	45,32	4,22	20,98
TaCl ₅ .2п-C ₁₅ H ₁₅ N ₂ Br	156—157	18,55	37,20	3,13	18,18	18,20	36,90	2,86	—
TaCl ₅ .2п-C ₁₅ H ₁₅ N ₃ O ₂	161—162	20,18	40,04	3,37	19,79	19,86	39,78	3,17	19,22
TaCl ₅ .2o-C ₁₅ H ₁₅ N ₂ Br	140—141	18,55	37,20	3,13	18,18	18,20	36,90	2,86	—
TaCl ₅ .2m-C ₁₅ H ₁₅ N ₂ O ₂	119—120	20,18	40,14	3,73	19,79	19,86	39,78	3,17	19,04

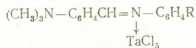
частот валентных колебаний азометиновой связи на 20—40 см⁻¹ свидетельствует о том, что координация в комплексах TaCl₅·Lig осуществляется по атому азота азометиновой группы, а не за счет π-электронов

Таблица 2

ИК-спектры синтезированных комплексов и использованных лигандов

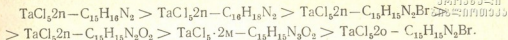
Формула комплекса	ν _{C=N} -азомет., см ⁻¹		Δν C≡N, см ⁻¹	ν _{C=cap.} , см ⁻¹	
	лиганды	комpleксы		лиганды	комpleксы
TaCl ₅ .2n-C ₁₅ H ₁₆ N ₂	1608	1650	+42	1580	1610
TaCl ₅ .2п-C ₁₆ H ₁₈ N ₂	1610	1655	+45	1600	1622
TaCl ₅ .2п-C ₁₅ H ₁₅ N ₂ Br	1612	1645	+33	1585	1620
TaCl ₅ .2п-C ₁₅ H ₁₅ N ₃ O ₂	1622	1638	+16	1582	1605
TaCl ₅ .2o-C ₁₅ H ₁₅ N ₂ Br	1620	1640	+20	1590	1615
TaCl ₅ .2m-C ₁₅ H ₁₅ N ₂ O ₂	1625	1655	+30	1595	1625

двойной связи. Получены молекулярные комплексы (продукты присоединения), строение которых может быть представлено формулой:



Для установления термической устойчивости полученных комплексов и способов их разложения в зависимости от природы лиганда нами проведены термогравиметрические исследования. По термическим свойствам указанные комплексы различаются между собой, разлагаются ниже 300°C и на их термостойкость влияют заместители.

По признаку уменьшения термостойкости комплексы можно расположить в следующий ряд:



Тбилисский государственный университет

Поступило 12.IV.1979

Б. ПИРТСКАЛАВА, Л. А. УГУЛАВА

Та Cl_5 -06 დინორებულის განვითარებასთან კომპლექსების ნარჩენის
სინთეზი და ფიზიკური

რეზუმე

სინთეზირებულია Та Cl_5 -ის კოორდინაციული ნაერთები n-დიმეთილამინო-
ბენზალანილინებთან CCl_4 -ის გარემოში. შთანთქმის ინფრაჭაველი სპექტრე-
ბის მეთოდით შესწავლილია Та Cl_5 -ის ურთიერთქმედება აღნიშნულ ლიგან-
დებთან. მიღებული ექსპერიმენტული მონაცემების განხოვადების შედეგად
დადგენილია, რომ სინთეზირებულ ნაერთებში ბმა გაპირობებულია — CH—N—
აზომეთინის ჯუფის აზორის ატომის განუყოფელი წყვილი ელექტრონებით.

N. I. PIRTSKALAVA, L. A. UGULAVA

SYNTHESIS AND STUDY OF COORDINATION COMPOUNDS OF Ta Cl_5 n-DIMETHYLAMINOBENZALANILINE

Summary

The coordination compounds of Ta Cl_5 with n-dimethylaminobenzalaniline in CCl_4 have been synthesized. To obtain the particular building of received coordination were used the date of comparative studying of IR-spectrum.

Spectroscopic date indicates that the coordination bond is located on the nitrogen atom of—CH-N azomethin group.

ЛІТЕРАТУРА — REFERENCES

- Файрбротер Ф. Химия ниобия и тактала. «Химия», М., 1972.
- Петунина Н. И., Чуфарова И. Г. Труды института химии Уральского филиала АН СССР, вып. 10, 11 (1966).
- Mehrotra R. G., Rai A. K., Kapoor P. N., Boohra R. Inorg. Acta, 16, 237—267 (1976).
- Wilkins D. Y. J. Inorg. and Nucl. chem., 37, № 10, 2095—2097 (1975).
- Tandon Y. P., Gupta S. R., Prasand R. N. Bull. Acad. pol. sci. ser. sci. chim. 23, № 9, 777—782 (1975).
- Коган В. А., Егоров А. С., Осипов О. А. Журнал неорганической химии, 18, 2091 (1973).



УДК 541.183+661.961.9615.66.097.3

Д. А. БАСИЛАЯ, Л. И. ГВАСАЛИЯ, Л. А. ТАРАСОВ, Л. Д. ЭРАДЗЕ

АДСОРБЦИЯ КИСЛОРОДА НА НИЗКОТЕМПЕРАТУРНОМ ОКИСНОМ МЕДЬ-ХРОМ-МАРГАНЦЕВОМ КАТАЛИЗАТОРЕ КОНВЕРСИИ ОКИСИ УГЛЕРОДА С ВОДЯНЫМ ПАРОМ

Для изучения катализитических процессов важное значение имеет определение величины активной части поверхности катализатора. При этом для эксперимента подбирают такой газ, который в данных условиях преимущественно хемосорбируется на активном веществе [1].

Цель настоящей работы — качественная оценка активной поверхности медь-хром-марганцевого катализатора по адсорбции кислорода.

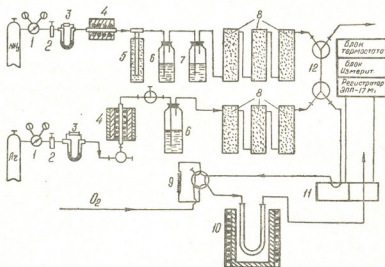


Рис. 1. Газохроматографическая импульсная установка. 1 — редуктор, 2 — вентиль тонкой регулировки, 3 — реометр, 4 — трубчатая печь, 5 — моностат, 6 — кислотный поглотитель аммиака и влаги, 7 — щелочный поглотитель, 8 — адсорбера на цеолитах и P_2O_5 , 9 — кран-дозатор, 10 — адсорбер, 11 — катарометр, 12 — трехходовые краны

Как известно, одной из основных стадий формирования катализатора является восстановление. Дифференциальный-термический анализ процесса восстановления медь-хром-марганцевого катализатора азотоводородной смесью свидетельствует, что восстановление начинается при пониженных температурах ($80-90^\circ\text{C}$) и проходит наиболее интенсивно в интервале температур, характером для восстанов-

ления окислов меди (180 — 190°C). Процесс заканчивается в интервале температур 260 — 270°C [2].

Эксперимент проводили методом хемосорбции кислорода на хроматографической импульсной установке, изображенной на рис. 1.

Образцы катализаторов (навеска $1,000$ г) помещали в адсорбер, выполненный из стали X18H10T. Адсорбер оборудован электропечью, позволяющей поддерживать требуемую температуру восстановления. Измерение температуры восстановления образцов катализаторов проводили ХА-термопарой, размещенной в зоне катализатора. Восстановление катализаторов проводили азотоводородной смесью. Расход газа-восстановителя во всех опытах поддерживали постоянным. Время восстановления соответствовало четырем часам. По окончании восстановления адсорбер с катализатором охлаждали до температуры 20°C . Адсорбцию кислорода проводили импульсным методом в токе аргона. Объем разовой дозы кислорода соответствовал $V_d = 184 \text{ mm}^3$. Количество адсорбированного кислорода измеряли с помощью хроматографа ХЛ-4.

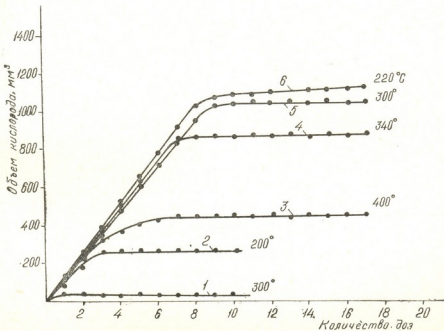


Рис. 2. Зависимость объема поглощенного кислорода от количества его доз в слой катализатора. 1, 2 — отправленные образцы катализаторов, 3—6 свежеприготовленные образцы катализаторов

Образцы окисного меди-хром-марганцевого катализатора (чистого) восстанавливали при температурах 180 , 220 , 300 , 340 и 410°C . Образцы аналогичного катализатора, но отправленного серой — при температурах 200 и 300°C .

На рис. 2 представлена зависимость объема поглощенного кислорода от количества его доз (импульсов или напусков) в слой катализаторов, восстановленных при температуре 220 и 300°C (кривые 5 и 6). На катализаторе, восстановленном при 180°C , адсорбцию кислорода не наблюдали. Увеличение температуры восстановления (кривые 4 и 3) приводит к снижению количества адсорбированного кислорода. При-

чем значительное снижение адсорбционной способности кислорода об разцами катализатора наблюдается при температуре их восстановления выше 400°C (кривая 3).

Адсорбция кислорода на образцах катализаторов, отравленных ^{зарисовано} рой (кривые 2 и 1), значительно ниже, чем для чистых образцов катализаторов. Увеличение температуры восстановления приводит к резкому снижению количества адсорбированного кислорода.

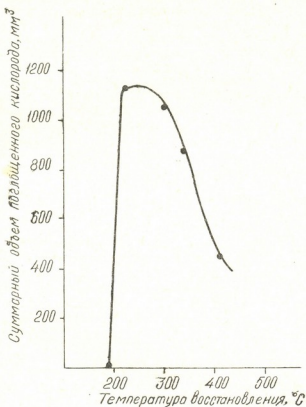


Рис. 3. Зависимость суммарного поглощенного объема кислорода от температуры восстановления катализаторов

На рис. 3 показана зависимость суммарного поглощения объема кислорода от температуры восстановления катализаторов. Максимальный объем поглощенного кислорода приходится на интервал температур восстановления 200—300°C.

Анализ кривых на рис. 2 позволяет сделать следующие выводы. Кривые 3—6 в начальный период адсорбции (окисления) имеют постоянный (одинаковый) угол наклона. Это указывает на то, что в катализаторах при всех изучаемых температурах восстановления не наблюдается раздельное восстановление оксидов меди и марганца. Восстанавливается, по всей вероятности, меднотитанохромовая шпинель сложного состава, которая образуется при предварительной термообработке катализатора (температура прокаливания катализатора при его приготовлении 400—450°C).

Увеличение температуры восстановления приводит к рекристаллизации шпинели, уменьшению внутренней поверхности катализатора и, как следствие, к уменьшению объема поглощенного кислорода.

Кривая на рис. 3 определяет оптимальные температурные условия восстановления и работы меди-хром-марганцевого катализатора. Максимум активности катализатора в реакции конверсии окиси углерода должен находиться в интервале температур 220—300°С.

Следует отметить высокую пирофорность восстановленных катализаторов.

Грузинский политехнический институт им. В. И. Ленина

Поступило 18.VII.1979

ରେ. ହାଶିଲ୍ଲାଦା, ରେ. ଗନ୍ଧୀଶାଳିଦା, ରେ. କୁରୁକ୍ଷେତ୍ରାଚାରୀ, ରେ. ପରିମାଣ

698083

ხარისხობრივად შეფასებულია ვანგბადის აღსორების მიხედვთ სპილენძ-ჭრობებანაზმინი კრალიშარის აქტორი ზედაპირი.

კატალიზატორის ფორმირების ერთ-ერთ მნიშვნელოვან სტადიას წარმოადგენს ალფენის პროცესი. ამ პროცესის დიფერენციალურ-თერმული ანალიზის მეთოდით შესწავლა გვიჩვენებს, რომ სპილენძ-ქრომ-მანგანუმიანი კატალიზატორის ალფენის იშვება $80-90^{\circ}\text{C}$, ინტენსიურად მიმდინარეობს $180-190^{\circ}\text{C}$, რაც დამახსიათებელია სპილენძის უანგელუბის ალფენისათვის. ალფენის პროცესი მთავრდება $260-270^{\circ}\text{C}$.

კვლევა ჩატარებულია გაზიქრომატოგრაფიულ იმპულსურ დანადგარშე უანგბარის შთანთქმის მეოთლით. ალდენა წარმოებდა აზოტ-ტყალბარის ნარევით. უანგბარის ალსორბცია ხდებოდა ორგანის ნაჟაფში იმპულსური მეოთლით.

კატალიზატორის ნიმუშები აღდგენილი იყო 180, 220, 300, 340 და 410°C-ზე, ხოლო გოვირდით მოწამლული კატალიზატორის ნიმუშები — 200 და 300°C-ზე.

შოლებული შონაცემების ანალიზი საშუალებას გვიძლევს ვეკარაუდოთ, რომ ხდება რთული შედეგენილობის სპილენძ-ქრომ-მანგანუმოვანი ჰპინელის აღდგენა, რომელიც წარმოიქმნება კატალიზატორის წინასწარი თერმული და-მუშავებისას. ღლდენის ტემპერატურის გაზრდა იწვევს ჰპინელის რეკრისტა-ლიზაციას, კატალიზატორის შინაგანი ზედაპირისა და შთანთქმული კანგბალის მოცულობის შემცირებას.

D. A. BASILAYA, L. I. GVASALIA, L. A. TARASOV, L. D. ERADZE

OXYGEN ADSORPTION ON LOW TEMPERATURE OXIDE COPPER-CHROMIUM-MANGANESE CATALYST OF CARBON MONOXIDE CONVERSION IN WATER VAPOURS

Summary

The active surface of copper-chromium-manganese catalyst was estimated qualitatively by oxygen adsorption.

One of the main stages of catalyst formation is the reduction, its differential-thermal analysis shows that reduction of copper-chromium manganese catalyst starts at the temperature of 80—90°C and proceeds most intensively at 180—190°C, characteristic for copper oxides reduction. The process ends in the temperature range 260—270°C.

The experiment was carried out by the method of oxygen chemisorption with a gaseous chromatographic pulse unit. Reduction was carried out by the pulse method in the argon stream.

Catalyst samples were reduced at the temperatures 180, 220, 300, 340 and 410°C, while samples of catalyst poisoned with sulphur at the temperatures 200 and 300°C.

The analysis of experiments gives the possibility to assume that copper manganese-chromium spinel of complicated composition is reduced, the latter is formed at a preliminary thermal treatment of the catalyst. An increase of reduction temperature results in spinel recrystallization, in a decrease of the internal surface of the catalyst and in a decrease of the absorbed oxygen volume.

ЛІТЕРАТУРА — REFERENCES

1. Жданова К. П. Кинетика и катализ, том IX, вып. 4, 853 (1968).
 2. Гвасалия Л. И., Чагулава М. В., Шеклашвили Р. В. Труды ГПИ, Тб., 3, 1974.
-



УДК 547.841

О. Е. ЧАЛОВА, Е. А. КАНТОР, Т. К. КИЛАДЗЕ, Р. А. КАРАХАНОВ,
Д. Л. РАХМАНКУЛОВ

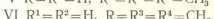
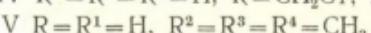
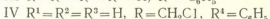
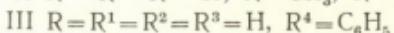
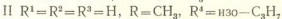
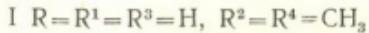
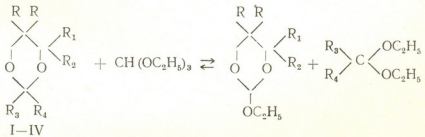
РЕАКЦИЯ 1,3-ДИОКСАНОВ С ТРИЭТИЛОРТОФОРМИАТОМ

Реакции обмена играют большую роль в жизнедеятельности растительных и животных организмов. Присутствие циклоацетального фрагмента в структуре многих природных и биологически активных соединений позволяет предположить возможность протекания реакции обмена и переацетализации [1].

В последнее время реакции переацетализации 1,3-диоксанов альдегидами, диолами, ациклическими и циклическими ацеталиями и кеталиями подробно изучены [2], тогда как обменное взаимодействие 1,3-диоксанов с триэтилортотормиатом ранее описано не было.

Широко используемым методом синтеза 2-этокси-1,3-диоксациклических явлется переэтерификация триэтилортотормиата соответствующими диолами [3, 4]. Вместе с тем, некоторые диолы труднодоступны и неустойчивы.

Нами изучено обменное взаимодействие 1,3-диоксанов с триэтилортотормиатом, приводящее к образованию новой пары — ортоформиатацеталей:



Необходимым условием протекания реакции является присутствие кислотного катализатора.

Реакционная способность 1,3-диоксанов значительно зависит от природы заместителей при C₂. Формали (4,4-диметил-1,3-диоксан, 4-фенил-1,3-диоксан) с триэтилортотормиатом не реагируют. Бензали (III, IV) и кетали (V, VI) взаимодействуют с ортомуравыным эфиrom уже при комнатной температуре. Ацетали (I, II) менее активны, чем кетали.

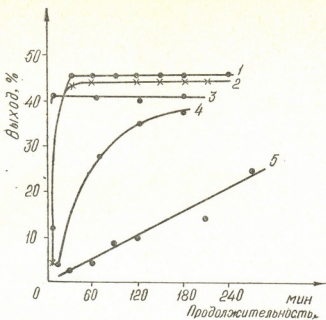


Рис. 1. Зависимость выхода 2-этокси-1,3-диоксана от природы катализатора.
 Условия: температура 40° , мольное отношение исходных реагентов 1 : 1,
 количество катализатора — 0,3%. 1. SnCl_4 , 2. — $\text{BF}_3 \cdot \text{O}(\text{C}_2\text{H}_5)_2$, 3. — H_2SO_4 ,
 4. — п-толуолсульфокислота, 5. — КУ-2

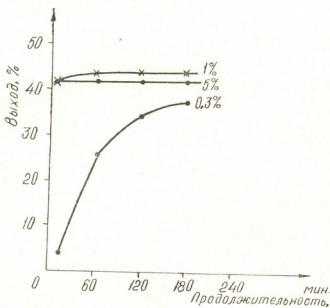


Рис. 2. Зависимость выхода 2-этокси-1,3-диоксана от количества катализатора.
 Условия: температура 40° , мольное отношение исходных реагентов 1 : 1, ката-
 лизатор п-толуолсульфокислота

Л. В. СИДОРЕНКО
В. А. БОГДАНОВ
С. А. КОРОБЧЕНКО
И. А. ПЕЧАРСКАЯ

Влияние режимных параметров (природы и количества катализатора, температуры) на выход и селективность образования 2-этокси-1,3-диоксана в равновесных условиях изучено на примере взаимодействия 2-фенил-1,3-диоксана с ортомуравильным эфиrom.

Из числа испытанных катализаторов (H_2SO_4 , п-TCK, $SnCl_4$, $BF_3 \cdot O(C_2H_5)_2$, КУ-2) наибольшим каталитическим эффектом обладают аprotонные кислоты Льюиса ($BF_3 \cdot O(C_2H_5)_2$, $SnCl_4$) и серная кислота (рис. 1). Использование 1% катализатора позволяет в течение нескольких минут достичь равновесия (рис. 2).

Селективность образования 2-этокси-1,3-диоксанов во всех случаях составляет не менее 95%.

Строение полученных соединений установлено с помощью определения физико-химических констант, анализа ПМР и ИК-спектров и сравнением с образцами, синтезированными из гликолов и ортоформиата.

Таблица 1
Условия получения, выход и физико-химические константы
2-этокси-1,3-диоксанов

Исходный диоксан	Полученный 2-этокси- 1,3-диоксан	Продолжитель- ность, час	Выход, %	$T_{\text{кип}}$ $^{\circ}\text{C}$ (мм. рт.ст)	d^{10}	n_D^{20}
I	2-этокси-4-метил-1,3-диоксан	12	5	36 (2)	1,0054	1,4238
II	2-этокси-5,5-диметил-1,3-диоксан	12	7	36 (1,5)	0,9861	1,4241
III	2-этокси-1,3-диоксан	1	45	65 (15)	1,0449	1,4255
IV	2-этокси-5,5-бис (хлор- метил)-1,3-диоксан	1	41	89—91 (2)	1,2737	1,4759
V	2-этокси-4-метил-1,3-диоксан	3	32	43,5 (2,5)	1,0053	1,4235
VI	2-этокси-5,5-диметил-1,3-диоксан	3	24	68 (15)	0,9863	1,4246

С целью изучения влияния режимных параметров на результаты взаимодействия триэтилортоформиата с 2-фенил-1,3-диоксаном, реакцию проводили в термостатируемой кювете при перемешивании. Реакционную смесь анализировали методом ГЖХ (ЛХМ-8МД; 5% SE-30 на хроматоне N-AW, $l=3M$; $T_{\text{коэ}}= -110^{\circ}$, $T_{\text{исп.}}= 175^{\circ}$) с использованием внутреннего стандарта — ундекана.

2-ЭТОКСИ-1,3-ДИОКСАНЫ

1,3-диоксан (0,2 г-м), триэтилортоформиат (0,1 г-м), каталитические количества п-толуолсульфокислоты в растворе диэтилового эфира (100 мл) перемешивают при комнатной температуре в течение 1—12 часов. По окончании реакции смесь нейтрализуют охлажденным 10%-ным раствором $NaOH$, сушат над $MgSO_4$, отгоняют растворитель; 2-этокси-1,3-диоксан выделяют перегонкой в вакууме. Выход 8—45%.

Уфимский нефтяной институт

Поступило 17.IX.1979

რეზიუმე

1,3-დიოქსანების სამიეროლორთოფორმინაზონაში ურთიერთქმედებით მეა-
ვური კატალიზატორის თანაბიძისას მიღება 2-ეთოქსი-1,3-დიოქსანები სელექ-
ტობით $\leq 95\%$. 1,3-დიოქსანების რეაქციაუნარიანობა იცვლება რიგში: აცე-
რალი \angle ეტალი \approx ბენზალი; რაც შეეხება ფორმალს იგი სამიეროლორთოფორ-
მიატოან ან რეაგირებს.

მიღებული ნაერთების აღნაგობა დადგენილია ფიზიკურ-ქიმიური კონსტან-
ტების განსაზღვრით, ინფრაწითელი სპექტრებით და პმრ მეთოდით.

O. B. CHALOVA, E. A. KANTOR, T. K. KILADZE, P. A. KARAKHANOV,
D. B. RAKHMANKULOV

THE REACTION OF 1,3-DIOXANES WITH TRIETHYL-
ORTHOFORMIATE

Summary

The interaction of 1,3-dioxanes with triethyl-orthoformiate at the presence of acidic catalysts form 2-ethoxy-1,3-dioxanes with the selectivity of more than 95%. The reactivity of 1,3-dioxanes increases in the raw acetals ketals and benzenes. Formates don't react with triethyl orthoformate.

ლიტერატურა — ЛИТЕРАТУРА — REFERENCES

1. Стоддарт Дж. Стереохимия углеводов, М., Мир, 1975.
2. Рахманкулов Д. Л., Караканов Р. А., Злотский С. С., Кантор Е. А., Имашев У. В., Сыркин А. М. Химия и технология 1,3-диоксациклоалканов, М., 106, 1979.
3. Межерицкий В. В., Олехнович Е. Н., Лукьянов С. М., Дерофеенко Г. Н. Ортофиры в органическом синтезе, РГУ, 1976.
4. Soulier J., Farines M., Authier R. M., Fournier M. J. Heterocyclic Chem., 13, 1125 (1976).

УДК 541.49.547.6

Л. М. ГОГОЛАДЗЕ, С. С. НАГЕБАШВИЛИ, А. Е. ШВЕЛАШВИЛИ

АЦИДОКОМПЛЕКСЫ Ni(II) И Co(II) С ОРТО-, МЕТА-, ПАРА-МОНОНИТРОПРОИЗВОДНЫМИ БЕНЗОИЛГИДРАЗИНА

Систематическое изучение стереохимии ацидокомплексов с производными бензоилгидразина началось недавно [1] и настоящая работа является продолжением этого исследования.

Синтезированы соединения типа ML_2X_2 , где $M = \text{Ni(II)}$ и Co(II) ; $L =$ орто-, мета-, пара-нитробензоилгидразин ($O-\text{NBH}$, $M-\text{NBH}$ и $P-\text{NBH}$, а $X = \text{NCS}^-$ и NO_2^-).

Таблица

Результаты элементного анализа и $T_{\text{пл}} \pm 2^\circ\text{C}$ синтезированных соединений

Соединения	Найдено, %					Вычислено, %					$T_{\text{пл}}, ^\circ\text{C}$
	M	C	N	H	S	M	C	N	H	S	
$\text{Ni}(M-\text{NBH})_2(\text{NO}_2)_2$	11,63	32,65	21,88	3,21	—	11,44	32,74	21,83	3,11	—	164
$\text{Ni}(P-\text{NBH})_2(\text{NO}_2)_2$	11,51	32,85	21,81	3,35	—	«	«	«	«	«	204
$\text{Ni}(O-\text{NBH})_2(\text{NO}_2)_2$	11,55	32,68	21,86	3,22	—	«	«	«	«	«	184
$\text{Co}(P-\text{NBH})_2(\text{NO}_2)_2$	8,34	36,09	16,35	3,16	—	8,48	36,29	16,12	3,02	—	132
$\text{Co}(M-\text{NBH})_2(\text{NO}_2)_2 \cdot 2\text{C}_2\text{H}_5\text{OH}$	10,15	35,56	18,36	4,68	—	9,73	35,68	18,5	4,29	—	80
$\text{Co}(O-\text{NBH})_2(\text{NO}_2)_2 \cdot 2\text{C}_2\text{H}_5\text{OH}$	10,02	35,55	18,35	4,55	—	«	«	«	«	«	86
$\text{Ni}(M-\text{NBH})_2(\text{NCS})_2$	11,17	35,72	20,78	3,01	11,82	10,93	35,75	20,85	2,98	11,91	240
$\text{Ni}(P-\text{NBH})_2(\text{NCS})_2$	10,98	35,58	20,66	2,75	12,04	»	«	«	«	«	248
$\text{Ni}(O-\text{NBH})_2(\text{NCS})_2$	11,19	35,68	20,75	2,99	11,99	«	«	«	«	«	220
$\text{Co}(M-\text{NBH})_2(\text{NCS})_2$	11,11	35,65	21,05	2,63	12,11	10,96	35,73	20,84	2,97	11,91	232
$\text{Co}(P-\text{NBH})_2(\text{NCS})_2$	10,82	35,53	21,07	3,12	11,63	«	»	«	«	«	200
$\text{Co}(O-\text{NBH})_2(\text{NCS})_2$	11,06	35,55	20,5	3,22	11,88	«	«	«	«	«	202

Синтез тиоцианатных и нитритных соединений проводили в водно-спиртовых растворителях при молярном соотношении реагентов $M:L=1:2$.

Изучены некоторые физико-химические свойства соединений, их $T_{\text{пл}} \pm 2$ (см. табл.), измерена электропроводность в диметилсульфоксиде. Полученные соединения хорошо растворимы в диметилсульфоксиде и диметилформамиде. Измерение электропроводности показало, что они не являются электролитами.

В дальнейшем намечается изучение сравнительной стереохимии Ni(II) и Co(II) в зависимости от лигандного состава комплекса, т. к. известно, что геометрия образующегося комплекса сильно зависит от стерических требований, налагаемых на донорные атомы лигандными группами.

Ni (II) და Co (II) აციფოვანი მასალები რჩეთ. ჩვენა და ვარა-
ნიტრობული მოდერინების მონონართობა ულევათან

რეზიუმე

მიღებულია ML_2X_2 შედგენილობის კოორდინაციული ნაერთები, სადაც $M-Ni(II)$ და $Co(II)$, L- o -NBH, M-NBH და P-NBH ხოლო $X-NO_2^-$ და NCS^- . შესწავლილია მათი ზოგიერთი ფიზიკურ-ქიმიური თვისება. სინ-
თეზირებული ნაერთების ხსნადობის განსაზღვრაშვ გვიჩვენა, რომ აღნიშნული
ნაერთები კარგად იხსნება დიმეთილფორმამიდა და დიმეთილსულფონქსიდში.
ელექტროგამტარებლობის გაზომვით დადგენილია, რომ ეს ნაერთები
არაელექტროლიტებია.

L. M. GOGOLADZE, S. S. NAGEBASHVILI, D. E. SHVELASHVILI

Ni (II) AND Co (II) ACIDOCOMPLEXES WITH ORTO-, META-, PARA-BENZOIL-HYDRAZIN MONODERIVATIVE

Summary

The following complexes were isolated: ML_2X_2 , where $M-Ni(II)$ and $Co(II)$, L- o -NBH, m-NBH and p-NBH, and $X-NO_2^-$ and NCS^- . Some of their physico-chemical properties were determined. The determination of synthetical admixture solubility showed that these admixtures are well soluble in dimethyl formamide and dimethyl sulphoxide. By measuring conductivity is ascertained that these admixtures are not electrolyte.

ლიტერატურა — ЛИТЕРАТУРА — REFERENCES

1. Швеляшвили А. Е., Мачховиши Р. И. и др. Сб. Исследования в области химии комплексных и простых соединений некоторых переходных и редких металлов, «Мецниереба», Тбилиси, 68, 1978.

ХРОНИКА

50-летие Института физической и органической химии им. П. Г. Меликишвили АН ГССР

27 мая 1980 г. химическая общественность Грузии торжественно отметила 50-летие со дня основания одного из старейших научно-исследовательских учреждений Республики — Института физической и органической химии им. П. Г. Меликишвили АН ГССР.

Центральный Комитет Коммунистической партии Грузии, Президиум Верховного Совета Грузинской ССР и Совет Министров Грузинской ССР сердечно поздравили дирекцию, партийную, профсоюзную и комсомольскую организации, весь коллектив Института физической и органической химии им. П. Г. Меликишвили АН ГССР со славным юбилеем.

Зам. председателя Президиума Верховного Совета ГССР В. М. Сирадзе вручил коллективу Института Почетную грамоту Президиума Верховного Совета Грузинской ССР, которой в связи с юбилейной датой был награжден Институт.

О научной и научно-организационной работе Института с докладом выступил директор Института академик АН ГССР Г. В. Цицишвили. С воспоминаниями об истории создания и развития Института поделился проф. П. Д. Цискаришвили. С приветствием от Президиума АН ГССР и Отделения химии и химической технологии АН ГССР выступил академик-секретарь АН ГССР Н. А. Ландия, от Научного Совета по синтезу, изучению и применению адсорбентов ООТХ АН СССР — академик М. М. Дубинин, от коллектива Научно-исследовательского физико-химического института им. Л. Я. Карпова — зам. директора, профессор К. И. Сакодынский, от коллектива Ордена Трудового Красного Знамени Института нефтехимических процессов АН Азерб. ССР — профессор Н. Т. Султанов, от коллектива Института неорганической и физической химии АН Азерб. ССР — зам. директора, профессор И. А. Мамедов, от Отделения химических наук АН Арм. ССР — академик-секретарь А. Б. Налбандян; от коллектива Института психиатрии им. М. М. Асатиани Мин. здравоохранения ГССР — директор Института, академик А. Д. Зарабашвили; от коллектива Тбилисского ордена Трудового Красного Знамени Государственного университета — проректор Р. Гrdзелидзе, от коллектива Грузинского ордена Ленина и ордена Трудового Красного Знамени политехнического института им. В. И. Ленина — проректор, профессор Д. К. Чхенде; от коллектива Института фармакохимии им. И. Г. Кутателадзе АН ГССР — директор Института, член-корр. АН ГССР Э. П. Кемерелидзе; от коллектива Института металлургии им. 50-летия СССР АН ГССР — зам. директора, член-корр. АН ГССР Г. Г. Гвелесiani; от коллектива Института неорганической химии и электрохимии — директор Института, к. т. н. А. Ш. Аввалиани и представители ряда других научных, учебных и промышленных организаций.

В тот же день гости ознакомились с научной и технической продукцией Института на выставке, организованной на ВДНХ ГССР.

28 мая гости посетили новый комплекс зданий Института и ознакомились с работой отдельных лабораторий Института.

რედაქციის მინისტრი:

380060, თბილისი-60, კუტუზოვის ქ. 19, თეატრი 16.
ტელ. 37-93-82

Адрес редакции:

380060, Тбилиси-60, ул. Кутузова, 19, комната 16.
тел. 37-93-82

Корректор М. Брегвадзе

Сдано в набор 19.6.1980; подписано к печати 10.VII.1980; формат
бумаги 70 × 108^{1/16}; бумага № 1; печатных л. 8.4; уч.-изд. л. 6.2;
УЭ 09244; тираж 1320 экз.; заказ 2161;

цена 70 коп.

გამომცემლობა „მეცნიერება“, თბილისი, 380060, კუტუზოვის ქ., 19
Издательство «Мецнериба», Тбилиси, 380060, ул. Кутузова, 19

საქ. სსრ მეცნ. იურების სტამბა, თბილისი, 380060, კუტუზოვის ქ., 19
Типография АН Груз. ССР, Тбилиси, 380060, ул. Кутузова, 19

Цена 70 коп.

6 137

76 203
ՀԱՐՈՒԹՅՈՒՆ
ՅՈՒՆԻՎԵՐՍԻՏԵՏ